THÈSE

L'UNIVERSITE SCIENTIFIQUE ET MEDICALE ET L'INSTITUT NATIONAL POLYTECHNIQUE DE GRENOBLE

pour obtenir le grade

DOCTEUR DE 3eme CYCLE

par

PIERRE MOLHO

SUJET

Magnétisme 3d dans les composés entre l'yttrium et le nickel

Soutenue le 10 juillet 1979 devant la Commission d'Examen

J.C. BARBIER

Président

M. CYROT

D. PACCARD

F. TASSET

Examinateurs

UNIVERSITE SCIENTIFIQUE ET MEDICALE DE GRENOBLE

Monsieur Gabriel CAU

: Président

Monsieur Pierre JULLIEN : Vice Président

MEMBRES DU CORPS ENSEIGNant & DE L'U.S.M.G.

PROFESSEURS TITULAIRES

MM AMBLARD Pierre ARNAUD Paul ARVIEU Robert AUBERT Guy AYANT Yves Mme BARBIER Marie-Jeanne BARBIER Jean-Claude BARBIER Reynold BARJON Robert BARNOUD Fernand BARRA Jean-René BARRIE Joseph BEAUDOING André BELORIZKY Elie BERNARD Alain Mme BERTRANDIAS Françoise MM. BERTRANDIAS Jean-Paul BEZEZ Henri BLAMBERT Maurice BOLLIET Louis BONNET Jean-Louis BONNET-EYMARD Joseph Mme BONNIER Marie-Jeanne MM. BOUCHERLE André BOUCHEZ Robert BOUSSARD Jean-Claude BOUTET DE MONTVEL Louis BRAVARD Yves CABANEL Guy CALAS François CARLIER Georges CARRAZ Gilbert CAU Gabriel CAUQUIS Georges CHABAUTY Claude CHARACHON Robert CHATEAU Robert CHIBON Rierre COEUR André CONTAMTIN Robert COUDERC Pierre Mme DEBELMAS Anne-Marie

MM. DEBELMAS Jacques

DEGRANGE Charles

DELORMAS Pierre

Clinique de dermatologie Chimie I.S.N Physique Physique approfondie Electrochimie Physique Expérimentale Géologie appliquée Physique nucléaire Biosynthèse de la cellulose Statistiques Clinique chirurgicale Clinique de Pédiatrie et Puériculture Physique Mathématiques Pures Mathématiques Pures Mathématiques Pures Pathologie chirurgicale Mathématiques Pures Informatique (IUT B) Clinique ophtalmologique Clinique gastro-entérologique Chimie générale Chimie et toxicologie Physique nucléaire Mathématiques appliquées Mathématiques Pures Géographie Clinique rhumatologique et hydrologique Anatomie Biologie végétale Biologie animale et pharmacodynamie Médecine légale et toxicologie Chimie organique Mathématiques Pures Clinique Oto-rhino-laryngologique Clinique de neurologie Biologie animale Pharmacie chimique et chimie analytique Clinique gynécologique Anatomie pathologique Matière médicale Géologie générale Zoologie Pneumophtisiologie

MM. DEPORTES Charles Chimie minérale DESRE Pierre Métallurgie DESSAUX Georges Physiologie animale DODU Jacques Mécanique appliquée (IUT I) DOLIQUE Jean-Michel Physique des plasmas DREYFUS Bernard Thermodynamique DUCROS Pierre Cristallographie GAGNAIRE Didier Chimie Physique GALVANI Octave Mathématiques Pures GASTINEL Noel Analyse numérique GAVEND Michel Pharmacologie GEINDRE Michel Electroradiologie GERBER Robert Mathématiques Pures GERMAIN Jean-Pierre Mécanique GIRAUD Pierre Géologie JANIN Bernard Géographie KAHANE André Physique générale KLEIN Joseph Mathématiques Pures KOSZUL Jean-Louis Mathématiques Pures KRAVTCHENKO Julien Mécanique KUNTZMANN Jean Mathématiques Appliquées LACAZE Albert Thermodynamique LACHARME Jean Biologie végétale LAJZEROWICZ Janine Physique LAJZEROWICZ Joseph Physique LATREILLE René Chirurgie générale LATURAZE Jean Biochimie Pharmaceutique LAURENT Pierre Mathématiques Appliquées LEDRU Jean Clinique médicale B LE ROY Philippe Mécanique (IUT I) LLIBOUTRY Louis Géophysique LOISEAUX Pierre Scienses Nucléaires LONGEQUEUE Jean-Pierre Physique Nucléaire LOUP Jean Géographie MelleLUTZ Elisabeth Mathématiques Pures MM. MALINAS Yves Clinique Obstétricale MARTIN-NOEL Pierre Clinique Cardiologique MAZARE Yves Clinique Médicale A MICHEL Robert Minéralogie et Pétrographie MICOUD Max Clinique Maladies infectieuses MOURIQUAND Claude Histologie MOUSSA André Chimie Nucléaire NOZIERES Philippe Spectrometrie Physique OZENDA Paul Botanique PAYAN Jean-Jacques Mathématiques Pures PEBAY-PEYROULA Jean-Claude Physique PERRET Jean Semeiologie Médicale (Neurologie) RASSAT André Chimie systématique RENARD Michel Thermodynamique REVOL Michel Urologie RINALDI Renaud Physique DE ROUGEMONT Jacques Neuro-Chirurgie SEIGNEURIN Raymond Microbiologie et Hygiène SENGEL Philippe Zoologie SIBILLE Robert Construction mécanique (IUT I) SOUTIF Michel Physique générale TANCHE Maurice Physiologie

Chimie générale

TRAYNARD Philippe

VAILLANT François MM. VALENTIN Jacques VAUQUOIS Bernard

Mme VERAIN Alice VERAIN André MM. VEYRET Paul VIGNAIS Pierre Zoologie Physique Nucléaire Calcul électronique Pharmacie galénique Physique Géographie Biochimie médicale

PROFESSEURS ASSOCIES

MM. CRABBE Pierre DEMBICKI Eugéniuz JOHNSON Thomas PENNEY Thomas

CERMO Mécanique Mathématiques appliquées Physique

PROFESSEURS SANS CHAIRE

Mle AGNIUS-DELORD Claudine ALARY Josette AMBROISE-THOMAS Pierre MM. ARMAND Gilbert

BENZAKEN Claude BIAREZ Jean-Pierre BILLET Jean BOUCHET Yves BRUGEL Lucien BUISSON René

BUTEL Jean COHEN ADDAD Pierre COLOMB Maurice

CONTE René DELOBEL Claude DEPASSEL Roger FONTAINE Jean-Marc

GAUTRON René GIDON Paul GLENAT René GROULADE Joseph

HACQUES Gérard HOLLARD Daniel

HUGONOT Robert IDELMAN Simon

JOLY Jean-René JULLIEN Pierre

Mme KAHANE Josette KRAKOWIACK Sacha MM.

KUHN Gérard LUU DUC Cuong MAYNARD Roger

Mme MINIER Colette PELMONT Jean

PERRIAUX Jean-Jacques PFISTER Jean-Claude

Mle PIERY Yvette

Physique pharmaceutique Chimie analytique Parasitologie Géographie Mathématiques appliquées Mécanique Géographie Anatomie Energétique (IUT I) Physique (IUT I) Orthopédie Spectrométrie physique Biochimie Physique (IUT I) M.I.A.G.

Mécanique des fluides

Mathématiques Pures Chimie

Géologie et Minéralogie Chimie organique Biochimie médicale Calcul numérique Hématologie

Hygiène et Médecine préventive

Physiologie animale Mathématiques Pures Mathématiques Appliquées

Physique

Mathématiques Appliquées

Physique (IUT 1) Chimie organique Physique du solide Physique (IUT I)

Biochimie

Géologie et Minéralogie Physique du solide Physiologie animale

MM. RAYNAUD Hervé REBECQ Jacques REYMOND Jean-Charles RICHARD Lucien

Mme RINAUDO Marguerite ROBERT André SARRAZIN Roger

SARROT-REYNAULD Jean

SIROT Louis Mme SOUTIF Jeanne MM. STIEGLITZ Paul VIALON Pierre

VAN CUTSEM Bernard

M.I.A.G.

Biologie (CUS) Chirurgie générale Biologie végétale Chimie macromoléculaire Chimie papetière

Anatomie et chirurgie

Géologie

Chirurgie générale Physique générale Anesthésiologie

Géologie

Mathématiques Appliquées

MAITRES DE CONFERENCES ET MAITRES DE CONFERENCES AGREGES

MM. ARMAND Yves BACHELOT Yvan BARGE Michel BEGUIN Claude

Mme BERIEL Hélène

MM. BOST Michel

BOUCHARLAT Jacques Mme BOUCHE Liane

MM. BRODEAU François

Chimie (IUT I)

Mathématiques (IUT B) (Personne étrangère

habilitée à être directeur de thèse)

CHAMBAZ Edmond CHAMPETIER Jean CHARDON Michel CHERADAME Hervé CHIAVERINA Jean CONTAMIN Charles CORDONNIER Daniel

COULOMB Max CROUZET Guy CYROT Michel DENIS Bernard DOUCE Roland DUSSAUD René

Mme ETERRADOSSI Jacqueline

MM. FAURE Jacques FAURE Gilbert GAUTIER Robert GIDON Maurice GROS Yves GUIGNIER Michel GUITTON Jacques

HICTER Pierre

JALBERT Pierre JUNIEN-LAVILLAVROY Claude

ROLODIE Lucien LE NOC Pierre MACHE Régis MAGNIN Robert MALLION Jean-Michel

Endocrinologie Neuro chirurgie Chimie organique Pharmacodynamie Pédiatrie Psychiatrie adultes Mathématiques (CUS)

Biochimie médicale Anatomie et organogénèse Géographie

Chimie papetière

Biologie appliquée (EFP)

Chirurgie thoracique et cardio-vasculaire

Néphrologie Radiologie Radiologie

Physique du solide

Cardiologie

Physiologie végétale Mathématiques (CUS)

Physiologie Médecine légale

Urologie

Chirurgie générale

Géologie

Physique (IUT I) Thérapeutique

Chimie Chimie Histologie O.R.L. Hématologie

Bactériologie-virologie Physiologie végétale

Hygiène et médecine préventive

Médecine du travail

MM. MARECHAL Jean
MARTIN-BOUYER Michel
MASSOT Christian
NEMOZ Alain
NOUGARET Marcel
PARAMELLE Bernard
PECCOUD François

PEFFEN René
PERRIER Guy
PHELIP Xavier
RACHAIL Michel
RACINET Claude
RAMBAUD Pierre
RAPHAEL Bernard
Mme RENAUDET Jacqueline
ROBERT Jean-Bernard
ROMIER Guy

SAKAROVITCH Michel
SCHÆERER René
M™ SEIGLE-MURANDI Françoise
STOEBNER Pierre
STUTZ Pierre
VROUSOS Constantin

MAITRES DE CONFERENCES ASSOCIES.

MM. DEVINE Roderick KANEKO AKIRA JOHNSON Thomas RAY Tuhina

MAITRE DE CONFERENCES DELEGUE

M. ROCHAT Jacques

Mécanique (IUT I)
Chimie (CUS)
Médecine interne
Thermodynamique
Automatique (IUT I)
Pneumologie
Analyse (IUT B) (Personnalité étrangère
habilitée à être directeur
de thèse).

Métallurgie (IUT I)
Géophysique-Glaciologie
Rhumatologie
Médecine Interne
Gynécologie et Obstétrique
Pédiatrie
Stomatologie
Bactériologie (Pharmacie)
Chimie-Physique
Mathématiques (IUT B) (Personnalité étrangère habilité à être directeur de thèse.)

Maths appliquées Cancérologie Cryptogamie Anatomie Pathologie Mécanique Radiologie

Spectro Physique Maths pures Maths appliquées Physique

Hygiène et Hydrologie (Pharmacie)



INSTITUT NATIONAL POLYTECHNIQUE DE GRENOBLE

Année Universitaire 1977-1978

Président : M. Philippe TRAYNARD

Vice-Présidents : M. René PAUTHENET

M. Georges LESPINARD

PROFESSEURS TITULAIRES

MM BENOIT Jean BESSON Jean BLOCH Daniel BONNETAIN Lucien BONNIER Etienne *BOUDOURIS Georges BRISSONNEAU Pierre BUYLE-BODIN Maurice COUMES André DURAND Francis FELICI Noël FOULARD Claude LANCIA Roland LONGEQUEUE Jean-Pierre LESPINARD Georges MOREAU René PARIAUD Jean-Charles PAUTHENET René PERRET René POLOUJADOFF Michel TRAYNARD Philippe VEILLON Gérard

PROFESSEURS SANS CHAIRE

*en congé pour études.

MM BLIMAN Samuël
BOUVARD Maurice
COHEN Joseph
GUYOT Pierre
LACOUME Jean-Louis
JOUBERT Jean-Claude
ROBERT André
ROBERT François
ZADWORNY François

MAITRES DE CONFERENCES

MM ANCEAU François
CHARTIER Germain
CHIAVERINA Jean
IVANES Marcel
LESIEUR Marcel
MORET Roger
PIAU Jean-Michel
PIERRARD Jean-Marie
SABONNADIERE Jean-Claude
MmeSAUCIER Gabrielle
SOHM Jean-Claude

Electronique - Automatique Chimie Minérale Physique du solide - cristallographie Génie Chimique Métallurgie Electronique - Automatique Physique du Solide - cristallographie Electronique - Automatique Electronique - Automatique Métallurgie Electronique - Automatique Electronique - Automatique Electronique - Automatique Physique Nucléaire Corpusculaire Mécanique Mécanique Chimie-Physique Electronique - Automatique Electronique - Automatique Electronique - Automatique Chimie - Physique

Electronique - Automatique
Génie Mécanique
Electronique - Automatique
Métallurgie Physique
Electronique - Automatique
Physique du Solide - Cristallographie
Chimie Appliquée et des Matériaux
Analyse numérique
Electronique - Automatique

Informatique Fondamentale et appliquée

Informatique Fondamentale et appliquée Electronique - Automatique Biologie, biochimie, agronomie Electronique - Automatique Mécanique Physique Nucléaire - Corpusculaire Mécanique Mécanique Informatique Fondamentale et appliquée Informatique Fondamentale et appliquée Chimie Physique

INSTITUT NATIONAL POLYTECHNIQUE DE GRENOBLE

CHERCHEURS DU C.N.R.S. (Directeur et Maîtres de Recherche)

	The state of the s	(Directeur et Maitres de Recherche)
M	FRUCHART Robert	Directeur de Recherche
MM	ANSARA Ibrahim BRONOEL Guy CARRE René DAVID René DRIOLE Jean KLEITZ Michel LANDAU Ioan-Doré MATHIEU Jean-Claude MERMET Jean MUNIER Jacques	Maître de Recherche
	John John Screen Living	s à diriger des travaux de recherche (Décision du
ММ	E.N.S.E.E.G. BISCONDI Michel	Ecole des Mines ST ETIENNE (dépt.Métal-
	BOOS Jean-Yves DRIVER Julian KOBYLANSKI André LE COZE Jean LESBATS Pierre LEVY Jacques RIEU Jean SAINFORT	lurgie) Ecole des Mines ST ETIENNE (Métallurgie) C.E.N. Grenoble (Métallurgie) U.S.M.G.
	CAILLET Marcel COULON Michel GUILHOT Bernard LALAUZE René LANCELOT Francis SARRAZIN Pierre SOUSTELLE Michel THEVENOT François THOMAS Gérard TOUZAIN Philippe TRAN MINH Canh E.N.S.E.R.G.	Ecole des Mines ST ETIENNE (Chim.Min.Ph)
ŀ	BOREL KAMARINOS	Centre d'Etudes Nucléaires de GRENOBLE Centre National Recherche Scientifique
MM E MmeC MM D	E.N.S.E.G.P. BORNARD CHERUY DAVID DESCHIZEAUX	Centre National Recherche Scientifique Centre National Recherche Scientifique Centre National Recherche Scientifique Centre National Recherche Scientifique

+

Le présent travail a été effectué au Laboratoire Louis Néel du C.N.R.S. à Grenoble, dirigé par Monsieur le Professeur J.C. Barbier. Je tiens à lui exprimer ma respectueuse gratitude pour m'avoir accueilli dans son Laboratoire et pour l'honneur qu'il me fait en présidant le jury de cette thèse.

Je remercie Messieurs les Professeurs M. Cyrot, F. Gautier et D. Paccard pour avoir accepté de participer à ce jury.

L'expérience de neutrons polarisés a été réalisée avec Francis Tasset. Je le remercie sincèrement de l'aide qu'il n'a cessé de m'apporter au cours de cette étude. Je suis très sensible à sa présence dans le jury.

Damien Gignoux a assuré la responsabilité de ce travail. C'est avec un grand plaisir que je lui adresse mes remerciements pour son aide de tous les jours et pour ses qualités humaines et scientifiques qui font la qualité de son encadrement.

Remy Lemaire, Directeur de Recherches au C.N.R.S. a proposé le sujet de cette étude, et en a suivi de très près l'évolution. Je lui exprime ma profonde reconnaissance, tant pour les nombreuses discussions qu'il a suscitées et qui m'ont beaucoup apporté, que pour son enthousiasme bienfaiteur.

A des titres divers, tous les membres du Laboratoire ont participé à la réalisation de ce travail. Il m'est agréable de les remercier ici, ainsi que le personnel d'autres laboratoires (S.N.C.I., Cristallographie, I.L.L., C.E.N.G., I.S.N.) dont l'aide a toujours été efficace.

Je tiens à remercier en particulier Claudine Lacroix et Mireille Lavagna pour les discussions fructueuses dont j'ai bénéficié.

Gislaine Menéroud a assuré la dactylographie de cette thèse avec une gentillesse et une rapidité dont je la remercie vivement. Madame Trévisson a réalisé le tirage de ce mémoire dans les meilleurs délais. Je la remercie également. •

INTRODUCTION

Dans les alliages entre les métaux de transition, M, et les métaux de terres rares ou l'yttrium, R, les différences d'électronégativité et de rayon atomique entre les éléments sont trop importantes pour que des solutions solides apparaissent. Néanmoins, les atomes s'ordonnent les uns par rapport aux autres pour former un grand nombre de composés définis, qui permettent d'étudier la variation des propriétés en fonction de la concentration des constituants.

Dans les composés à base de cobalt ou de nickel, les différences entre les propriétés magnétiques résultent essentiellement de l'évolution de la structure de la bande 3d avec la composition : en particulier, la grande différence d'électronégativité entre les constituants conduit à un transfert d'électrons 5d (ou 4d) de la terre rare (ou l'yttrium) vers la bande 3d du métal de transition. Lorsque la composition s'enrichit en terre rare, le remplissage progressif de la bande 3d provoque une diminution de l'aimantation spontanée. Pour une concentration critique les atomes 3d ne sont plus porteurs de moment magnétique : YNi₅ et YCo₂ sont des paramagnétiques de Pauli, renforcés par l'échange.

Des études approfondies sur les composés RCo2 ont permis de mettre en évidence l'apparition du magnétisme 3d sous l'effet des interactions dues aux atomes de terre rare. Un tel mécanisme, observé pour la première fois dans ces composés, avait été prévu théoriquement il y a une dizaine d'années, et appelé métamagnétisme des électrons itinérants. Un comportement analogue a été également rencontré dans le composé ThCo5 sur un des deux sites de cobalt, ce qui témoigne de l'importance des effets de l'environnement local.

Dans les composés du nickel, dont la bande 3d est plus remplie que celle du cobalt, la décroissance de l'aimantation lorsque le taux de terre rare augmente est plus rapide. La température de Curie du composé Y2Ni 17 n'est que de 149 K alors qu'elle est de 630 K dans le nickel métallique. YNi 5 ne présente plus qu'un fort paramagnétisme de Pauli. Le système yttrium-nickel fournit donc des composés particulièrement intéressants pour l'étude du magnétisme d. Les études jusqu'alors effectuées sur ces composés portaient davantage sur la compréhension des propriétés magnétiques lorsque la terre rare alliée est magnétique. Pour approfondir la connaissance de composés proches de l'apparition du magnétisme, il convient de soigner particulièrement la pureté et la qualité de la cristallisation, car ces défauts donnent souvent lieu à l'apparition d'un magnétisme inhomogène qui, très vite, n'est plus caractéristique de la matrice.

Dans le chapitre I, consacré à un rappel historique des études effectuées sur les alliages yttrium-nickel riches en nickel, nous décrivons plus particulièrement leur structure cristallographique. Le chapitre II expose les méthodes expérimentales utilisées, et le chapitre III a pour objet la présentation des résultats expérimentaux obtenus pour les composés polycristallins Y_2Ni_{17} , Y_2Ni_7 et Y_1Ni_3 , à partir de mesures d'aimantation, de susceptibilité, de chaleur spécifique et de résistivité. Les résultats de l'étude de la densité d'aimantation dans Y_1Ni_3 par diffraction de neutrons polarisés sont rassemblés dans le chapitre IV. Enfin, dans le chapitre V, nous discutons l'ensemble des résultats expérimentaux.

CHAPITRE I

HISTORIQUE DES ÉTUDES SUR LES ALLIAGES YTTRIUM-NICKEL

I-1 - DIAGRAMME D'ETAT DU SYSTEME Y-Ni

En 1960, Beaudry et Daane (1) ont étudié le système yttriumnickel. Ils en ont établi le diagramme de phases, représenté sur la figure 1. Ce diagramme montre l'existence de neuf types de composés intermétalliques définis : Y₃Ni, Y₃Ni₂, YNi, YNi₂, YNi₃, Y₂Ni₇, YNi₄, YNi₅ et Y₂Ni₁₇. Deux composés ont une fusion congruente : YNi et YNi₅, les autres se forment par réaction péritectique.

En 1959, Wernick et Geller (2) ont préparé les composés RNi; où R désigne un métal de terre rare ou l'yttrium, et ils ont montré que ceux-ci sont isomorphes du composé CaCu5. En 1960 ces mêmes auteurs (3) ont montré que les composés RNi; cristallisent dans la phase de Laves cubique MgCu2. En 1966, Buschow (4) a déterminé la structure des composés R2Ni; Ces composés cristallisent dans la structure de Th2Ni; Ces composés cristallisent dans la structure de Th2Ni; Acceptant ils n'existent pas avec les terres rares allant du lanthane au néodyme. En 1969, Lemaire et Paccard (6) ont précisé la structure cristallographique des composés RNi; et R2Ni; Apart ceux du cérium, les composés R2Ni; sont isomorphes de Gd2Co7, dont la structure est rhomboédrique (7). A l'exception de CeNi; qui est hexagonal, tous les composés de la série RNi; sont rhomboédriques, isomorphes de PuNi; (8). Lemaire et Paccard ont montré que toutes ces structures se déduisent les unes des autres par des substitutions ordonnées d'atomes dans le motif cristallin. Le type, l'ordre et la fréquence de ces substitutions définissent la nature du composé et sa structure cristalline. La phase YNi; n'a toujours pas été isolée, et sa structure n'est pas connue.

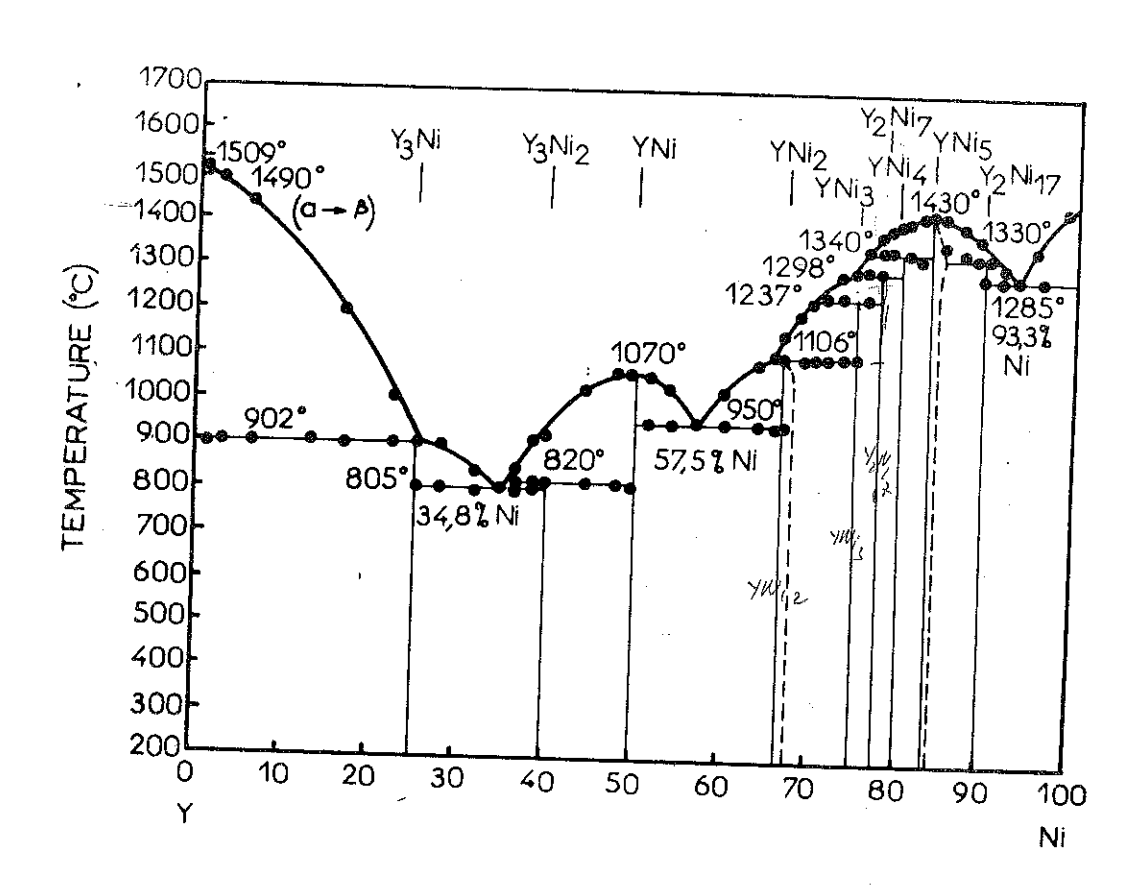


Figure 1 : Diagramme d'état des alliages yttrium-nickel d'après Beaudry et Daane.

II-2 - DESCRIPTION DES STRUCTURES CRISTALLOGRAPHIQUES DES COMPOSES

Y-Ni RICHES EN NICKEL

Les structures des composés définis entre le nickel et l'yttrium riches en nickel, YNi2, YNi3, Y2Ni7 et Y2Ni17, peuvent se déduire simplement de la structure du composé YNi5 par des substitutions ordonnées d'atomes de nickel et d'yttrium (6,9) : le type, l'ordre et la fréquence de ces substitutions définissent la nature du composé et sa structure cristalline.

Composé YNi₅

La structure cristalline des composés RNi₅, où R désigne un atome de terre rare ou l'yttrium, est isomorphe de la structure de CaCu₅ (2). Cette structure, représentée sur la figure 2, appartient au groupe d'espace P6/mmm. Les positions des atomes dans la maille sont données dans le tableau 1.

Tableau 1 : Positions des atomes dans YNi (groupe d'espace P6/mmm)

Atomes	Sites	Positions
1 Y	1a	0, 0, 0
2Ni _I	2 c	$\pm(\frac{1}{3},\frac{2}{3},0)$
3Ni _{II}	3g	$\frac{1}{2}$, 0, $\frac{1}{2}$; 0, $\frac{1}{2}$, $\frac{1}{2}$; $\frac{1}{2}$, $\frac{1}{2}$, $\frac{1}{2}$

Cette structure peut être décrite comme un empilement alterné de deux types de plans :

- un plan constitué d'un arrangement hexagonal d'atomes de nickel, désignés par Ni_{TT} sur la figure,
- un plan composé de deux types d'atomes, les atomes de terres rares R étant au centre d'hexagones d'atomes de nickel, désignés par ${
 m Ni}_{
 m I}$ sur la figure.

Composé Y2Ni7 (6)

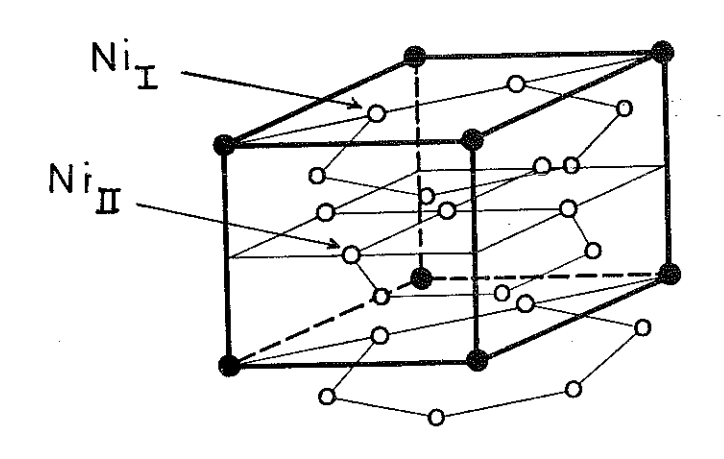
Cette structure se déduit de celle de YNi₅ par le remplacement d'atomes de nickel par des atomes d'yttrium : le motif de base
est composé d'un empilement le long de l'axe c de trois mailles de
YNi₅ (figure 3). Dans chaque troisième maille, un atome de nickel du
plan de base, Ni_I, est remplacé par un atome d'yttrium suivant le schéma :

$$3YNi_5 + Y - Ni \rightarrow 2Y_2Ni_7$$
.

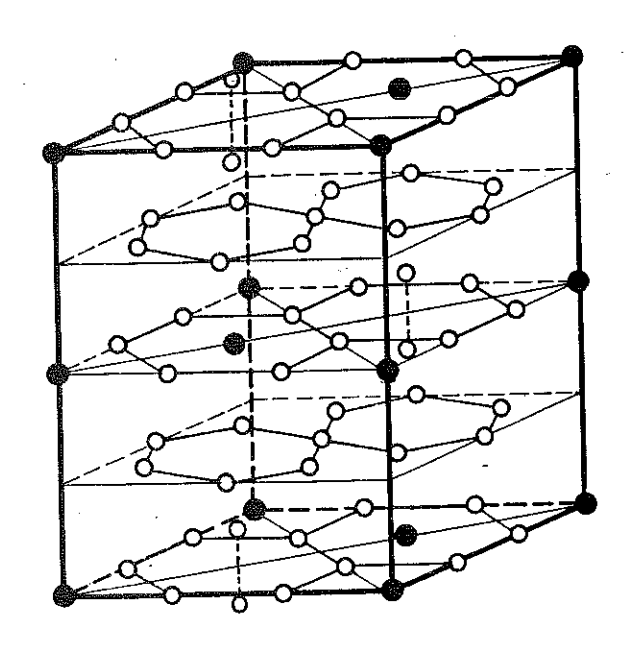
Les atomes d'yttrium adjacents, trop proches, se déplacent parallèlement à l'axe \dot{c} , de part et d'autre de la couche plane, où il ne reste que le nickel Ni_{I} non substitué. Pour le composé $\mathrm{Y_2Ni}_{7}$, isomorphe de $\mathrm{Gd_2Co_7}$, l'unité subit les translations du rhomboèdre. Sa structure est rhomboédrique, et appartient au groupe d'espace $\mathrm{R}\overline{3}\mathrm{m}$. Les positions atomiques sont portées dans le tableau 2.

Tableau 2: Positions des atomes dans Y_2Ni_7 (groupe d'espace $R\overline{3}m$), description hexagonale. On doit ajouter les translations 0, 0, 0; 2/3, 1/3, 1/3 et 1/3, 2/3, 2/3. Les valeurs de x et z sont celles de Gd_2Ni_7 .

			 	
Atomes	Sites	Positions	x	Ż
6Y _I	6c	±(0, 0, z)		0,055
ea ^{II}	6 c	±(0, 0, z)		0,149
3Ni _I	3b	0, 0, \frac{1}{2}		
6Ni _{II}	6c	±(0, 0, z)		0,278
6Ni _{II}	I 6c	±(0, 0, z)		0,388
9Ni _{IV}	9 e	$\frac{1}{2}$, 0, 0; 0, $\frac{1}{2}$, 0; $\frac{1}{2}$, 0		į
18 n i _v	18h	$\pm(x, \bar{x}, z; x, 2x, z; 2\bar{x}, \bar{x}, z)$	0,5	0,111



YNi₅ (P6/mmm)



- o atome de nickel
- atome d'yttrium

Y2 Ni 17 (P6/mmc)

Figure 2 : Structures cristallines des composés YNi5 et Y2Ni 17.

Composé YNi3 (6)

Le motif de base est ici un empilement le long de l'axe \dot{c} de deux mailles de YNi $_5$. Dans chaque deuxième maille, un atome de nickel du plan de base (Ni $_{\rm I}$) est remplacé par un atome d'yttrium, selon le schéma :

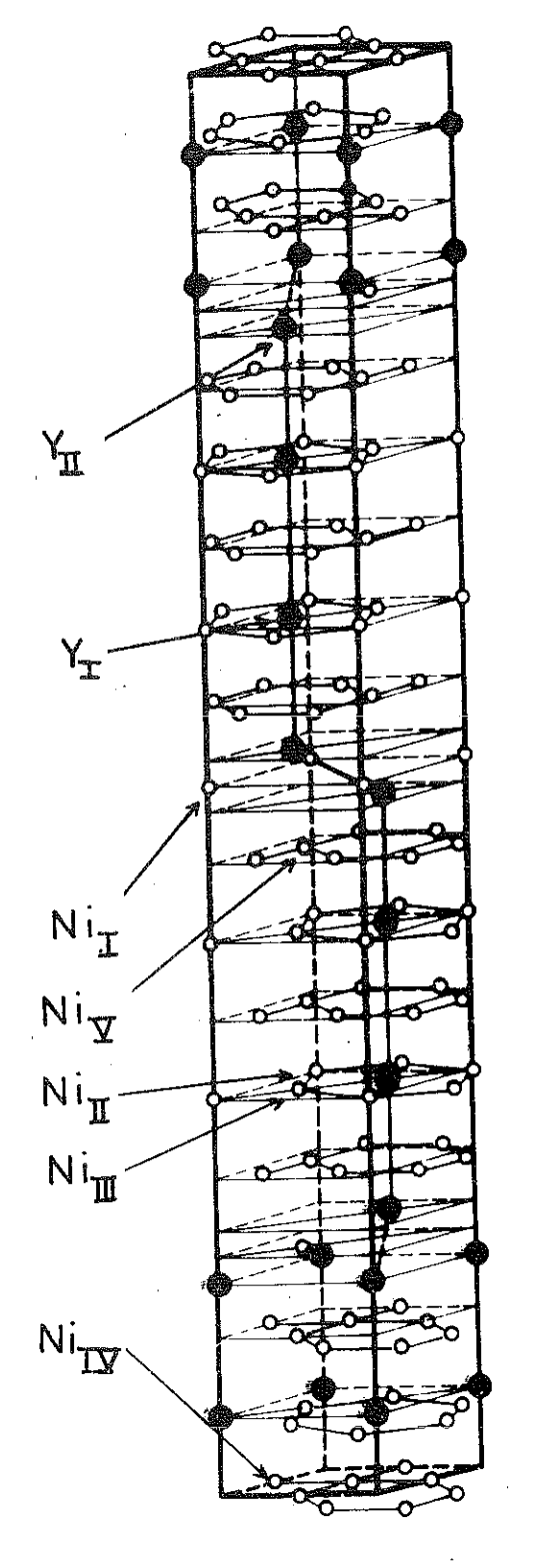
Comme dans la structure précédente, les substitutions conduisent à un déplacement des atomes d'yttrium parallèlement à l'axe c. La structure obtenue est encore rhomboédrique et appartient au groupe d'espace $R\overline{3}m$. Elle est représentée sur la figure 3. Elle est isomorphe de celle de PuNi3. Les positions des atomes dans cette structure sont portées dans le tableau 3.

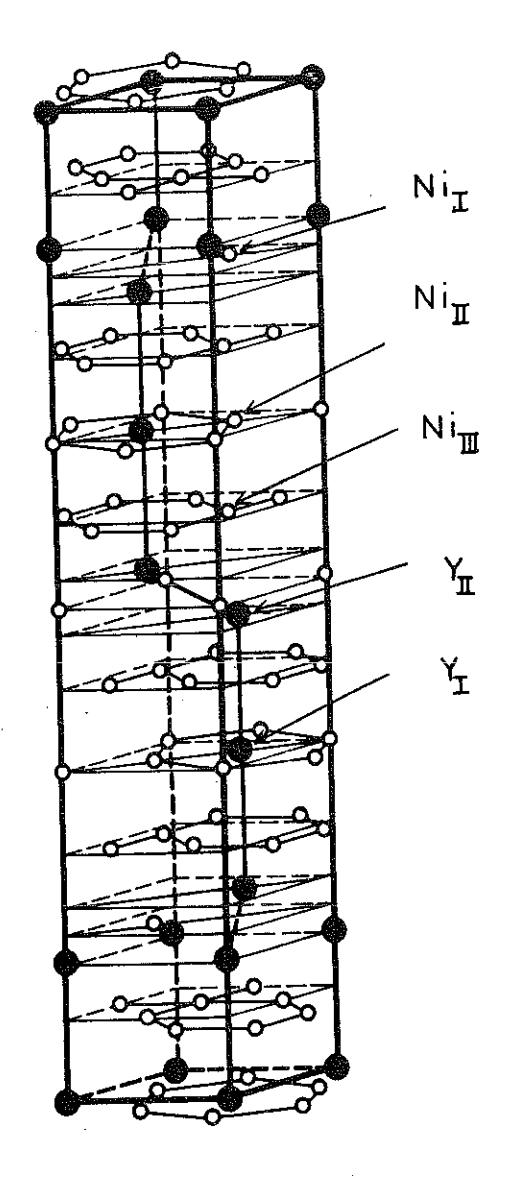
Tableau 3: Positions des atomes dans YNi₃ (groupe d'espace $R\overline{3}m$), description hexagonale. On doit ajouter les translations 0, 0, 0; $\frac{2}{3}$, $\frac{1}{3}$, $\frac{1}{3}$, $\frac{1}{3}$, $\frac{2}{3}$, $\frac{2}{3}$.

Atomes	Sites	Positions	x	z
3Y _I	3а	0,0,0		
6A ^{II}	6c	±(0,0,z)		0,139
3Ni _I	3ъ	0, 0, $\frac{1}{2}$		
6Ni _{II}	6 c	±(0,0,z)		0,333
18Ni _{III}	18h	$\pm(x, \bar{x}, z; x, 2x, z; 2\bar{x}, \bar{x}, z)$	0,5	0,082

Composé YNi₂ (3,9)

La structure de ce composé est cubique ; elle appartient au groupe d'espace $\mathrm{Fd}3\mathrm{m}$. Elle est isomorphe de la phase de Laves MgCu_2 . Elle peut aussi se déduire de la structure de CaCu_5 , en la considérant suivant un de ses axes ternaires $[1,\ 1,\ 1]$, la substitution d'un atome de nickel par un atome d'yttrium se produisant dans chaque maille de YNi_5 , selon le schéma :





YNia (R3m)

Y2Ni7 (R3m)

o atome de nickel

• atome d'yttrium

Figure 3 : Structures cristallines des composés Y2Ni7 et YNi3.

Composé Y2Ni₁₇ (4)

Le type de substitutions qui permettent de générer cette structure à partir de celle de YNi₅ est ici différent. Un tiers des atomes d'yttrium est remplacé par une paire d'atomes de nickel, plus petits, suivant le schéma :

Ces substitutions ont lieu dans chaque couche plane contenant des atomes d'yttrium, à raison de deux par maille. Elles alternent sur deux des trois rangées d'atomes d'yttrium parallèles à l'axe \dot{c} . Les atomes de nickel de chaque paire substituée se mettent de part et d'autre du plan contenant les atomes d'yttrium. La structure de ce composé est hexagonale. Elle appartient au groupe d'espace $P6_3/mmc$, isotype de Th_2Ni_{17} . Elle est représentée sur la figure 2 ; la position des atomes est décrite dans le tableau 4.

Tableau 4: Positions des atomes dans Y2Ni17 (groupe d'espace P63/mmc).

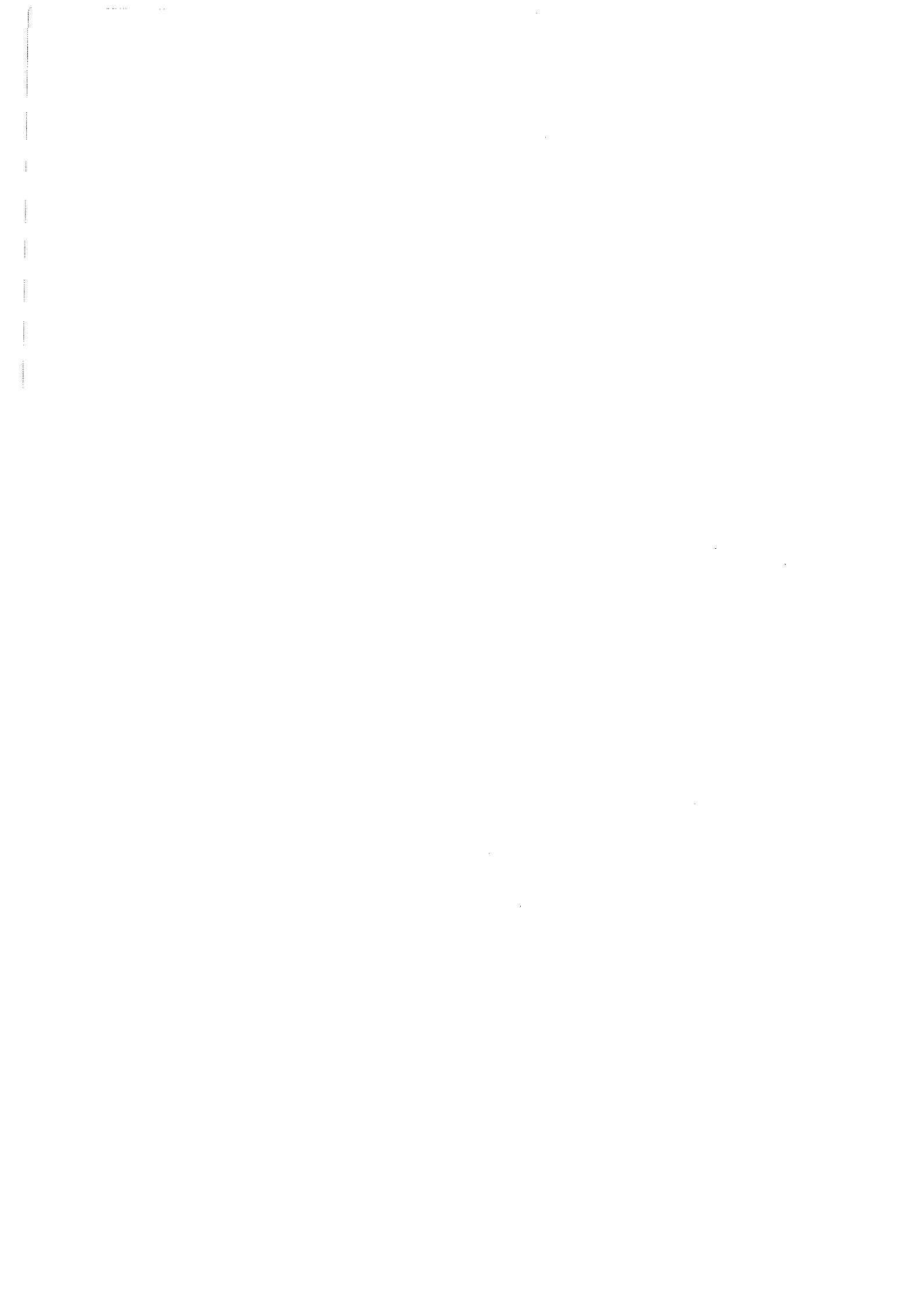
Les valeurs de x, y, z sont celles de Gd2Ni17.

Atomes	Sites	Positions	х	у	Z
SA ^I	2b	$\pm(0, 0, \frac{1}{4})$			
SA.II	2 d	$\pm(\frac{1}{3},\frac{2}{3},\frac{3}{4})$			
6Ni _I	6g	$\frac{1}{2}, 0, 0; 0, \frac{1}{2}, 0; \frac{1}{2}, \frac{1}{2}, 0;$ $\frac{1}{2}, 0, \frac{1}{2}; 0, \frac{1}{2}, \frac{1}{2}; \frac{1}{2}, \frac{1}{2}; \frac{1}{2}$			
12Ni _{II}	12j	$\pm(x, y, \frac{1}{4}; x, x-y, \frac{1}{4}; y-x, \overline{x}, \frac{1}{4}; \overline{y}, \overline{x}, \frac{1}{4}; x, x-y, \frac{1}{4}; y-x, y, \frac{1}{4})$	0,333	0,956	
12Ni _{III}	12k	$\pm(x, 2x, z; 2x, x, z; x, x, z;$ $\bar{x}, 2x, \frac{1}{2} + z; 2x, x, \frac{1}{2} + z; \bar{x}, x, \frac{1}{2} + z)$	0,167		0,983
4Ni _{IV}	4f	$\pm(\frac{1}{3}, \frac{2}{3}, z; \frac{2}{3}, \frac{1}{3}, \frac{1}{2} + z)$		į	0,109

1-3 - PROPRIETES MAGNETIQUES DES COMPOSES Y-Ni RICHES EN NICKEL

Les premières mesures magnétiques sur les alliages R-Ni ont été entreprises par Nesbitt et ses collaborateurs (10) sur les composés RNi5. Ils signalent que la faible aimantation du composé YNi5 ne semble pas provenir d'un ordre antiferromagnétique. Gignoux et al (11) ont montré que YNi5 présente un fort paramagnétisme de Pauli, dont la susceptibilité est pratiquement indépendante de la température (20.10⁻¹⁴ u.e.m./mole à 4,2 K). En 1962, Schrabek et Wallace (12) ont étudié les propriétés magnétiques des composés RNi2. YNi2 ne présente qu'un faible paramagnétisme indépendant de la température, dont la susceptibilité, déterminée par Burzo et Laforest (13) vaut 2.10⁻¹⁴ u.e.m./mole à 300 K. Dans ces deux composés, le moment du nickel est supposé nul, les électrons de conduction apportés par l'yttrium remplissant la bande 3d du nickel. La comparaison entre la susceptibilité et la contribution électronique à la chaleur spécifique montre que la densité d'états au niveau de Fermi est plus élevée pour le composé YNi5.

Le comportement magnétique des composés Y_2Ni_{17} (14), Y_2Ni_7 et Y_1Ni_3 a été étudié à Grenoble en 1967. Ils sont ferromagnétiques avec des températures de Curie respectives de 160, 58 et 33K.



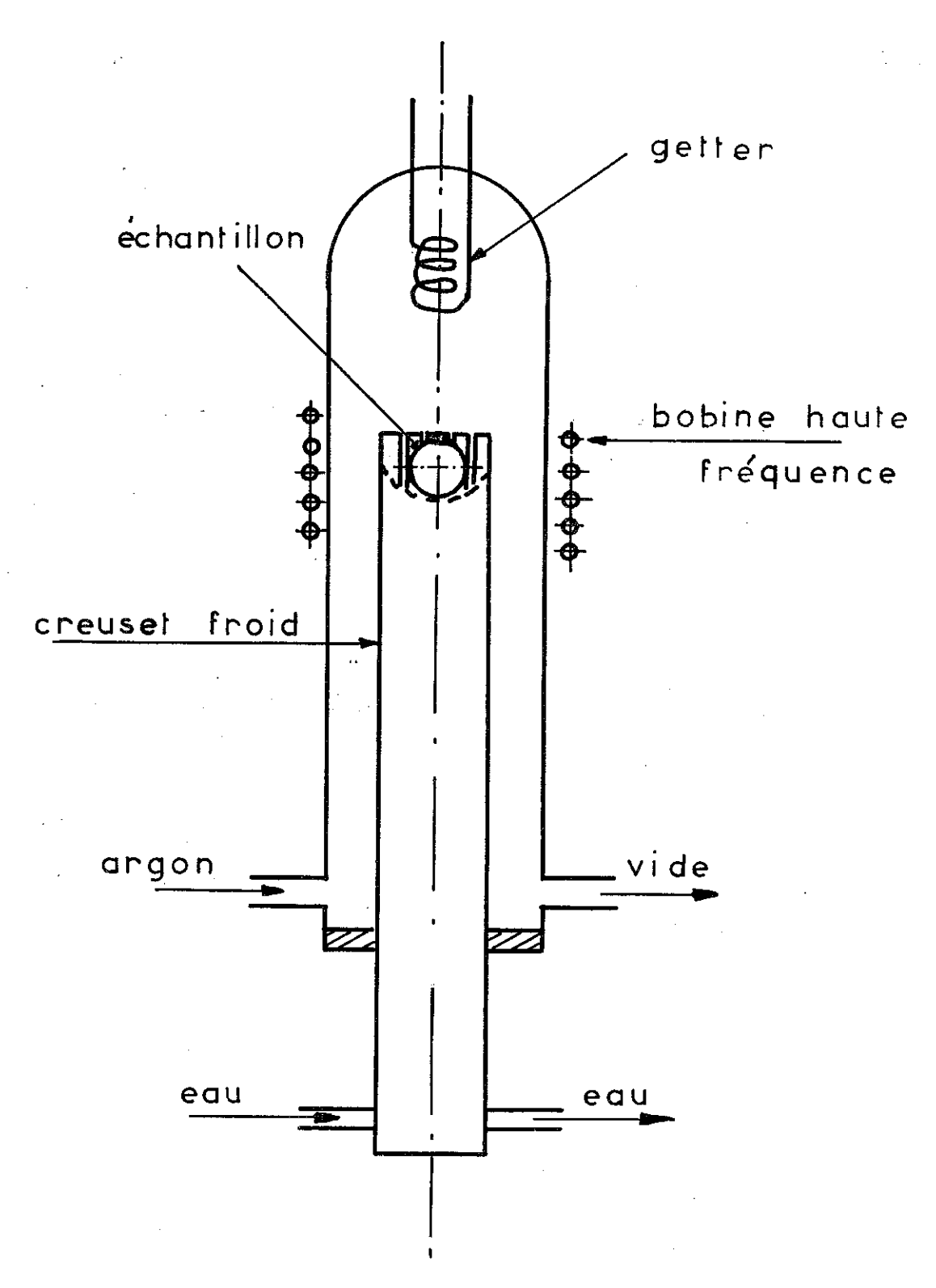
CHAPITRE II

MÉTHODES EXPÉRIMENTALES

II-1 - PREPARATION DES ECHANTILLONS

La pureté des éléments utilisés est de 99,9 % pour l'yttrium et 99,99 % pour le nickel. Les échantillons polycristallins ont été préparés par induction haute fréquence dans un four utilisant la méthode dite du creuset froid. Le principe de cette préparation est schématisé sur la figure 4. Les constituants sont placés dans un creuset cylindrique en cuivre, refroidi par une circulation d'eau, et divisé en secteurs selon les génératrices du cylindre. Cinq spires en cuivre refroidies à l'eau entourent le creuset et sont alimentées en courant haute fréquence par un générateur. Ce courant induit dans les secteurs du creuset une densité de courants haute fréquence. Les constituants, placés dans le champ d'induction créé par cette densité de courant, sont alors le siège de courants induits qui les portent à leur température de fusion. De plus, la forme des secteurs est telle que le gradient de champ magnétique engendré produit sur les courants induits dans l'échantillon des forces électromagnétiques qui contrebalancent en partie l'action de la pesanteur. L'échantillon est alors presque lévité. Les contacts partiels entre l'échantillon et les secteurs ne donnent lieu à aucune perturbation car les différences de potentiel entre l'échantillon et les secteurs sont très faibles.

Cette méthode assure une bonne homogénéité des alliages obtenus grâce au brassage énergique du liquide en fusion par les forces électromagnétiques. De plus, on évite toute contamination par un creuset; les secteurs sont refroidis par une circulation d'eau, et les contacts sont suffisamment faibles pour que le creuset en cuivre ne réagisse absolument pas



 $\underline{\text{Figure 4}}$: Schéma de principe du four à induction utilisant un creuset froid.

avec l'alliage fondu. Enfin il suffit de couper le courant pour que l'alliage en fusion s'étale au fond du creuset où il subit une trempe brutale. Ce dispositif a l'avantage par rapport au four à lévitation longtemps utilisé au Laboratoire de permettre une facile préparation d'échantillons de plusieurs dizaines de grammes.

Les différents échantillons préparés ont été recuits pendant plusieurs jours sous vide secondaire, à des températures inférieures d'environ 100°C à leur température de fusion, afin d'assurer une meilleure cristallisation. Néanmoins, il a été nécessaire de maintenir pendant environ un mois à 1100°C les composés de type Y₂Ni₁₇, pour éliminer toute trace de nickel non allié.

La pureté des composés obtenus est vérifiée à partir de clichés de rayons X sur poudre, par la méthode Debye-Scherrer. Lorsqu'un cliché ne présente que les raies de diffraction du composé étudié, on peut affirmer que ce dernier ne contient pas plus de 2 % de phases voisines. Ces clichés nous ont permis d'autre part de mesurer les paramètres de maille des divers composés.

Un monocristal de YNi₃ a été préparé par la méthode de Czochralski. YNi₃ a une fusion non congruente : il se transforme dans une réaction péritectique à 1237°C en Y₂Ni₇ et en liquide. Pour faciliter sa formation directement à partir du liquide, l'alliage fondu avait une composition YNi_{2,6}. Le premier tirage a été obtenu en utilisant un fil de tungstène comme germe. Pour les expériences suivantes, les germes ont été taillés par électroérosion dans le premier échantillon tiré. Les échantillons n'étaient pas entièrement monocristallins. Nous sommes parvenus à extraire une sphère monocristalline de 2,5 mm de diamètre, qui s'est malheureusement brisée en deux parties lors des mesures d'aimantation. L'orientation de ce cristal selon les différentes directions cristallographiques a été réalisée par diffraction de rayons X en utilisant les méthodes de Laue et du cristal tournant.

II-2 - MESURES PHYSIQUES EFFECTUEES

Les mesures d'aimantation ont été effectuées au Service National des Champs Intenses. Le champ magnétique est créé par une bobine sans fer, du type Bitter, pouvant produire un champ de 150 kOe dans un diamètre utile de 50 mm, avec une puissance de 5 MW. Afin de faire varier la température de l'échantillon entre 1,5 et 300 K, on utilise un vase cryogénique rempli d'hélium liquide. Deux thermosondes, l'une en carbone, l'autre en platine, sont en contact avec l'échantillon, et permettent la mesure de sa température. La tige porte-échantillon est située à l'intérieur d'un calorimètre équipé d'un four et d'une régulation de température. Pour obtenir des températures comprises entre 1,5 et 4,2 K on fait varier la pression de vapeur saturante du bain d'hélium. L'aimantation est mesurée par la méthode d'extraction axiale entre deux bobines situées à l'intérieur du cryostat. L'échantillon se déplace sur 20 mm, dans un champ constant à 4/1000 près. Le signal produit dans les bobines de mesure est intégré à l'aide d'un voltmètre numérique.

Des mesures de susceptibilité entre 4,2 et 300 K ont été réalisées à l'aide d'une balance de translation, dans des champs compris entre 0,34 et 6,9 kOe. La résistivité des échantillons a été étudiée entre 1,5 et 300 K en utilisant la méthode classique des quatre fils. La chaleur spécifique a été mesurée au Service des Basses Températures du C.E.N.G., afin de déterminer les contributions électronique et magnétique à la chaleur spécifique. Ces différentes mesures ont été effectuées sur les composés Y₂Ni₁₇, YNi₃ et Y₂Ni₇ à l'état polycristallin, et nous ont permis de préciser les propriétés magnétiques de ces composés exposées au chapitre suivant.

Nous avons effectué deux expériences de diffraction neutronique à l'Institut Laue-Langevin, sur un monocristal de YNi3: sur le spectromètre quatre cercles D9 nous avons mesuré l'intensité d'un grand nombre de réflexions à la température ambiante. Ces intensités ont permis l'affinement de la structure cristallographique du composé. Sur le spectromètre D3, une expérience de diffraction de neutrons polarisés à 4,2 K a conduit à la détermination de la carte de densité magnétique de YNi3.

CHAPITRE III

PROPRIÉTÉS MAGNÉTIQUES DES COMPOSÉS POLYCRISTALLINS

Y2N117, YN13 ET Y2N17

III-1 - COMPOSES Y2Ni 17

Nous avons étudié le composé Y2Ni 17 stoechiométrique, qui présente quatre sites différents de nickel, ainsi que deux composés légèrement déficitaires en nickel, cristallisant dans la même structure.

III-1-1 - Mesures d'aimantation et de susceptibilité

a - Composé stoechiométrique Y2Ni 17

Sur la figure 5, nous avons porté quelques variations isothermes de l'aimantation du composé $Y_2 Ni_{17}$, mesurées dans des champs magnétiques allant jusqu'à 150 kOe, et pour des températures comprises entre 1,5 et 300 K. En dessous de sa température de Curie ($T_c = 149$ K), il a un comportement ferromagnétique. L'anisotropie magnétocristalline est relativement faible. En effet, bien que l'échantillon soit polycristallin et de structure uniaxe, l'aimantation spontanée est pratiquement atteinte dès que le champ est supérieur à 15 kOe. Pour des champs supérieurs à cette valeur, et pour des températures inférieures à 120 K, l'aimantation croît faiblement et linéairement avec le champ, et peut s'exprimer sous la forme :

$$M(H,T) = M_s(0,T) + \chi_s(0,T).H.$$

Cette variation permet de déterminer l'aimantation spontanée, $M_s(0,T)$, et la susceptibilité superposée à l'aimantation spontanée, $\chi_s(0,T)$.

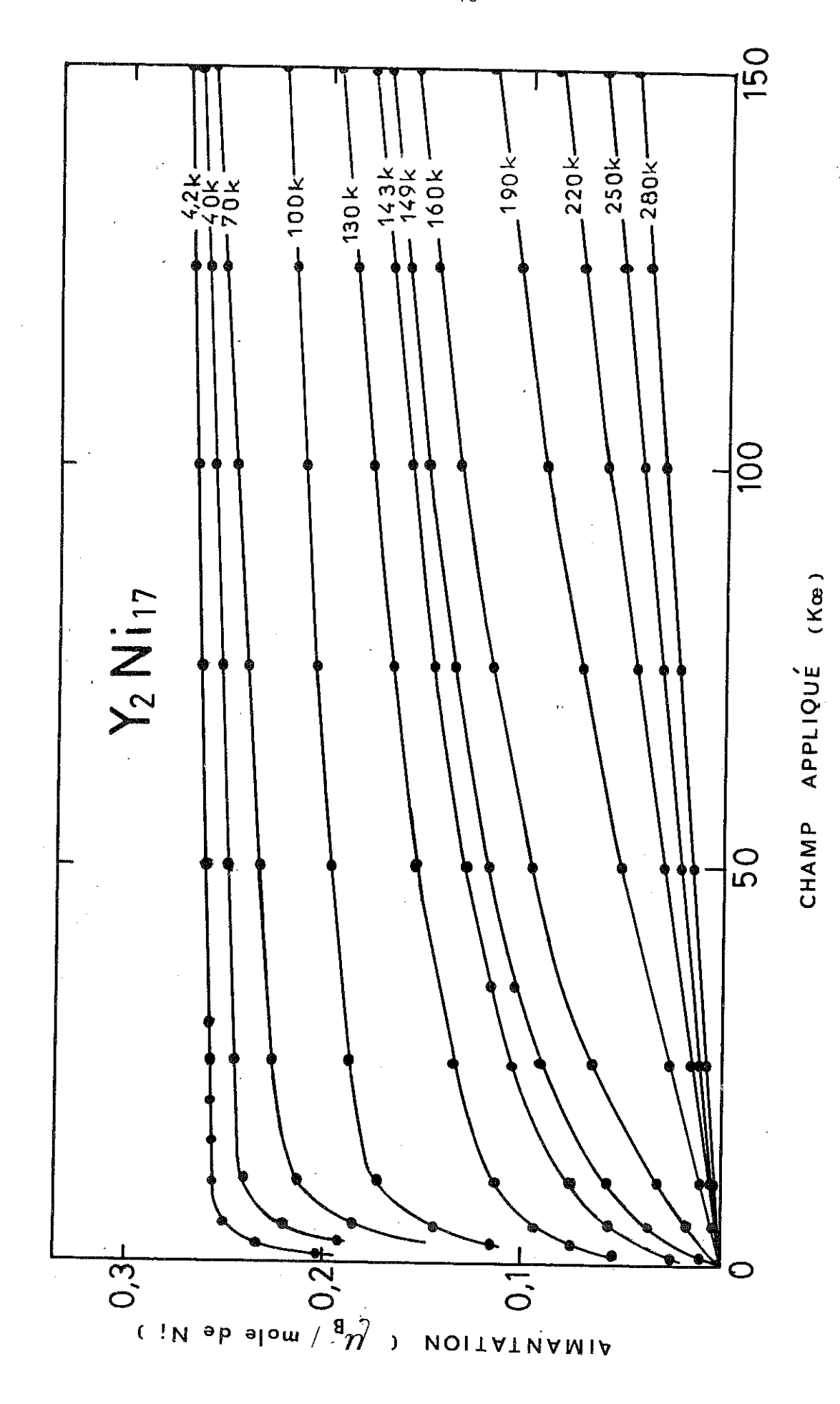


Figure 5: Y2Ni17 - Variations isothermes de l'aimantation.

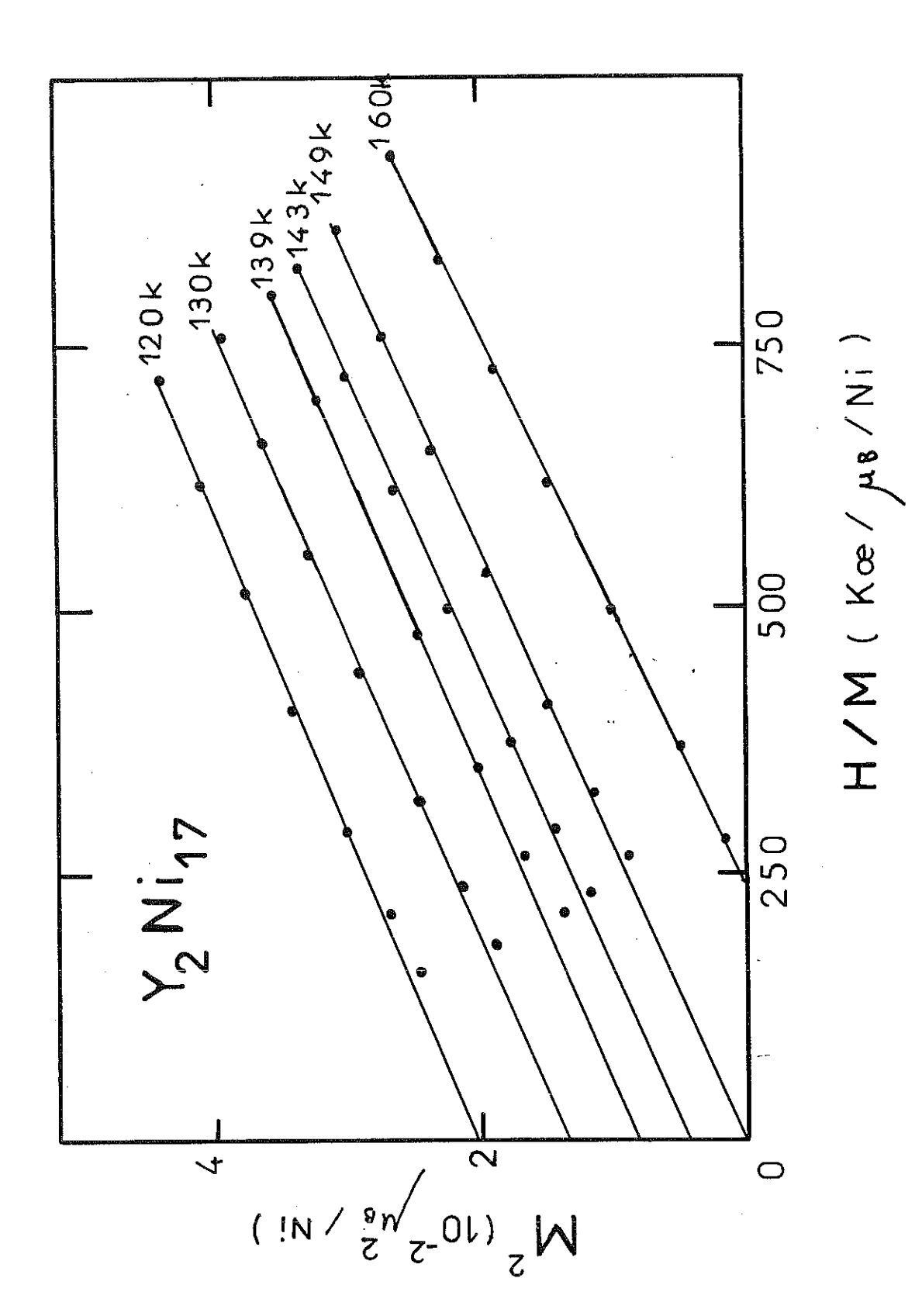


Figure $6: x_2 \text{Ni}_{17}$ - Tracés de Arrott au voisinage de la température de Curie, T_c = 149 K.

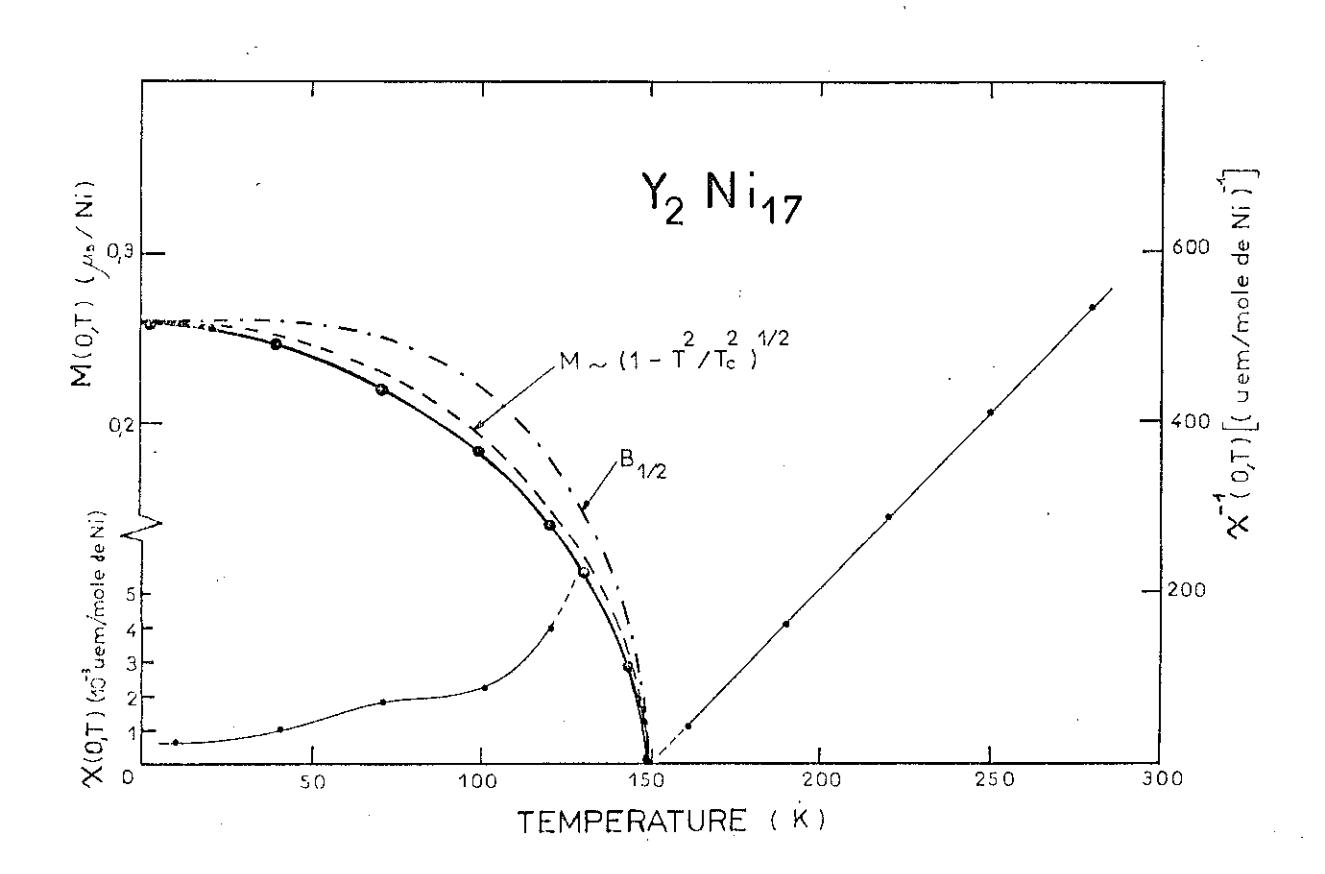


Figure 7: Y2Ni 17.

- Variation thermique de l'aimantation spontanée. La courbe en trait mixte représente la variation déduite d'une loi de Brillouin, $B_{1/2}$. La courbe en traits discontinus correspond à une variation de l'aimantation proportionnelle à $(1 T^2/T_c^2)^{1/2}$.
- Variation thermique de la susceptibilité superposée au-dessous de \mathbf{T}_{c} .
- Variation thermique de l'inverse de la susceptibilité paramagnétique.

Au-dessus de 120 K, en raison du désordre thermique, l'aimantation ne varie plus linéairement avec le champ. Il est alors difficile de déterminer directement l'aimantation spontanée et la susceptibilité superposée. Dans ce domaine de température, l'aimantation est faible et l'énergie libre peut se développer selon Landau (17), c'est-à-dire dans un modèle de champ moyen, en puissances croissantes de l'aimantation:

$$\Delta F = \frac{A}{2} M^2 + \frac{B}{4} M^4 + \dots - MH.$$

En limitant le développement au 4e ordre, et en le minimisant par rapport à l'aimantation, on obtient la relation :

$$M^2 = -\frac{A}{B} + \frac{1}{B} \frac{H}{M}.$$

Le carré de l'aimantation varie alors linéairement en fonction du rapport H/M, ce qui conduit au tracé de Arrott (18). Cette variation est caractéristique d'une aimantation faible ; en particulier, elle pourra être observée au voisinage d'un point de Curie tant que le modèle du champ moléculaire reste applicable. L'ordonnée et l'abscisse à l'origine de ces droites permettent de déterminer respectivement l'aimantation spontanée et la susceptibilité superposée. Cette dernière vaut :

$$\chi_s(0,T) = \frac{\partial M}{\partial H} (0,T) = -1/2A.$$

La température de Curie correspond à l'isotherme qui passe par l'origine.

Les tracés de Arrott entre 120 K et 160 K pour le composé Y_2Ni_{17} sont portés sur la figure 6. Les variations du carré de l'aimantation en fonction de H/M sont pratiquement linéaires pour les champs supérieurs à 15 kOe. L'aimantation spontanée et la susceptibilité initiale peuvent alors être déterminées. La variation thermique de l'aimantation spontanée est représentée sur la figure 7; elle est comparée à la variation résultant d'un désordre thermique de moments localisés de spin 1/2 (Brillouin $B_{1/2}$) et de celle correspondant à la disparition de l'aimantation par des excitations individuelles dans un magnétisme de bandes (ferromagnétisme de type Stoner : $M^2 = M_0^2 (1 - \frac{T^2}{T^2})$). Sur la même figure, nous avons porté la susceptibilité superposée c à l'aimantation spontanée. Elle est de 6,6.10 $^{-4}$ u.e.m./mole de Ni à 1,5 K. Sa variation présente une anomalie au voisinage de 70 K. Nous avons tracé également la variation thermique de l'inverse de la susceptibilité paramagnétique. Elle varie linéairement avec la température, et définit

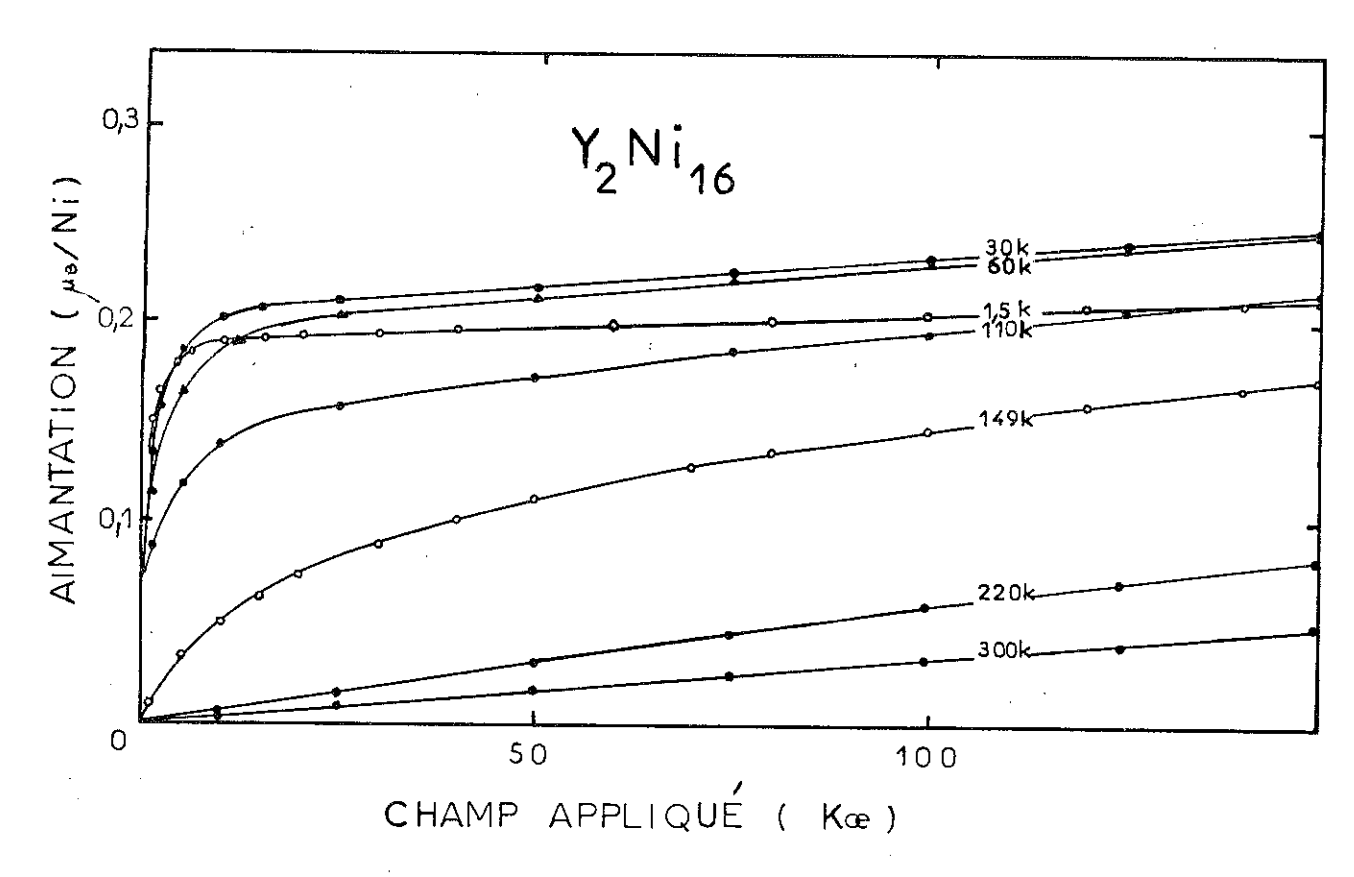
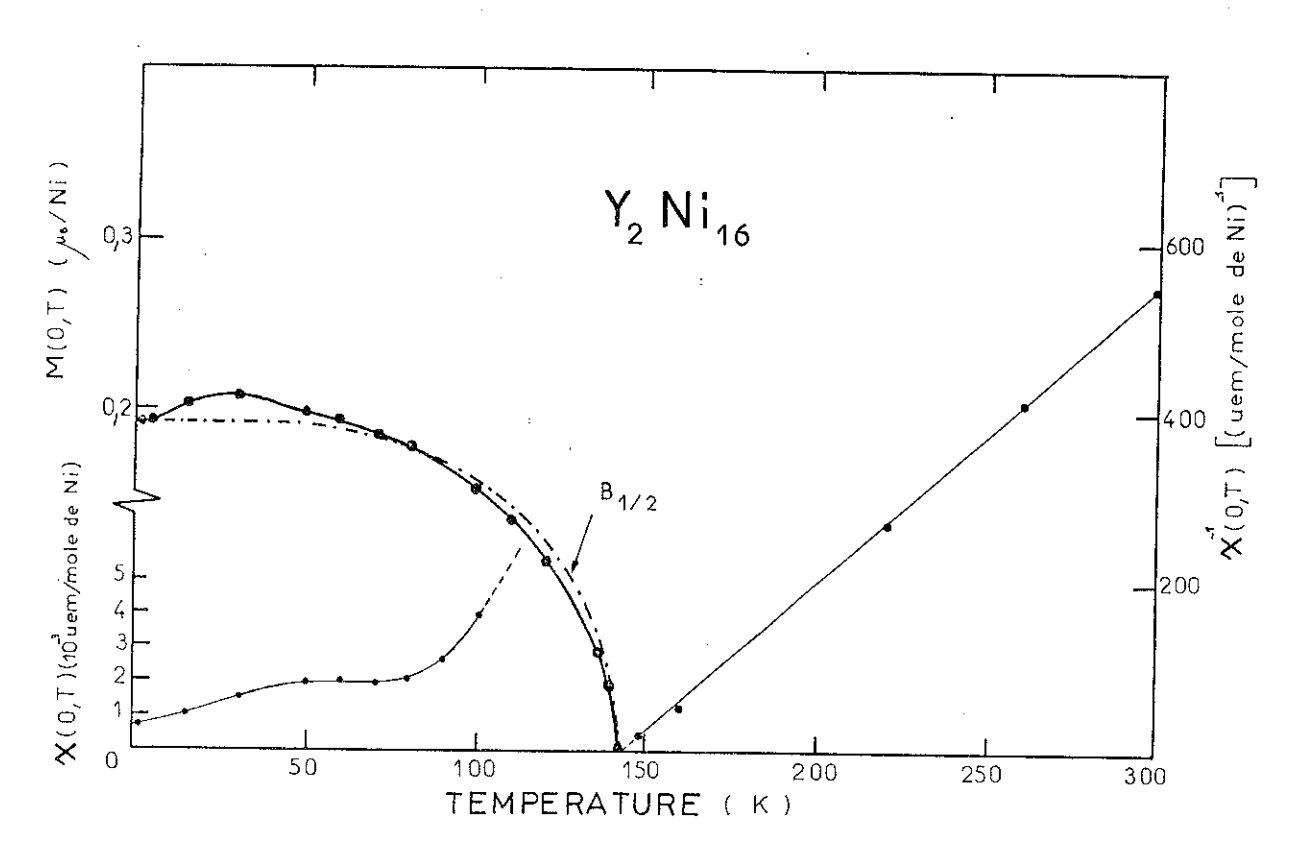


Figure 8: Y2Ni 16 - Variations isothermes de l'aimantation.



<u>Figure 9</u>: Y₂Ni₁₆ - légende : voir figure 7.

une température de Curie paramagnétique Θ = 150 K très proche de la température d'ordre ferromagnétique, T_c = 149 K. En assimilant cette variation à une loi de Curie-Weiss, la constante de Curie correspond à un moment efficace de 1,4 μ_B/Ni , valeur 5,4 fois supérieure à celle du moment observé dans l'état ferromagnétique (0,26 μ_B/Ni).

b - Composé sous stoechiométrique Y2Ni16

Sur la figure 8, nous avons représenté quelques variations isothermes de l'aimantation du composé Y2Ni 16 entre 1,5 et 300 K. Comme Y2Ni 17, cet alliage présente une aimantation spontanée à basse température. Sa température de Curie est de 142 K. Au-dessous de 100 K, et pour des champs supérieurs à 15 kOe, l'aimantation varie linéairement avec le champ. L'aimantation spontanée croît avec la température jusqu'à 30 K. La susceptibilité superposée augmente également. Elle passe de $7,5.10^{-4}$ u.e.m./mole de Ni, pour 1,5 K, à 2.10^{-3} u.e.m./mole de Ni pour 60 K. Aux températures supérieures à 100 K, comme dans le composé précédent, les variations isothermes de l'aimantation peuvent être analysées à l'aide des tracés d'Arrott. Nous avons porté sur la figure 9 les variations thermiques de l'aimantation spontanée, de la susceptibilité superposée en-dessous de $\mathbb{T}_{_{\mathbf{C}}}$ et de l'inverse de la susceptibilité paramagnétique. La variation de l'aimantation spontanée passe par un maximum vers 30 K, où elle atteint 0,21 $\mu_{\textrm{R}}/\textrm{Ni}$ alors que le moment moyen du nickel déduit de la valeur de l'aimantation spontanée à O K est de 0,19 μ_B . Comme dans le composé stoechiométrique, la susceptibilité superposée présente une anomalie au voisinage de 55 K. Ces deux comportements anormaux pour un composé ferromagnétique ont déjà été rencontrés dans ThCo₅ (19). La variation thermique de l'inverse de la susceptibilité de Y2Ni 16 est linéaire. Le moment effectif correspondant à une loi de Curie-Weiss est de 1,52 μ_{R}/Ni .

c - <u>Composé sous stoechiométrique YaNi</u>15

Nous avons représenté sur la figure 10 quelques variations isothermes de l'aimantation du composé Y₂Ni₁₅. Au-dessous de T_c = 119 K, comme pour les deux composés précédents, on observe un comportement ferromagnétique. Mais dans ce dernier composé, la dépendance de l'aimantation avec le champ est plus importante, particulièrement aux basses températures. Ces isothermes sont analysées à l'aide des tracés d'Arrott (figure 11). A toute température, le carré de l'aimantation varie linéairement avec le rapport H/M lorsque le champ est supérieur à 15 kOe. La pente de ces droites dépend très peu de la température. Les variations de l'aimantation spontanée et de la susceptibilité superposée sont portées

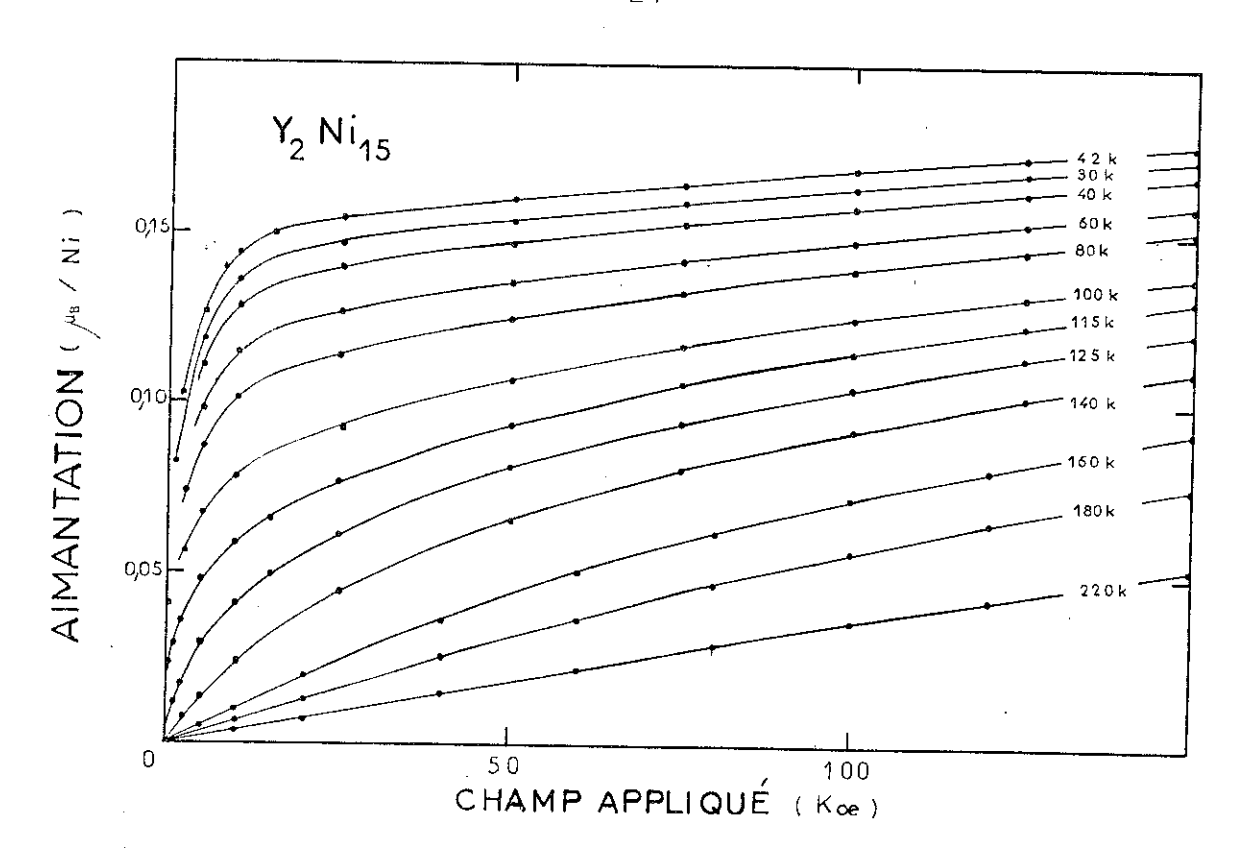


Figure 10 : Y2Ni 15 - Variations isothermes de l'aimantation.

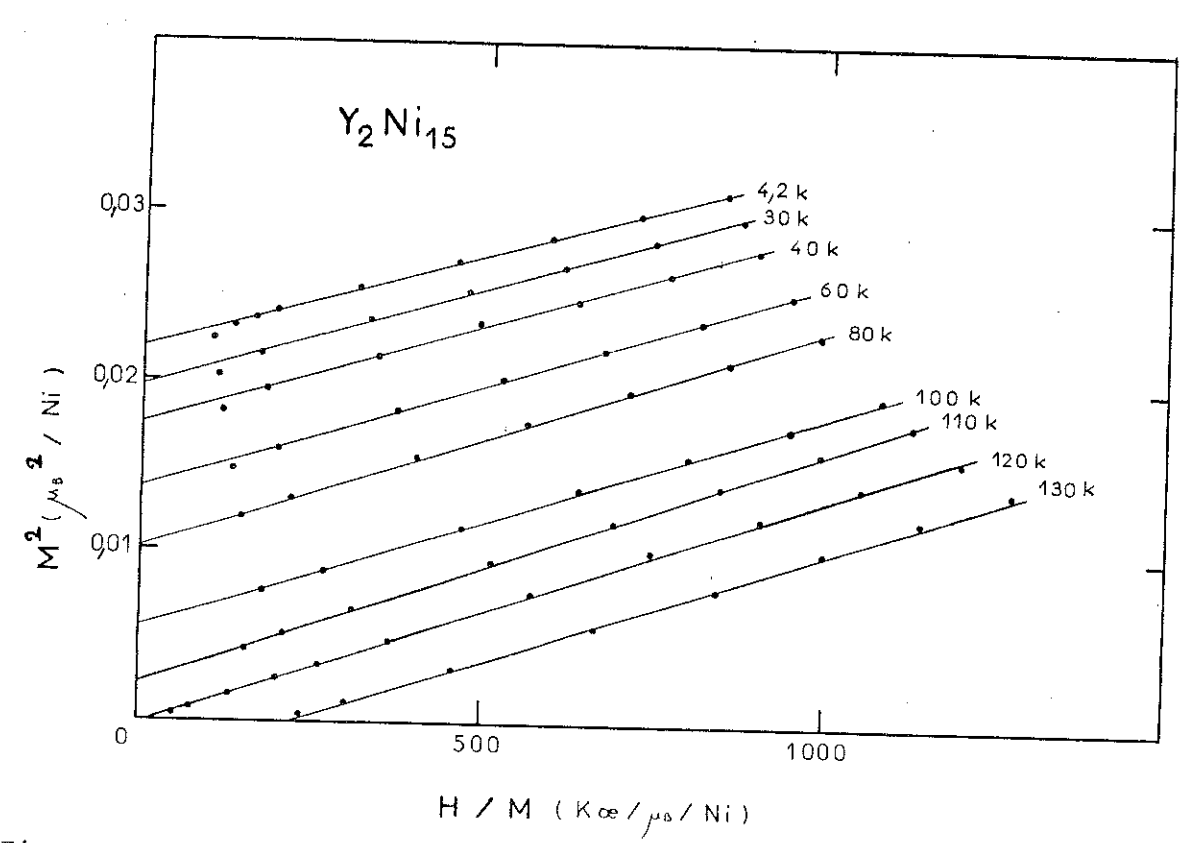


Figure 11: Y2Ni 15 - Tracés de Arrott entre 4,2 K et 130 K.

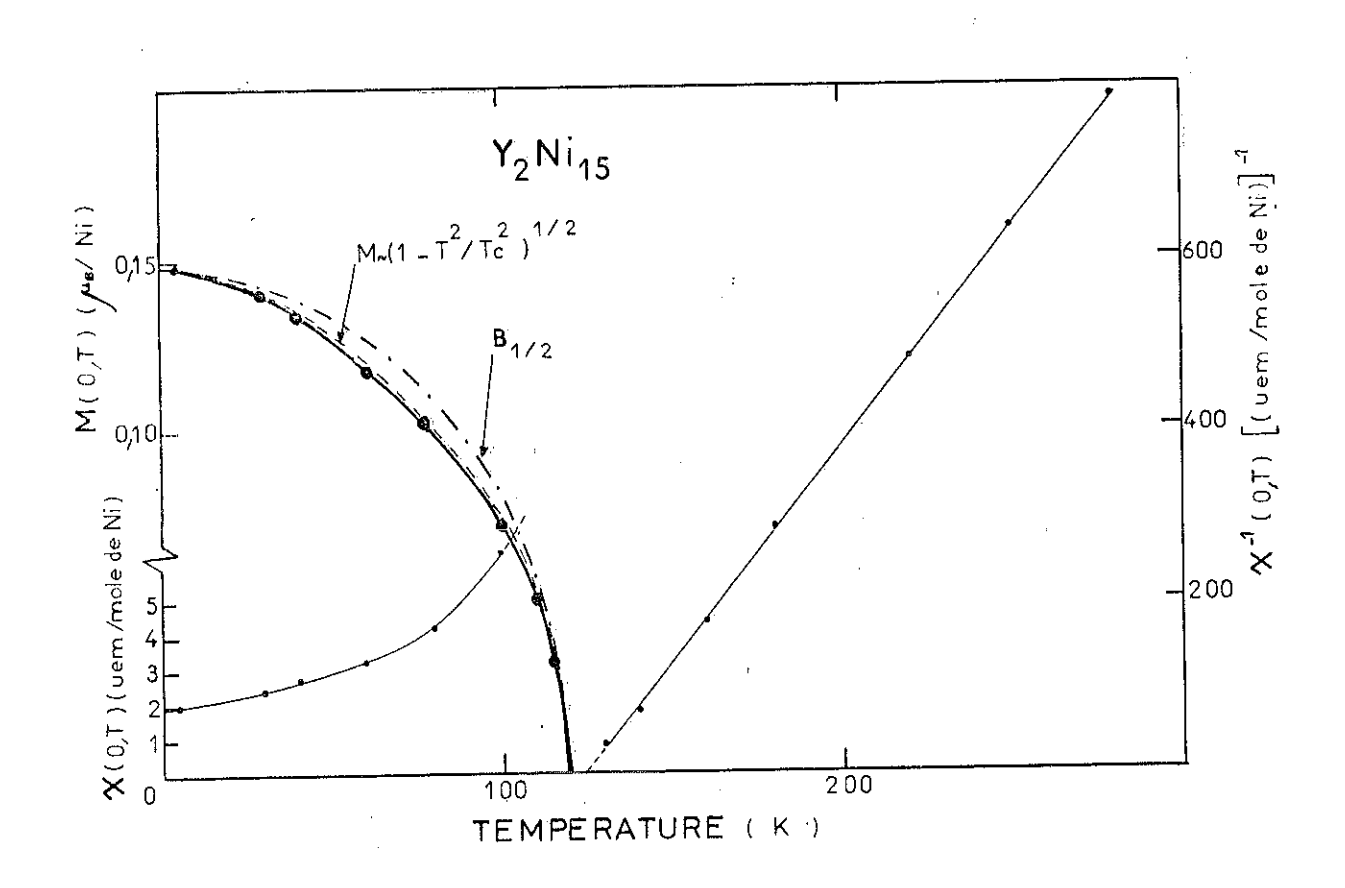


Figure 12 : Y2Ni 15.

- Variation thermique de l'aimantation spontanée, de la susceptibilité superposée en dessous de \mathbb{T}_c et de l'inverse de la susceptibilité paramagnétique.

La courbe en trait mixte représente la variation de l'aimantation spontanée déduite d'une loi de Brillouin $_{1/2}^{\rm B}$. La courbe en trait discontinu correspond à une variation proportionnelle à $(1-{\tt T}^2/{\tt T}_{\rm c}^2)^{1/2}$.

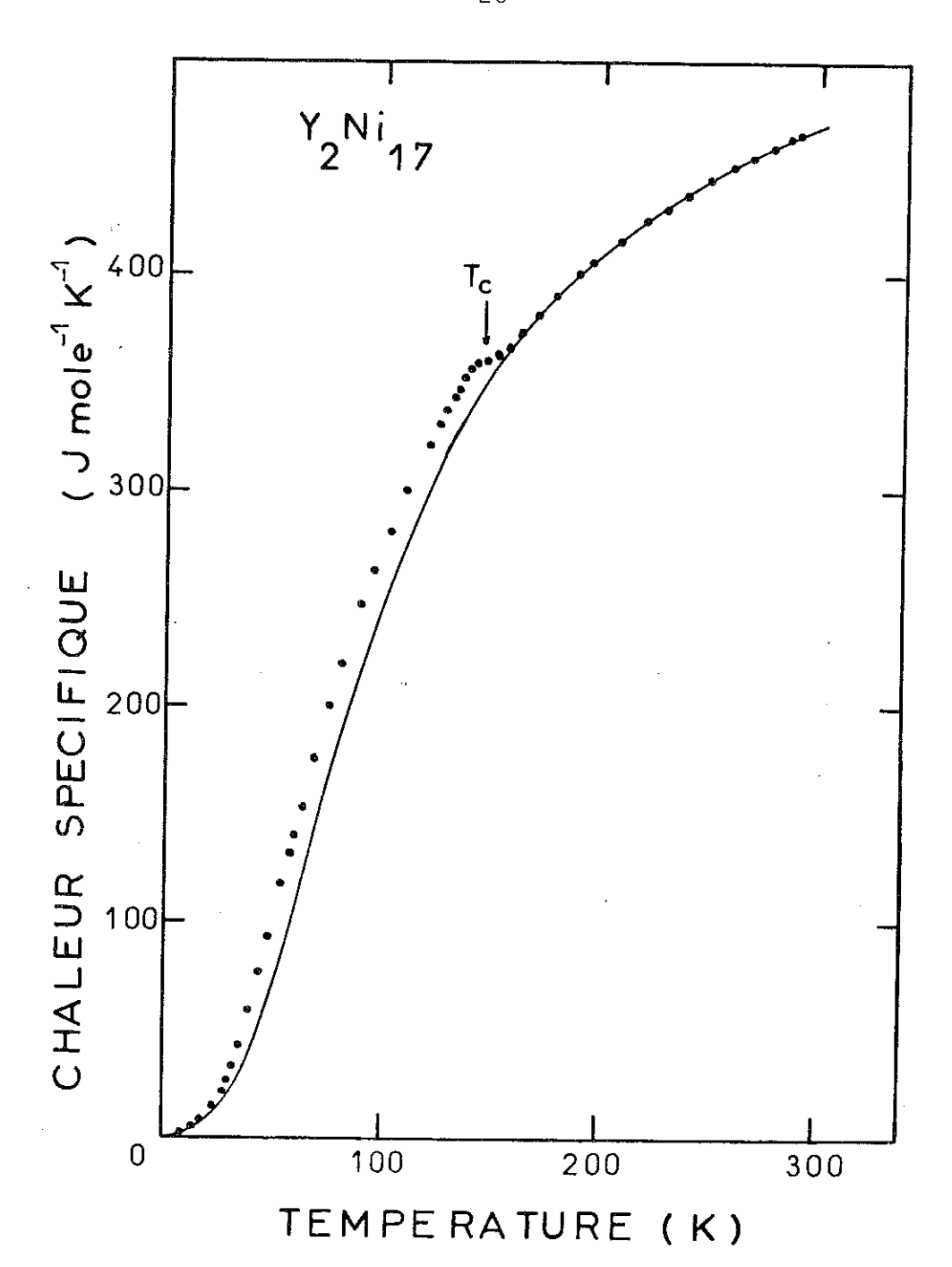


Figure 13 : Y2Ni 17.

Variation thermique de la chaleur spécifique.

Les points correspondent aux valeurs expérimentales, la courbe en trait continu représente les contributions électronique et de réseau.

sur la figure 12. A la différence des composés précédents, elles ne présentent aucune anomalie. L'aimantation spontanée, extrapolée à 0 K, conduit à un moment moyen de 0,15 $\mu_{\rm B}/{\rm Ni}$. La susceptibilité superposée est de 2.10 $^{-3}$ u.e.m./mole de Ni à 1,5 K. Alors que le moment moyen diminue lorsque la concentration en yttrium augmente la susceptibilité superposée augmente.

Pour les trois composés de type Y₂Ni₁₇ étudiés, l'inverse de la susceptibilité paramagnétique varie linéairement avec la température jusqu'à la température ambiante. Cependant, les moments effectifs que l'on peut déduire de telles variations dans le cadre d'une loi de Curie-Weiss n'ont pas une évolution avec la concentration analogue à celle de l'aimantation spontanée.

III-1-2 - Chaleur spécifique et résistivité électrique

Nous avons mesuré la chaleur spécifique du composé Y_2Ni_{17} stoechiométrique entre 1,5 et 300 K. Sa variation thermique est représentée sur la figure 13. Une faible anomalie apparaît à la température de Curie, tendant à mettre en évidence, au-dessous de T_c , une contribution magnétique à la chaleur spécifique. La chaleur spécifique est mesurée à pression constante. Mais aux erreurs d'expérience près, on peut la considérer égale à celle mesurée à volume constant. Cette dernière est la somme de trois contributions :

$$C_v = C_r + C_{el} + C_m$$
.

 $\mathbf{C_r}$ est la contribution du réseau, que l'on décrit à l'aide d'une fonction de Debye,

C est la contribution électronique proportionnelle à T, C_m enfin est la contribution magnétique.

Nous avons déterminé les contributions électronique et de réseau de manière à rendre compte de la chaleur spécifique mesurée aux très basses températures et au-dessus de la température d'ordre, domaines où la contribution magnétique est généralement négligeable. Le meilleur accord est obtenu pour une température de Debye de 392 K et un coefficient électronique γ de 0, 5 Jmole K-2. La variation thermique de la chaleur spécifique ainsi calculée est reportée en trait continu sur la figure 13. Elle met en évidence une contribution magnétique entre 30 et 160 K. L'entropie magnétique est positive, à T_C elle est évaluée à :

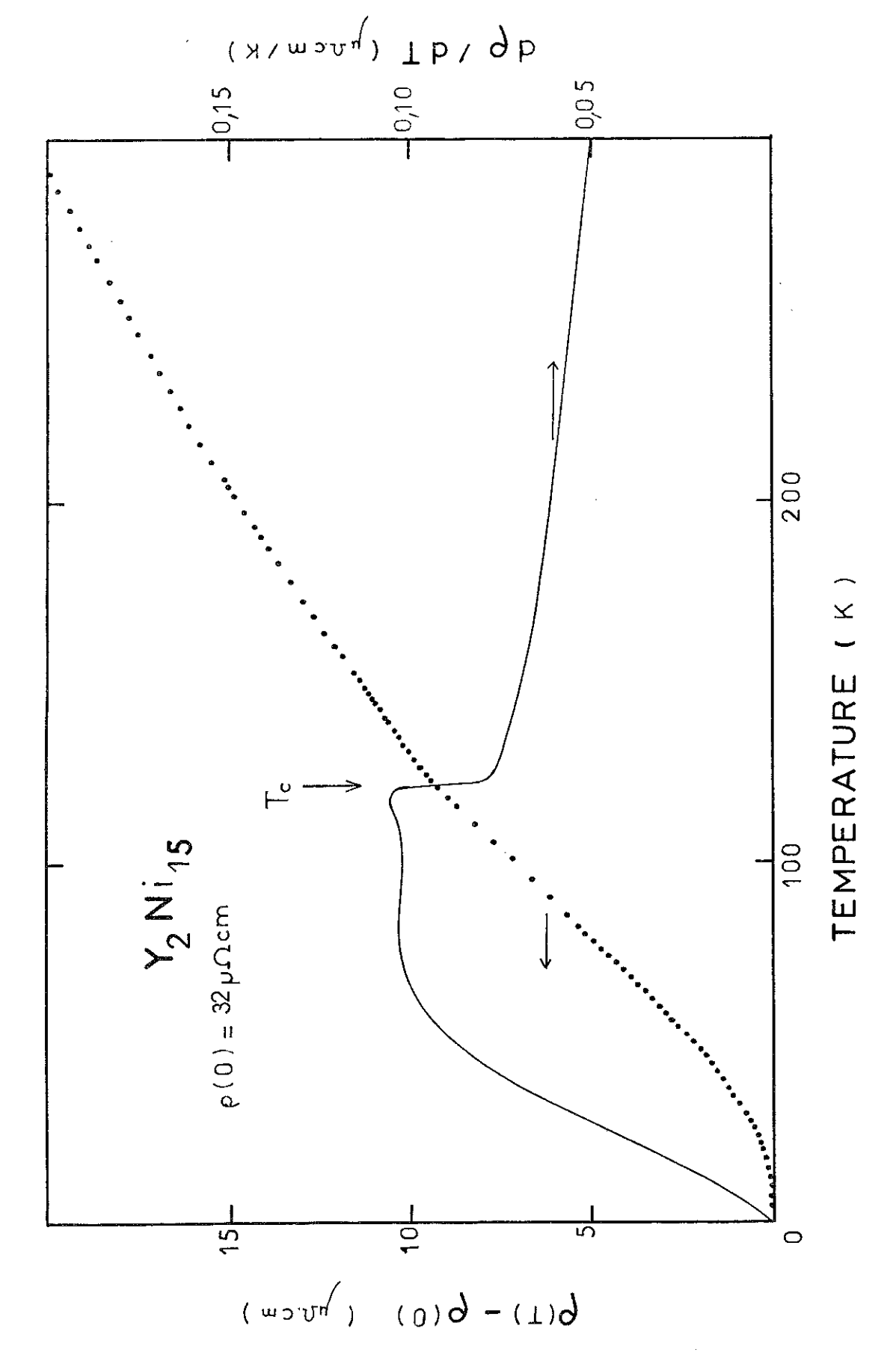


Figure 14 : $m Y_2Ni_{15}$ - Variation thermique de la résistivité (ronds pleins) et de sa dérivée par rapport à la température (trait continu).

$$S_{m} = 30 \pm 6 \text{ Jmole}^{-1} \text{ K}^{-1}$$
.

L'entropie magnétique totale, S_m , par atome gramme d'un système comportant n électrons magnétiques par atome, s'écrit :

$$S_m = nR Ln 2$$

où R est la constante des gaz parfaits.

Pour $Y_2^{\rm Ni}$ 17, où le nombre d'électrons magnétiques est de 0,26 par atome, l'entropie magnétique vaut :

$$S_m = 25 \text{ Jmole}^{-1} \text{ K}^{-1}$$

valeur du même ordre de grandeur que celle observée expérimentalement.

Nous avons mesuré la résistivité ρ du composé Y_2Ni_{15} entre 4,2 K et 300 K. Sa variation thermique, ainsi que celle de $\frac{\partial \rho}{\partial T}$ sont portées sur la figure 14. A T_c , la variation thermique de la résistivité présente un changement de pente. La diminution plus rapide de la résistivité au-dessous de cette température résulte de l'ordre magnétique. Au voisinage de T_c , $\frac{\partial \rho}{\partial T}$ a un comportement analogue à la contribution magnétique à la chaleur spécifique. L'anomalie observée, comme celle de la chaleur spécifique, est beaucoup moins marquée que dans le nickel métallique (20,21). En dessous de 25 K, la variation thermique de la résistivité est proportionnelle à T^2 , variation caractéristique d'une diffusion électron-électron gouvernée par une statistique de Fermi. Le coefficient B du terme en T^2 atteint $B=80.10^{-11}~\Omega~cm~K^{-2}$, alors qu'il est en général de l'ordre de $10^{-11}~\rho$ pour les métaux de transition usuels.

III-2 - COMPOSES Y2Ni7

Nous avons préparé plusieurs échantillons polycristallins dans le domaine d'homogénéité de cette phase. Nous avons observé deux types de comportements magnétiques en fonction du taux d'yttrium allié. Le premier, plus facile à obtenir, est celui d'un très faible ferromagnétique ; on l'observe dans les composés surstoechiométriques en yttrium. Le second, plus particulier, est caractérisé par une aimantation spontanée, appelée aimantation thermique, qui n'apparaît qu'au-dessus d'une température $\mathbf{T}_{\mathbf{S}}$, et qui s'annule à $\mathbf{T}_{\mathbf{C}}$.

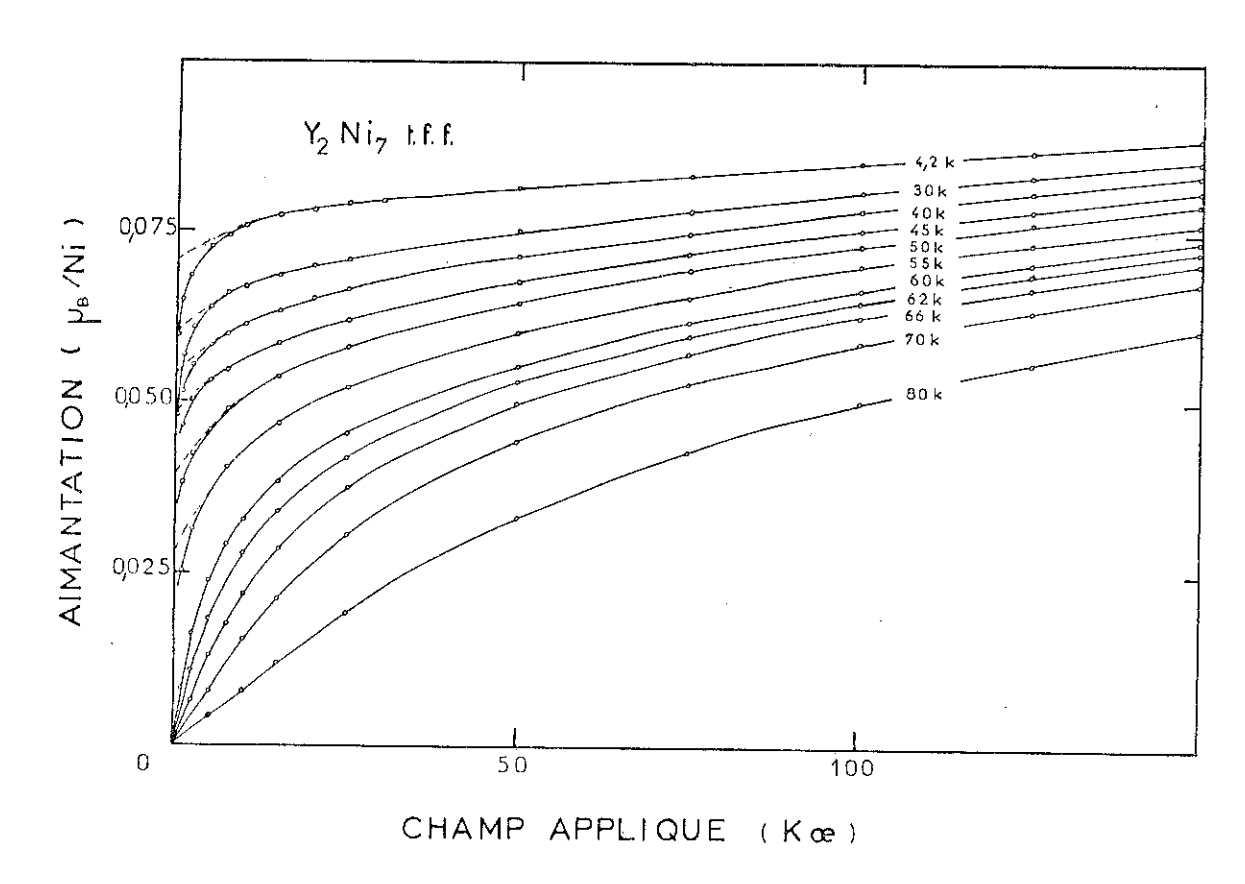


Figure 15 : Y_2Ni_7 à comportement très faible ferromagnétique. Variations isothermes de l'aimantation.

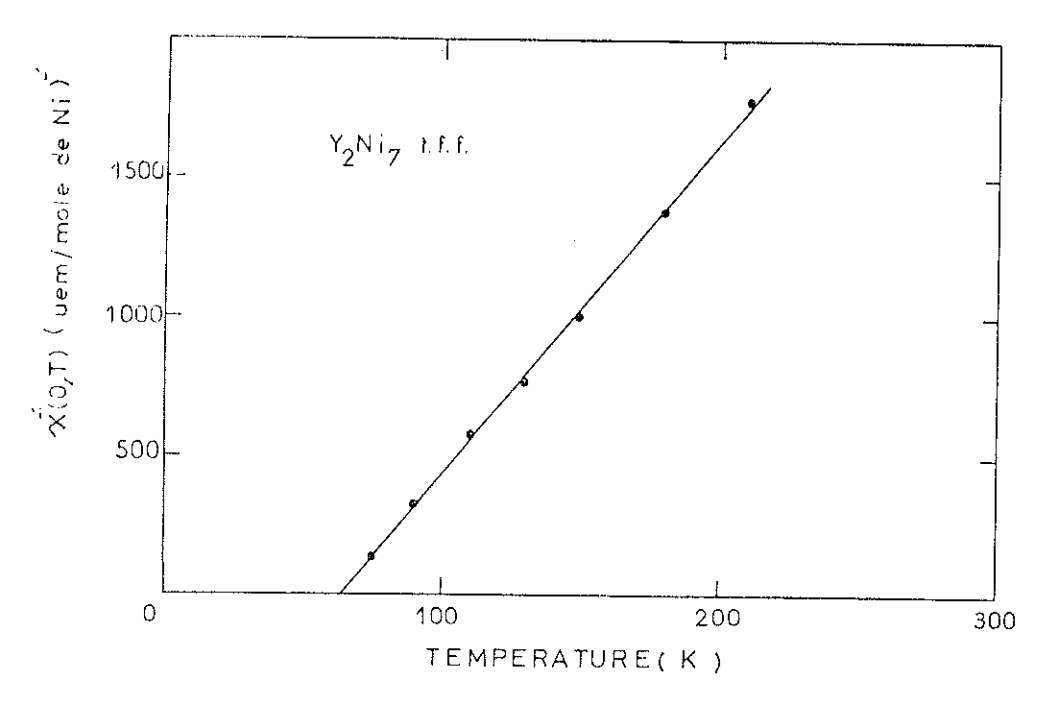


Figure 16 : $^{Y}2^{Ni}7$ à comportement très faible ferromagnétique. Variation thermique de l'inverse de la susceptibilité paramagnétique.

III-2-1 - Composé Y2Ni7 à comportement très faible ferromagnétique (t.f.f.)

a - Mesures d'aimantation et de susceptibilité

Les courbes représentant les variations isothermes de l'aimantation en fonction du champ sont portées sur la figure 15. On observe une forte dépendance de l'aimantation en fonction du champ correspondant à une susceptibilité de $4,2.10^{-4}$ u.e.m./mole de Ni à 4,2 K et dans 150 kOe. Les isothermes ne peuvent être analysées à l'aide de tracés de Arrott, car les variations de M^2 en fonction de $\frac{H}{M}$ présentent une courbure négative à toute température. Ce composé ne peut donc pas s'analyser dans un modèle de champ moléculaire.

De l'étude des autres composés yttrium-nickel, et en particulier de celle d'un monocristal de YNi $_3$, l'énergie d'anisotropie magnéto-cristalline peut être négligée dès que le champ est supérieur à 15 kOe. L'aimantation spontanée est obtenue par extrapolation en champ interne nul de la variation de l'aimantation avec le champ, obtenue au-dessus de 15 kOe, et en conservant la courbure mesurée sous ce champ. L'aimantation spontanée ainsi déduite s'annule à 58 K, température de Curie du composé. Sa variation thermique est portée sur la figure 20. A 0 K, elle atteint 0,070 \pm 0,003 $\mu_{\rm B}/{\rm Ni}$. Dans le domaine paramagnétique l'inverse de la susceptibilité varie linéairement avec la température jusqu'à 220 K (figure 16).

b - Chaleur spécifique et résistivité électrique

La chaleur spécifique du composé $Y_2 \rm Ni_7$, à comportement très faible ferromagnétique, a été mesurée entre 1,5 et 300 K. Nous avons porté sur la figure 17 les points expérimentaux. On n'observe pas d'anomalie de chaleur spécifique au passage de la température de Curie. Les contributions électronique et de réseau à la chaleur spécifique ont été déterminées de façon à rendre compte de la variation thermique expérimentale au-dessus de 80 K. Le meilleur accord a été obtenu avec une température de Debye $\Theta_{\rm D}=315$ K et un coefficient électronique $\gamma=0.018$ jmole $^{-1}$ K $^{-2}$. Ce coefficient permet de rendre compte de la variation de la chaleur spécifique à très basse température. La différence, en dessous de $T_{\rm C}$ (58 K) entre la courbe calculée et les points expérimentaux met en évidence une très faible contribution magnétique dont l'entropie à la température d'ordre est :

$$S_m = 4 \text{ Jmole}^{-1} \text{ K}^{-1}$$
.

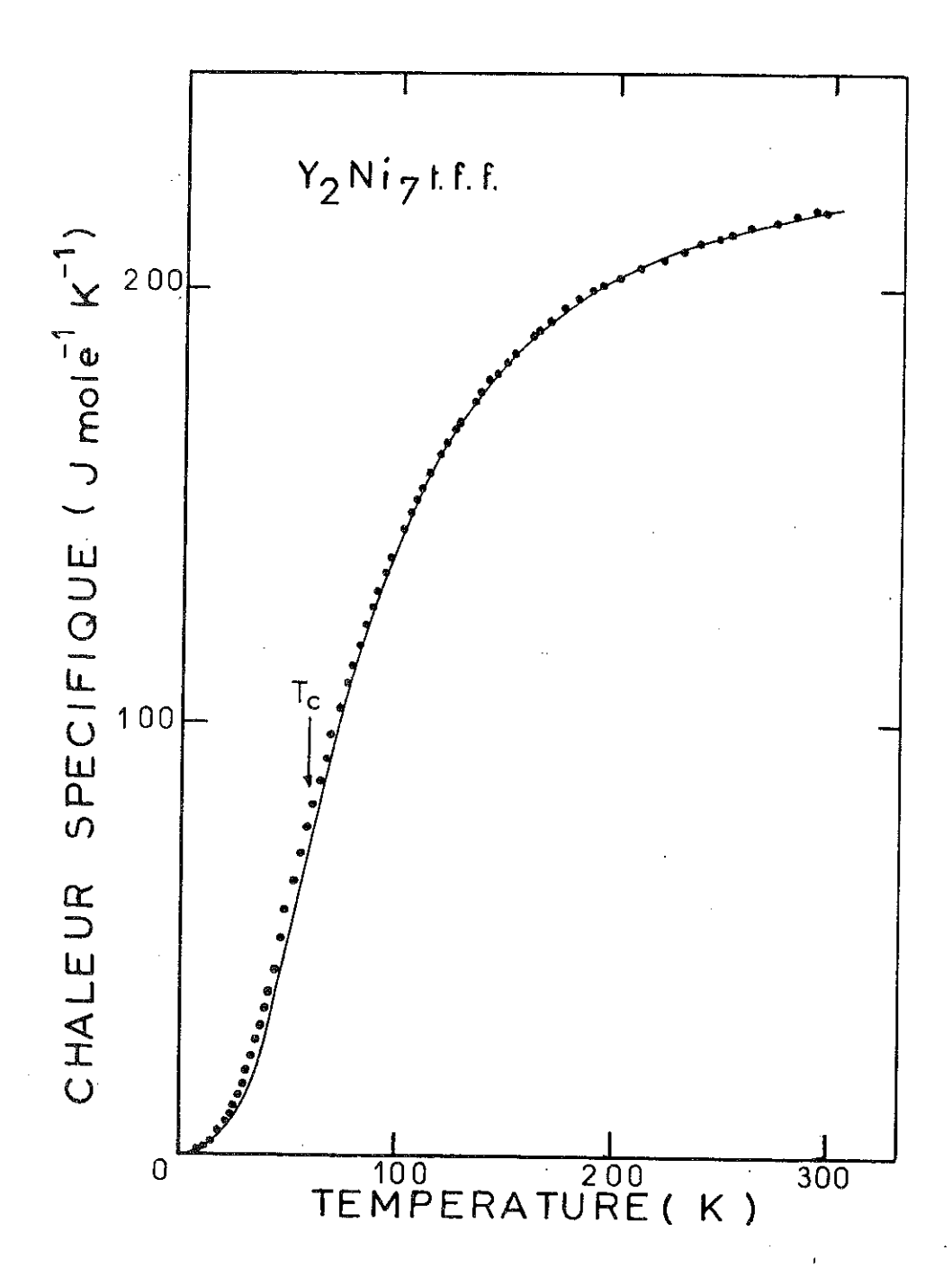
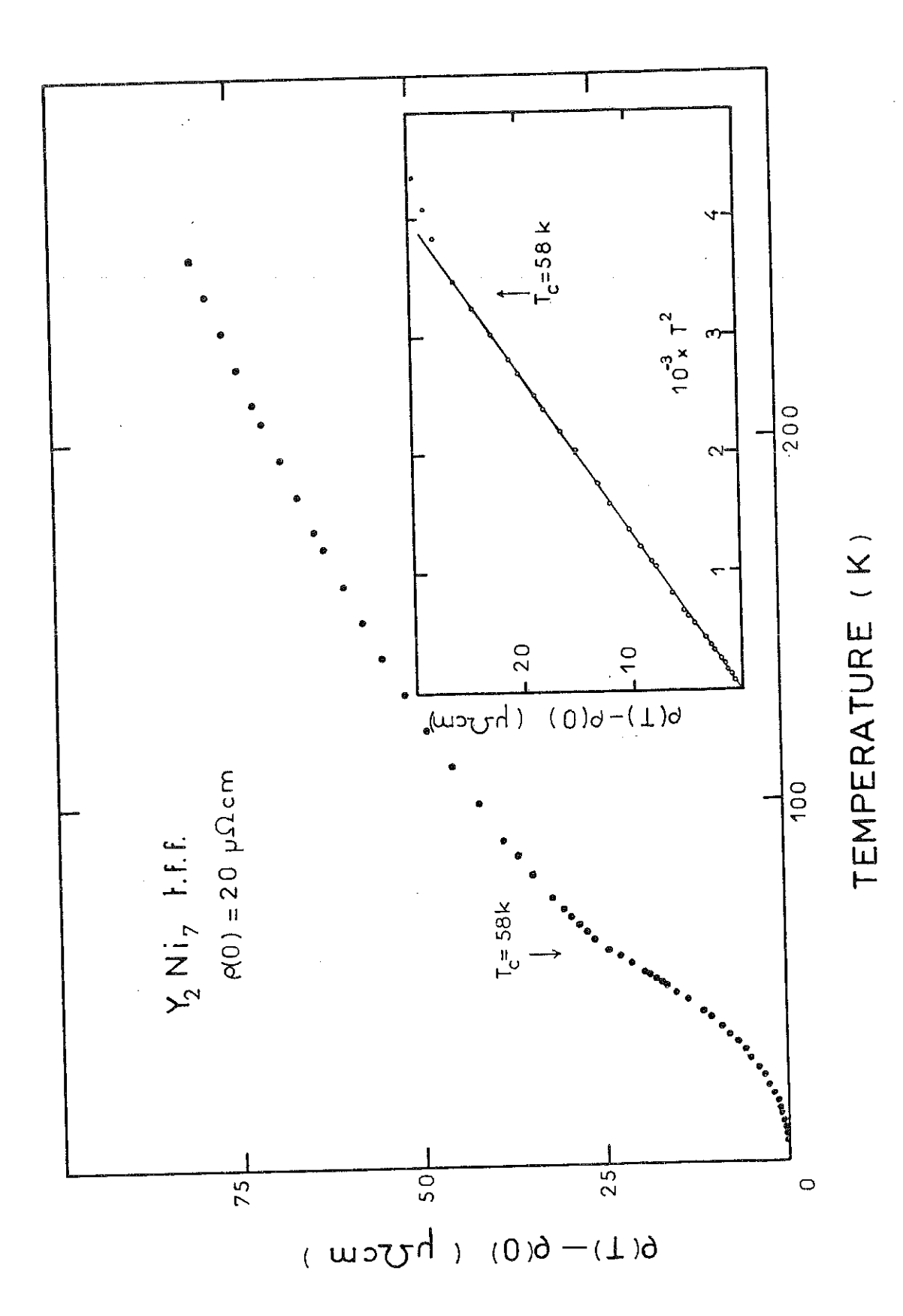


Figure 17: Y₂Ni₇ à comportement très faible ferromagnétique.

Variation thermique de la chaleur spécifique.

Les mesures expérimentales sont figurées par les points.

La courbe en trait continu représente les contributions électronique et de réseau.



L'encart montre la variation de la résistivité en fonction du carré de la température : $r_2 Ni_\gamma$ t.f.f. Variation thermique de la résistivité. en dessous de $T_{\rm c}$.

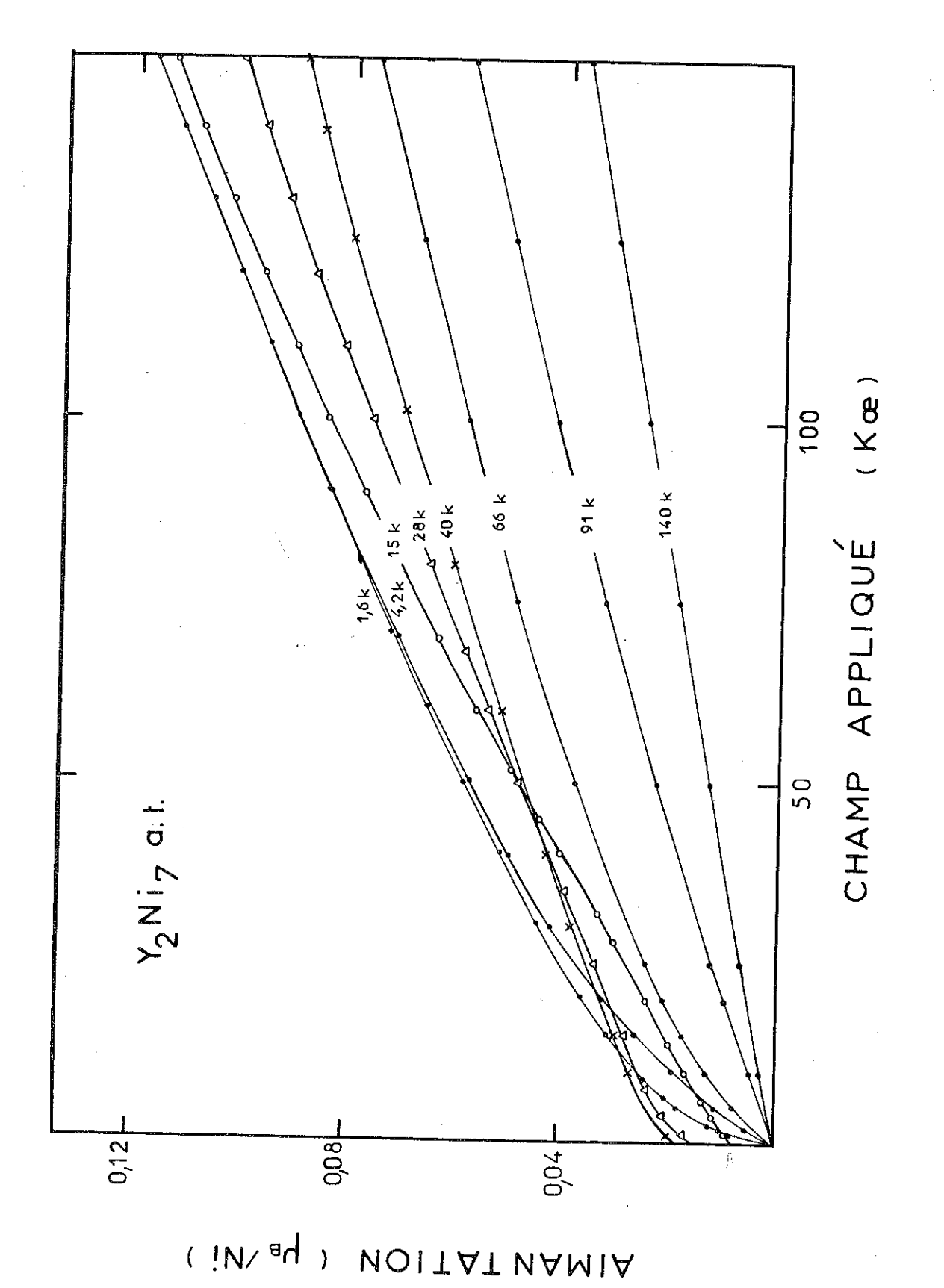


Figure 19: Y2Ni7 à aimantation thermique. Variations isothermes de l'aimantation.

La variation thermique de la résistivité entre 4,2 et 300 K est portée sur la figure 18. Un changement de pente est observé à la température d'ordre. En dessous de cette température, la variation thermique de la résistivité est proportionnelle au carré de la température (encart figure 18). Le coefficient B de cette variation vaut $B = 0.7.10^{-8} \Omega$ cm K^{-2} .

III-2-2 - Composé Y2 Ni7 présentant une aimantation thermique (a.t.)

a - mesures d'aimantation et de susceptibilité

Ce composé a un comportement très particulier. Les courbes les plus caractéristiques des variations isothermes de l'aimantation avec le champ sont représentées sur la figure 19. Comme le composé Y₂Ni₇ présentant un très faible ferromagnétisme, lorsque la température décroît, une aimantation spontanée apparaît à $T_c = 58$ K. Cette aimantation spontanée est cependant plus faible, alors que la susceptibilité superposée est plus forte. La variation thermique de l'aimantation spontanée est portée sur la figure 20. Lorsque la température diminue, l'aimantation spontanée croît, passe par un maximum vers $T_{
m M}$ = 40 K, puis décroît pour s'annuler à T_s = 7 K. Au-dessous de T_s , les courbes d'aimantation sont semblables à celles observées au-dessus de T. Dans le domaine de température où l'aimantation spontanée existe, c'est-àdire entre $T_{\rm s}$ et $T_{\rm c}$, on observe également une très forte dépendance de l'aimantation avec le champ ; de plus, entre $T_{_{\mathrm{S}}}$ et 30 K, la variation de l'aimantation avec le champ change de concavité. En particulier, la courbe tracée à 15 K présente une légère concavité positive entre 10 et 40 kOe (figure 19). La valeur maximale de l'aimantation spontanée, à $T_{\rm M},$ est de 0,02 $\mu_{\rm B}/{\rm Ni}$, alors qu'elle atteint 0.055 $\mu_{\rm B}/{\rm Ni}$ à la même température, dans le composé qui présente un très faible ferromagnétisme.

A 1,6 K, la susceptibilité initiale est de 6.10^{-2} u.e.m./mole de Ni. Elle décroît lorsque la température croît. A $T_{\rm s}=7$ K, sa valeur n'est plus que de 9.10^{-3} u.e.m./mole de Ni. Dans le domaine ordonné, la susceptibilité initiale superposée à l'aimantation spontanée est du même ordre de grandeur ; elle croît lorsque la température s'approche de $T_{\rm c}$. Dans le domaine paramagnétique l'inverse de la susceptibilité ne varie pas linéairement avec la température (figure 21).

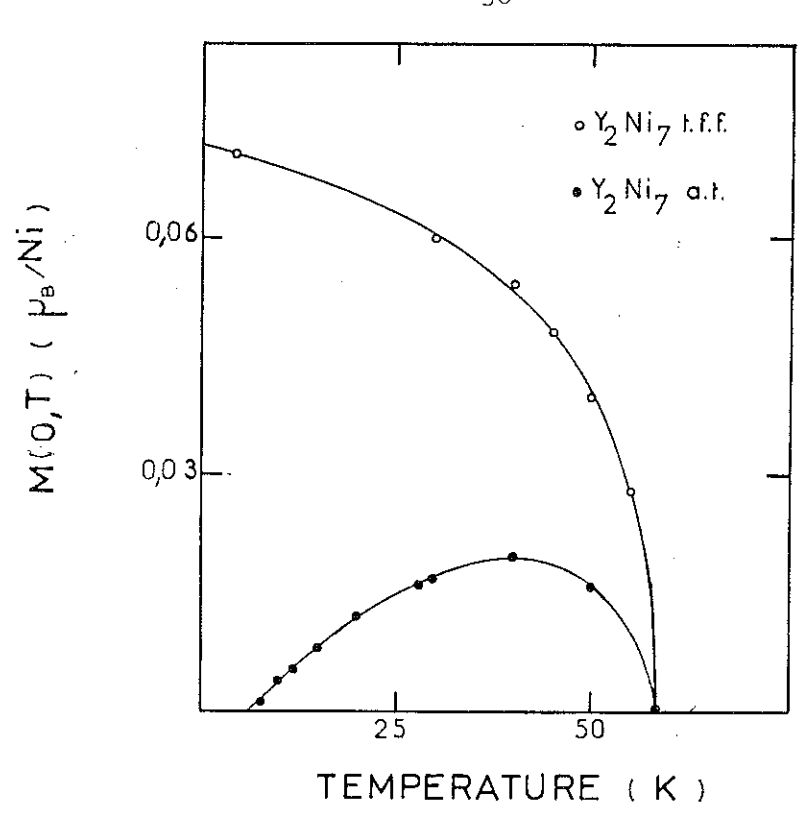
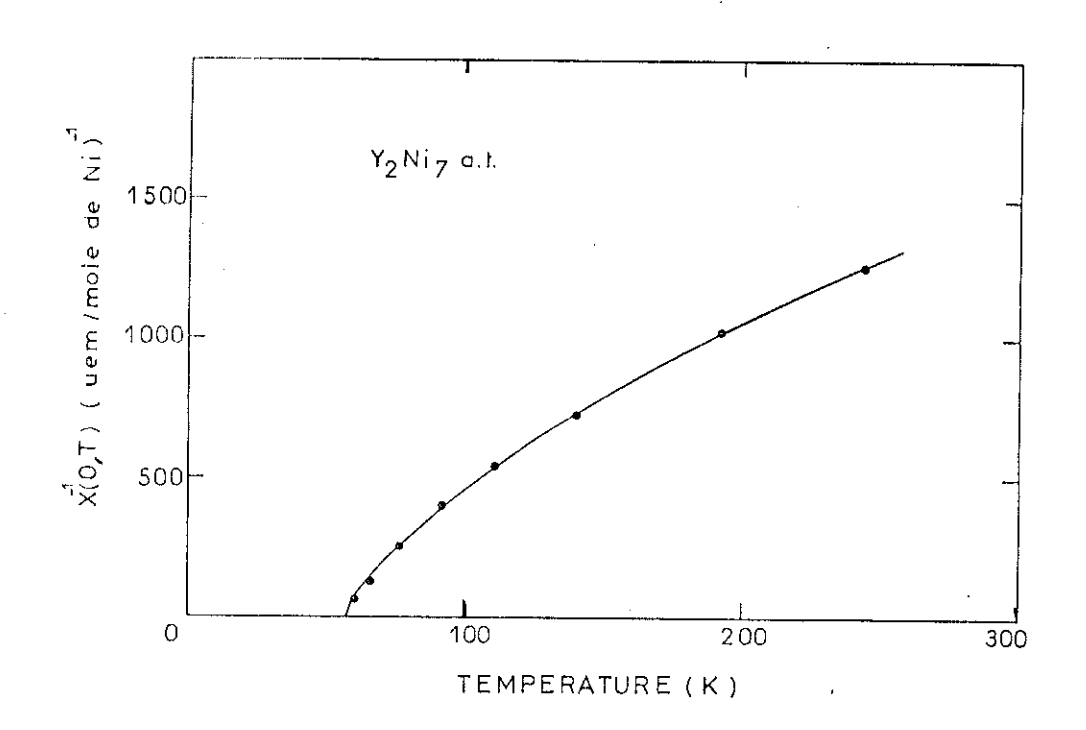


Figure 20 : Variation thermique de l'aimantation spontanée des composés ${}^{Y}2^{N}i_{\,7}$ t.f.f. et ${}^{Y}2^{N}i_{\,7}$ a.t.



<u>Figure 21</u> : Y_2Ni_7 a.t. Variation thermique de l'inverse de la susceptibilité paramagnétique.

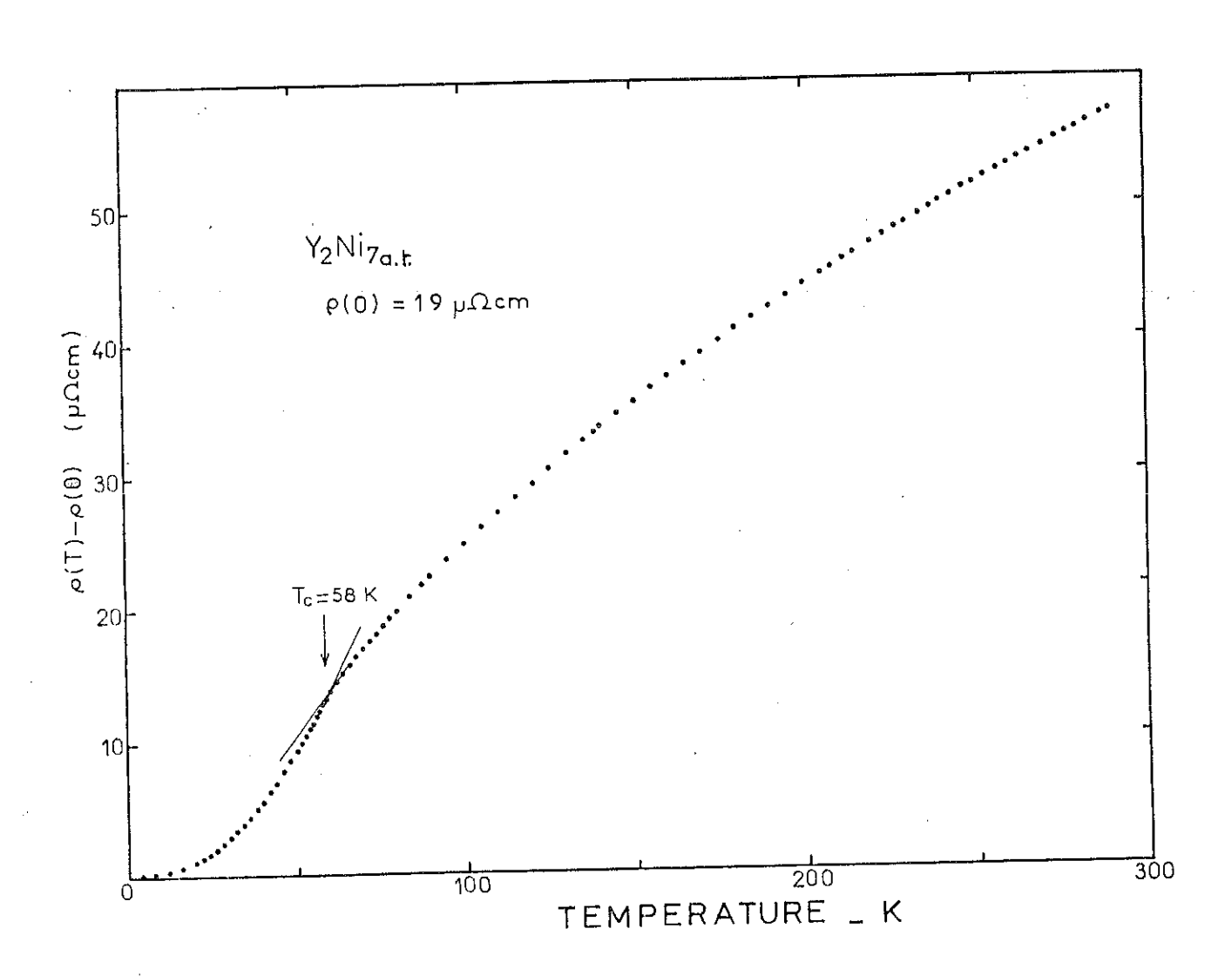


Figure 22 : Y2Ni7 a.t. Variation thermique de la résistivité électrique.

Figure 23 : Y₂Ni₇ a.t. Variation de la résistivité en fonction du carré de la température en dessous de T_c.

L'encart représente le détail de cette variation pour les températures inférieures à 15 K.

b - Résistivité

La variation thermique de la résistivité entre 1,6 K et 300 K est portée sur la figure 22. La résistivité résiduelle est de 19 $\mu\Omega$ cm. A la température ambiante, c'est-à-dire dans le domaine paramagnétique $\rho(T)$ - $\rho(o)$ est inférieure à celle du composé Y_2Ni_7 t.f.f. Seule une comparaison qualitative peut être effectuée, car en raison du caractère uniaxe de la structure, la résistivité est anisotrope et les différences d'orientation de la texture par rapport au courant électrique peuvent conduire à des différences notables dans les mesures. La variation thermique de la résistivité présente un changement de pente à la température de Curie. Cependant la réduction de la résistivité due à l'ordre magnétique est plus faible que dans Y_2 Ni $_7$ t.f.f. Nous avons porté sur la figure 23 la variation de $\rho(T)$ - $\rho(o)$ en fonction de T^2 entre 1,6 K et 70 K. A la différence du composé Y2Ni7 t.f.f., cette variation n'est plus linéaire en dessous de T_c pour Y_2Ni_7 a.t. Cependant, entre 1,6 K et environ 11 K, la variation est pratiquement linéaire, avec une pente, $B = 2,5.10^{-9} n \text{ cm K}^{-2}$. Pour $Y_2 \text{Ni}_7$, t.f.f., le coefficient B est plus élevé, $B = 7.10^{-9} \Omega \text{cm K}^{-2}$. Entre 40 K, température qui correspond approximativement au maximum de l'aimantation spontanée, et T_c, température de Curie, une variation de la résistivité en T² est également observée, avec un coefficient $B = 4, 1.10^{-9} \Omega \text{cm K}^{-2}$.

En conclusion, deux régimes de variation en T^2 de la résistivité sont observés en dessous de T_c : le régime à très basse température est caractérisé par le coefficient B le plus faible, c'est-à-dire par des fluctuations magnétiques moins importantes, donc par un magnétisme plus faible. Ce résultat est en accord aussi bien avec la variation thermique de l'aimantation spontanée de Y_2Ni_7 a.t. qu'avec la différence d'aimantation spontanée observée entre Y_2Ni_7 t.f.f. et Y_2Ni_7 a.t.

III-3 - COMPOSE YNi3

a - Mesures d'aimantation et de susceptibilité

Au-dessous de 30 K, YNi₃ présente un comportement caractéristique d'un très faible ferromagnétique. L'aimantation est toujours faible et on remarque une forte dépendance de celle-ci en fonction du champ. Les mesures d'aimantation effectuées à 4,2 K sur le monocristal montrent que l'anisotropie est faible dans ce composé. Le plan de base est de facile aimantation. Selon l'axe sénaire, de plus difficile aimantation, un champ de 20 k0e est suffisant pour aligner les moments dans

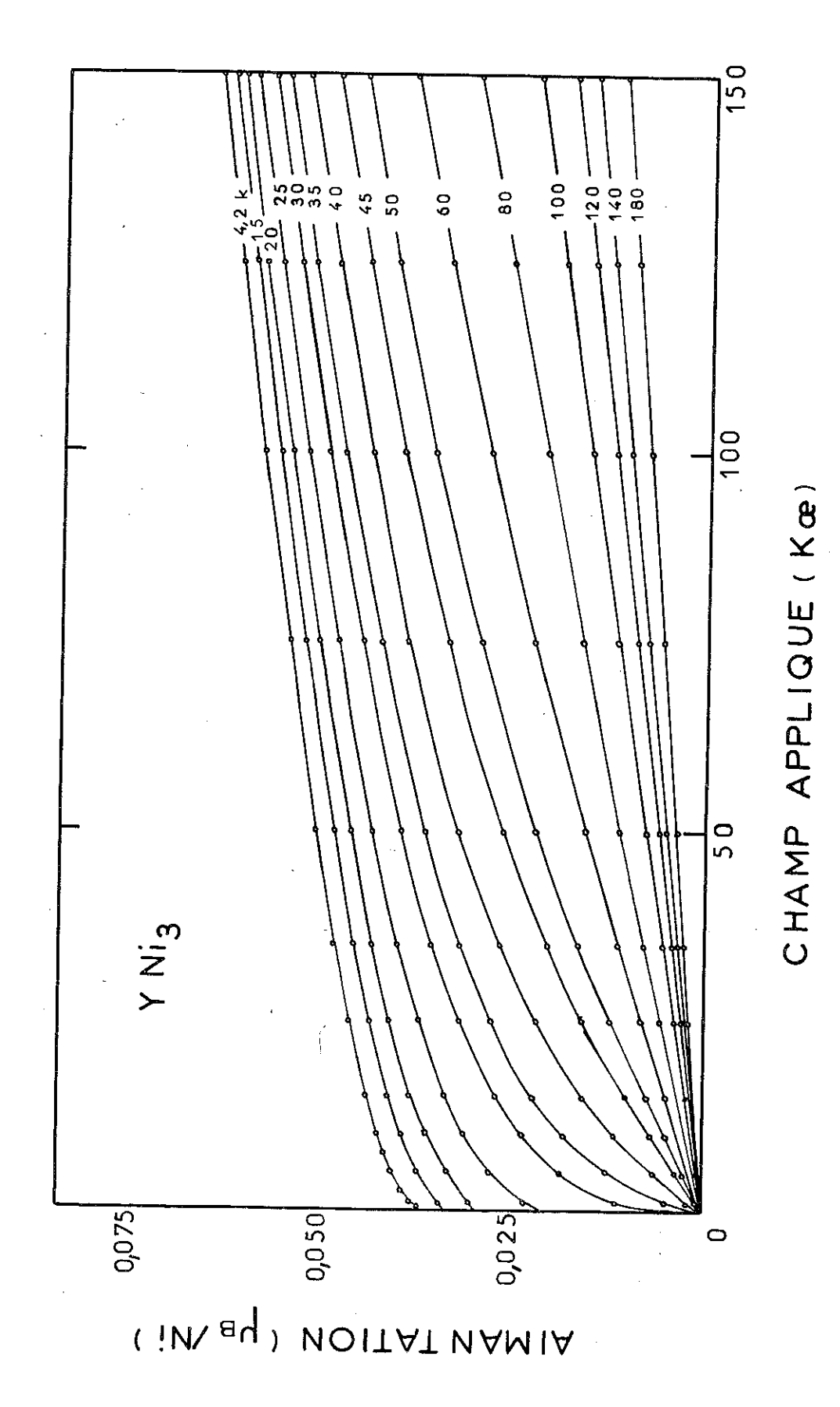


Figure 24 : YNi3 - Variations isothermes de l'aimantation.

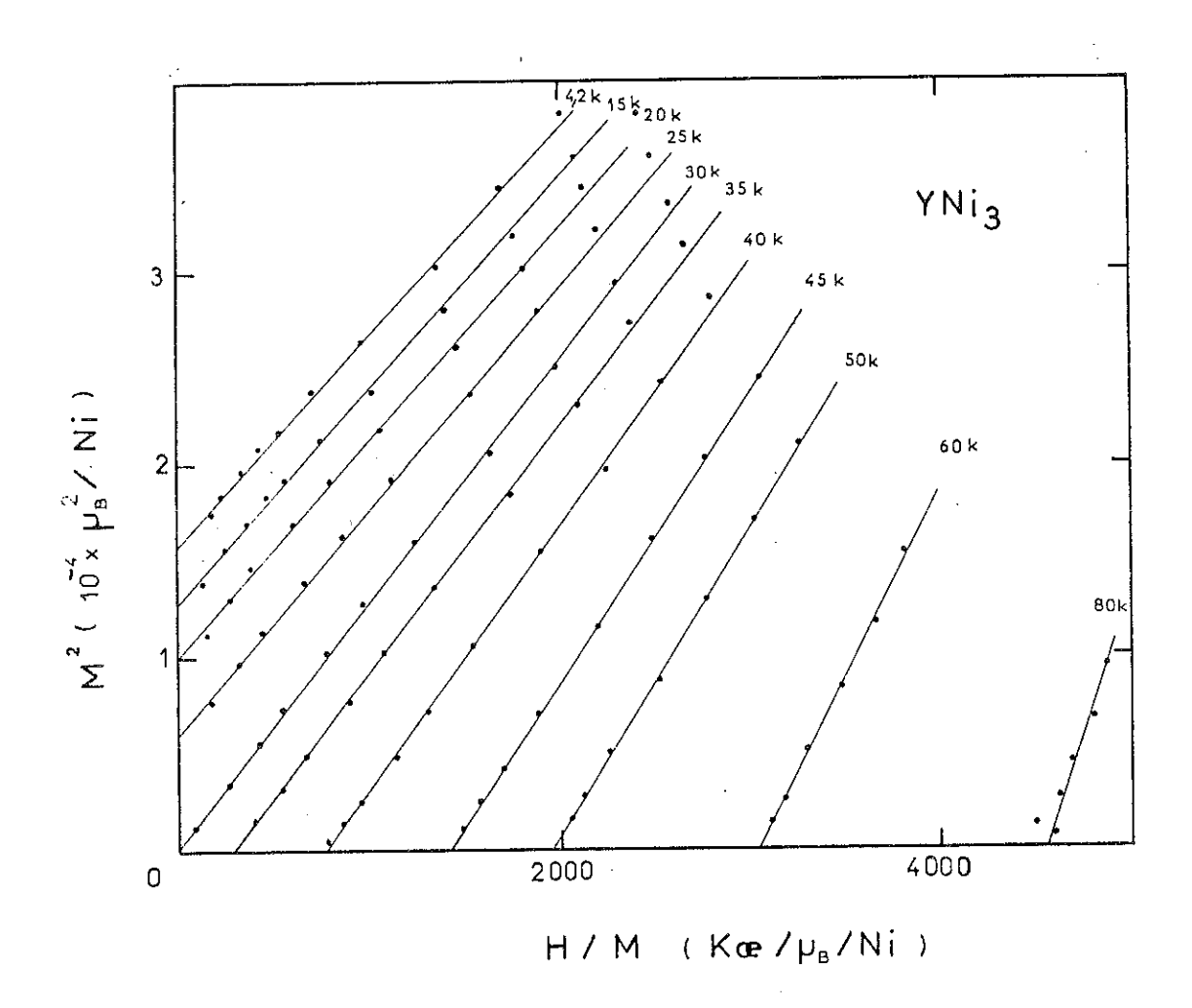


Figure 25 : YNi 3 - Tracés de Arrott entre 4,2 K et 80 K.

la direction du champ. Cependant au-dessus de ce champ, une très faible anisotropie de l'aimantation persiste (0,005 $\mu_{\textrm{R}}/\textrm{Ni}$ sous 25 kOe). Les variations thermiques de l'aimantation ont été étudiées sur un échantillon polycristallin de masse plus importante, la masse du monocristal n'étant que de 58 mg. Pour nous affranchir de l'anisotropie, les variations isothermes de l'aimantation n'ont été analysées qu'au-dessus de 15 kOe. Nous avons représenté sur la figure 24 quelques variations isothermes de l'aimantation du composé YNi3, en fonction du champ magnétique appliqué. A 4,2 K, sous 150 kOe, l'aimantation, qui atteint 0,068 $\mu_{\rm R}/{\rm Ni}$, n'est toujours pas saturée. La susceptibilité superposée correspondante est de 7,5.10⁻⁴ u.e.m./mole de Ni. Les tracés d'Arrott (figure 25) présentent une variation linéaire pour chaque isotherme, dans une large gamme de température. La pente de ces droites n'augmente que très légèrement avec la température. A 30 K, température de Curie du composé, l'isotherme passe par l'origine. En dessous de T_{c} l'aimantation spontanée de M(0,T) est déduite des tracés d'Arrott. La variation ${ t M}^2(0,T)$ en fonction de ${ t T}^2$ est représentée sur la figure 26. Elle est linéaire; M(0,0) déduit par extrapolation vaut 0,04 $\mu_{\rm B}/{\rm Ni}$.

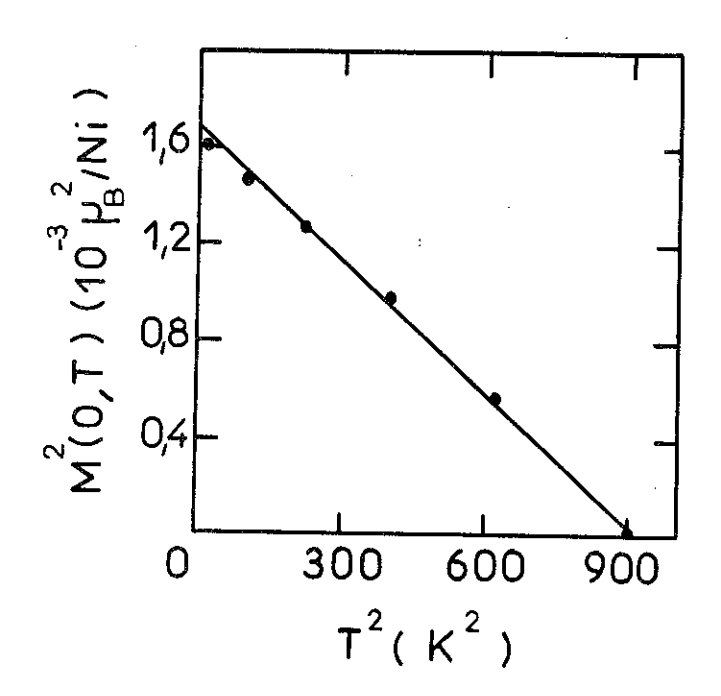


Figure 26 : YNi₃ - Variation du carré de l'aimantation spontanée en fonction du carré de la température.

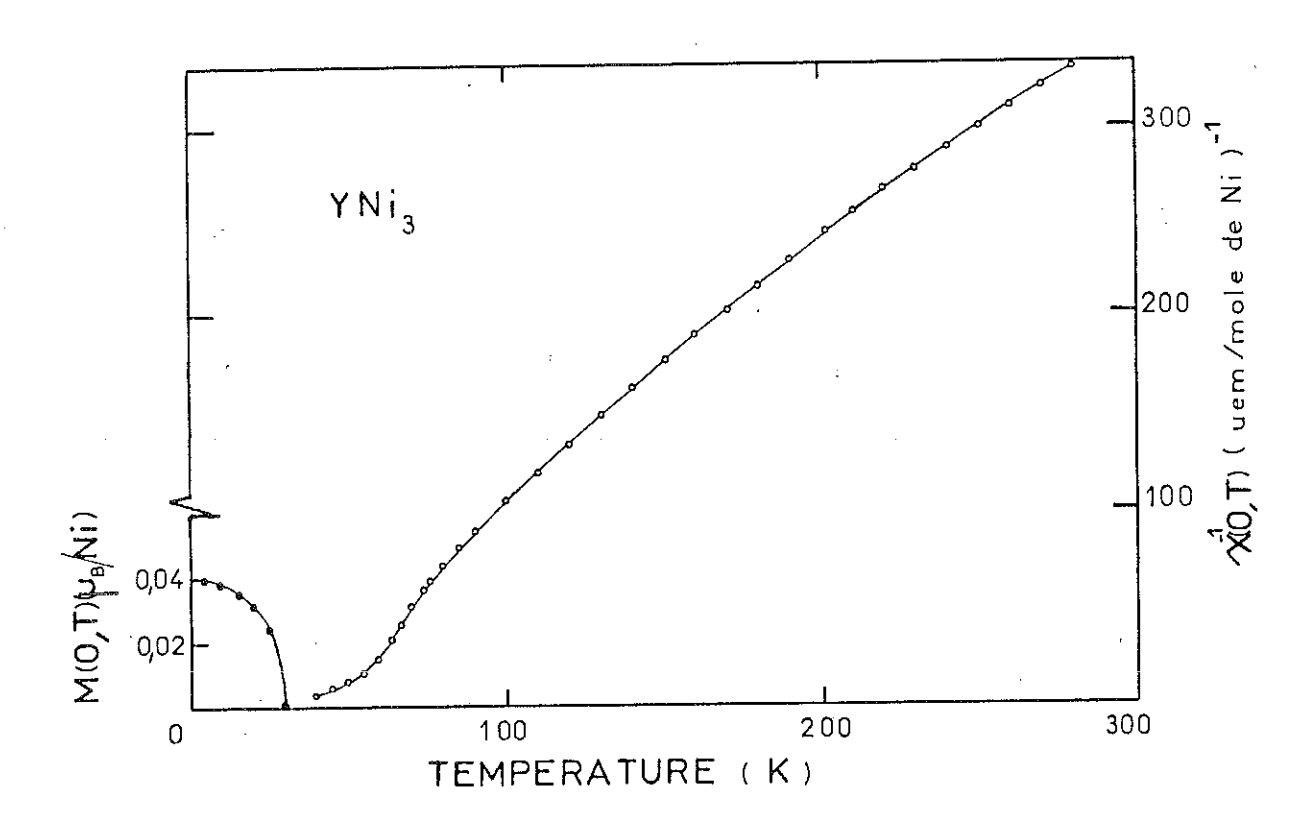


Figure 27 : YNi 3 - Variation thermique de l'aimantation spontanée et de l'inverse de la susceptibilité paramagnétique.

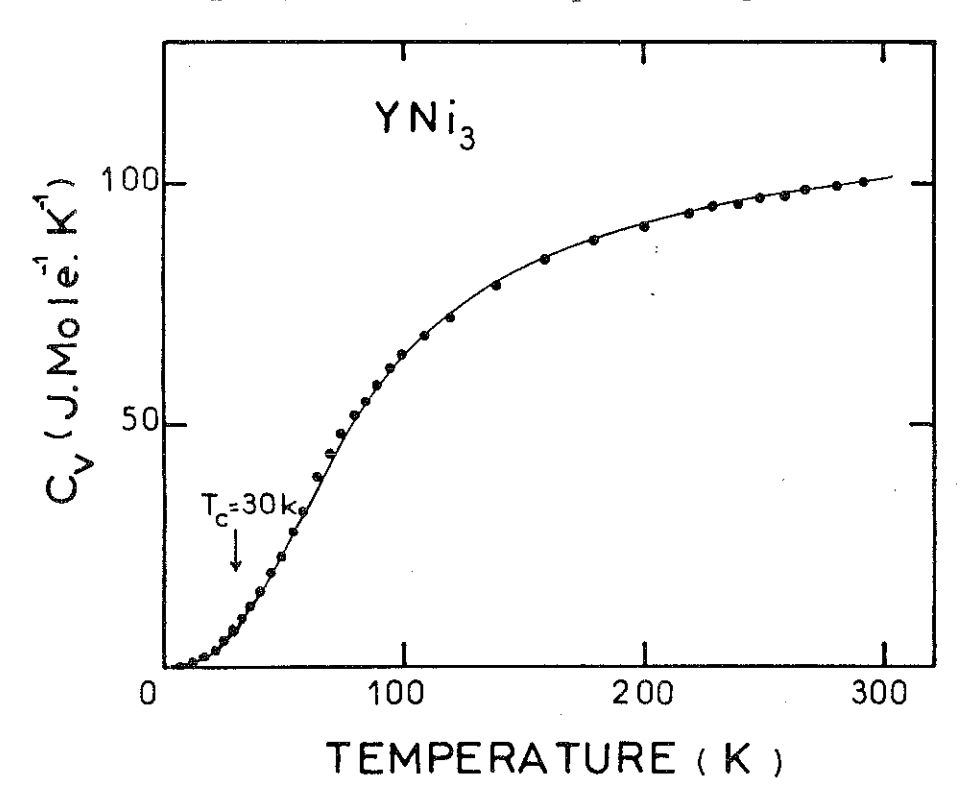
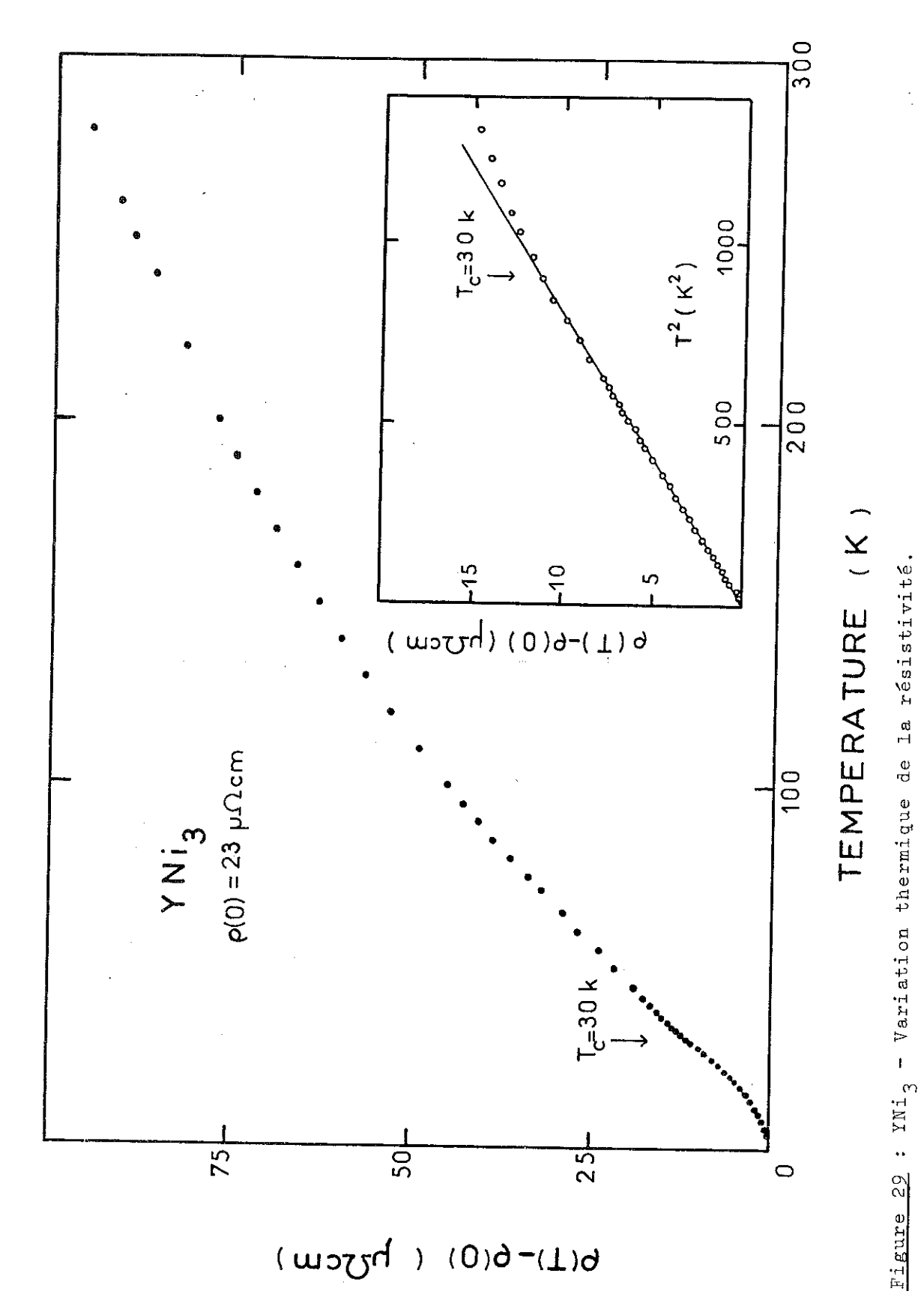


Figure 28 : YNi 3 - Variation thermique de la chaleur spécifique.

La courbe en trait continu représente les contributions électronique et de réseau.



L'encart représente la variation de la résistivité en fonction du carré de la = 30 K.température en dessous de $^{
m T}_{
m c}$

Au-dessus de 30 K, YNi₃ a un comportement paramagnétique. Nous avons porté sur la figure 27 la variation de l'inverse de la susceptibilité en fonction de la température, entre 30 et 300 K. Sa variation n'est pas linéaire.

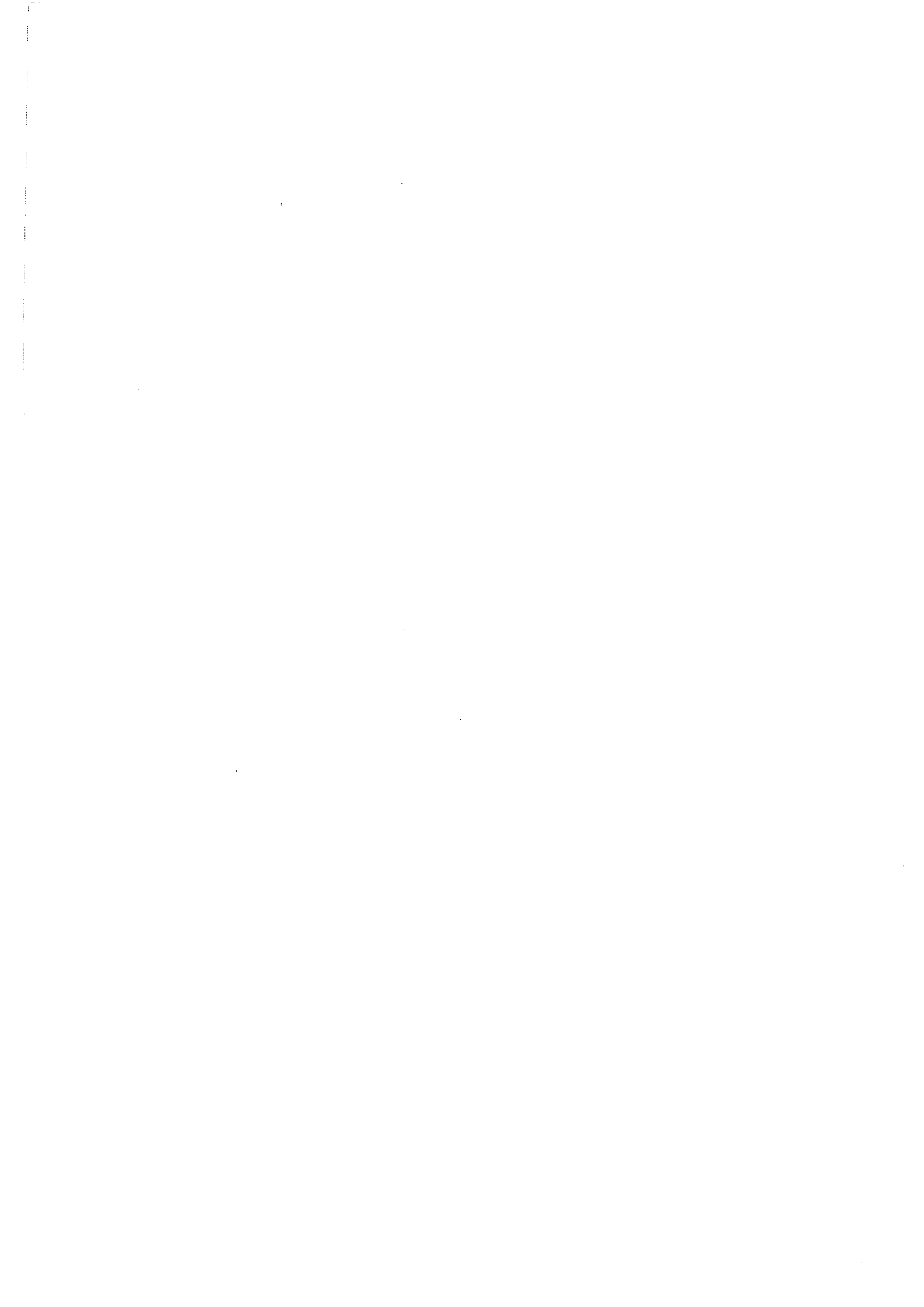
b - Chaleur spécifique et résistivité électrique

La variation thermique de la chaleur spécifique entre 1,5 et 300 K est portée sur la figure 28. Aucune anomalie n'est observée à la température de Curie, $T_c=30$ K. Nous avons analysé cette variation à l'aide des seules contributions électronique et de réseau. Un bon accord entre le calcul et les points expérimentaux est obtenu pour une température de Debye $\theta_D=320$ K et un coefficient électronique $\gamma=0.021$ J mole $^{-1}\text{K}^{-2}$. Aucune contribution magnétique à la chaleur spécifique n'est ainsi mise en évidence. Ce résultat est cohérent avec un modèle de très faible ferromagnétisme itinérant (22) qui prévoit une variation thermique de la contribution magnétique à la chaleur spécifique du type :

$$c_m = \frac{1}{2} \frac{M(0.0)^2 T}{X_0 T_c^2} \begin{bmatrix} \frac{3T^2}{T_c^2} - 1 \end{bmatrix}$$

Dans un tel modèle, la discontinuité de chaleur spécifique à T_c serait $C_m = 0,3$ J mole $^{-1}$ K $^{-1}$, valeur inférieure aux erreurs expérimentales.

Sur la figure 29, nous avons tracé la variation thermique de la résistivité. Une très faible discontinuité de la pente est encore observable à T_c . Le coefficient B de la variation en T^2 , observée en dessous de la température de Curie, atteint 1,3.10 $^{-8}$ Ω cm K $^{-2}$.



CHAPITRE IV

ÉTUDE DE LA DENSITÉ D'AIMANTATION DANS YNIZ

PAR DIFFRACTION DE NEUTRONS POLARISÉS

IV-1 - INTRODUCTION

Afin d'obtenir une carte de la densité d'aimantation dans YNi dont l'aimantation moyenne est très faible (0,04 μ_B/Ni à 4,2 K), nous avons réalisé une expérience de diffraction de neutrons polarisés sur un échantillon monocristallin. Une telle expérience permet d'accéder à la quantité γ , rapport du facteur de structure magnétique F_M et du facteur de structure nucléaire F_N :

$$\gamma = \frac{F_{M}}{F_{N}}.$$

Pour calculer le facteur de structure magnétique, il est donc nécessaire de connaître le facteur de structure nucléaire. La structure de YNi3, isomorphe de PuNi3, est connue. Mais le calcul des facteurs de structure nucléaire nécessite la connaissance précise de la longueur de Fermi, de la position, et du facteur de température de chaque atome ainsi que des éventuels défauts de structure : lacunes ou substitutions d'atomes. Nous avons donc réalisé une expérience de diffraction de neutrons non polarisés, afin d'affiner la structure cristallographique de YNi3.

IV-2 - AFFINEMENT DE LA STRUCTURE CRISTALLOGRAPHIQUE

Cette expérience a été réalisée sur le spectromètre 4 cercles D9 de l'Institut Laue-Langevin. La longueur d'onde utilisée était λ = 0,834 Å. Un filtre d'erbium a été interposé entre l'échantillon et la source afin d'éliminer la contribution de la longueur d'onde moitié $\lambda/2$. Nous avons utilisé un monocristal de YNi $_{3}$ dont la forme est celle d'une demi-sphère de diamètre 2,5 mm. Le plan de la demi-sphère est perpendiculaire à l'axe c de la maille hexagonale. Nous avons mesuré 515 reflexions, correspondant à des valeurs de $\frac{\sin \theta}{\lambda}$ inférieures à 0,7 Å⁻¹. La correction du facteur de Lorentz est automatiquement effectuée par le programme d'intégration des raies. L'yttrium et le nickel absorbent peu les neutrons. Cependant, le nickel provoque une diffusion incohérente de nature isotopique non négligeable (23), qui contribue à augmenter l'absorption apparente de l'échantillon. Le coefficient linéaire d'absorption totale vaut ainsi : $\mu = 1,11$ cm⁻¹. La correction d'absorption I = $I_{\text{mes}} \exp(\mu \overline{I}_{\text{hkl}})$ sur les intensités intégrées mesurées I_{mes} , nous a amené à calculer pour chaque réflexion le parcours moyen \mathbb{T}_{hkl} , des neutrons dans le cristal.

L'affinement de la structure réalisé par la méthode de moindres carrés consiste à minimiser la quantité ϕ :

$$\phi = \sum_{hkl} \omega_{h,k,l} \left[I_{h,k,l} - K | F_{h,k,l} |^{2} Y_{h,k,l} \right]$$

où $I_{h,k,l}$ est l'intensité de la raie observée, corrigée du Facteur de Lorentz et de l'absorption;

 $\omega_{\rm h,k,l} = \frac{1}{\sigma_{\rm hkl}^2}$ représente le poids affecté à la raie, $\sigma_{\rm hkl}^2$ étant sa variance,

Fh,k,1 est le facteur de structure,

Y_{h,k,l} est un facteur qui corrige le phénomène d'extinction, K est un facteur d'échelle.

Facteur de structure

Dans le composé YNi $_3$, (groupe d'espace $R\overline{3}m$), les positions des atomes, décrites dans une maille triple hexagonale, sont les suivantes :

$$Y_{I}$$
 en 0, 0, 0
Ni_I en 0, 0, $\frac{1}{2}$

$$Y_{II}$$
 en 0, 0, z_3 et 0, 0, \bar{z}_3

$$\mathtt{Ni}_{\mathtt{TT}}$$
 en 0, 0, $\mathtt{z}_{\mathtt{l}}$ et 0, 0, $\overline{\mathtt{z}}_{\mathtt{l}_{\mathtt{l}}}$

Ni_{III} en
$$x_5$$
, \bar{x}_5 , z_5 ; x_5 , $2x_5$, z_5 ; $2\bar{x}_5$, \bar{x}_5 , z_5
 \bar{x}_5 , x_5 , \bar{z}_5 ; \bar{x}_5 , $2\bar{x}_5$, \bar{z}_5 ; $2x_5$, x_5 , \bar{z}_5 .

A ces positions, il faut rajouter les translations non élémentaires de la maille triple hexagonale :

$$0, 0, 0; \frac{2}{3}, \frac{1}{3}; \frac{1}{3}; \frac{2}{3}, \frac{2}{3}$$

Le facteur de structure s'écrit :

$$\begin{split} F_{\text{h,k,l}} &= 3 \left\{ b_{\text{Y}_{\text{I}}} T_{\text{Y}_{\text{I}}} + b_{\text{Ni}_{\text{I}}} T_{\text{Ni}_{\text{I}}} \cos \left(\Pi 1 \right) + 2b_{\text{Y}_{\text{II}}} T_{\text{Y}_{\text{II}}} \cos \left(2\Pi 1 z_{3} \right) \right. \\ &+ 2b_{\text{Ni}_{\text{II}}} T_{\text{Ni}_{\text{II}}} \cos \left(2\Pi 1 z_{4} \right) + 2b_{\text{Ni}_{\text{III}}} \left[T_{\text{Ni}_{\text{III}}} T_{\text{Ni}_{\text{III}}} \cos 2\Pi \left((h-k) x_{5} + 1 z_{5} \right) \right. \\ &+ \left. T_{\text{Ni}_{\text{III}}} \cos 2\Pi \left((h+2k) x_{5} + 1 z_{5} \right) + T_{\text{Ni}_{\text{III}}} \cos 2\Pi \left((-2h-k) x_{5} + 1 z_{5} \right) \right] \right\} \end{split}$$

où les b_i sont les longueurs de Fermi et les T_i les facteurs de température qui rendent compte de l'agitation thermique des atomes.

Facteurs de température

Compte tenu de la symétrie de la structure, nous avons utilisé des facteurs de température anisotropes. Ces facteurs s'écrivent, de la manière la plus générale, sous la forme :

$$T = exp \left[-(\beta_{11}h^2 + \beta_{22}k^2 + \beta_{33}l^2 + 2\beta_{12}hk + 2\beta_{23}kl + 2\beta_{31}lh) \right]$$

Le nombre de coefficients indépendants eta_{ij} peut être réduit en tenant compte de la symétrie de chacun des sites. Pour cela, nous avons utilisé la méthode proposée par Levy (24).

Pour les sites Y_I et Ni_I (symétrie ponctuelle $\bar{3}m$) et les sites Y_{II} et Ni_{II} (symétrie ponctuelle 3m), le facteur de température se réduit à :

$$T = \exp \left[-\beta_{11} (h^2 + k^2 + hk) - \beta_{33} 1^2 \right]$$

Pour le site cristallographique $Ni_{\overline{III}}$ (symétrie ponctuelle m), trois types de positions sont inéquivalentes pour le facteur de température :

$$Ni_{III}^{1}: x, \bar{x}, z$$
 $Ni_{III}^{2}: x, 2x, z$
 $Ni_{III}^{3}: 2\bar{x}, \bar{x}, z$

Les trois facteurs de température à considérer sont alors :

$$T_{\text{Ni}_{\text{III}}}^{1} = \exp -\left[\beta_{11}(h+k)^{2} - \beta_{12}hk + \beta_{33}l^{2} + \beta_{23}l(h-k)\right]$$

$$T_{\text{Ni}_{\text{III}}}^{2} = \exp -\left[\beta_{11}h^{2} + \beta_{12}(k^{2}+hk) + \beta_{33}l^{2} + \beta_{23}l(h+2k)\right]$$

$$T_{\text{Ni}_{\text{III}}}^{3} = \exp -\left[\beta_{11}k^{2} + \beta_{12}(h^{2}+hk) + \beta_{33}l^{2} - \beta_{23}l(2h+k)\right]$$

$$Extinction (25-27)$$

Un cristal réel est en général trop gros pour que la théorie cinématique de la diffraction s'applique sans précautions. On introduit alors la notion d'extinction basée sur un modèle de cristal mosaïque. Dans un tel modèle, le cristal est décrit comme un ensemble de petits blocs, suffisamment petits pour qu'à l'intérieur des blocs, le terme correctif à la théorie cinématique, extinction primaire, soit faible. Ces petits blocs sont légèrement désorientés les uns par rapport aux autres. Lorsque deux blocs diffractent en même temps, le deuxième reçoit le faisceau incident diminué de ce qui a été diffracté par le premier bloc, ce qui correspond à l'extinction secondaire. Les petits blocs provoquent de plus un élargissement du faisceau diffracté, ce qui donne une contribution à l'extinction secondaire liée à la taille des blocs. Le cristal mosaïque est donc décrit à l'aide de deux paramètres, t, la taille des blocs, et g, relié à la mosaïque η du cristal par g = $\frac{1}{2\sqrt{\Pi}\eta}$. Ces deux paramètres permettent d'exprimer l'extinction secondaire. L'extinction primaire est décrite à l'aide du seul paramètre t. L'extinction donne lieu à une diminution de l'intensité mesurée, qui peut se traduire à l'aide du facteur Y (cf. p. 48) inférieur ou égal à 1. Pour le cristal de YNi 3 utilisé, l'extinction est faible, et un développement au premier ordre est suffisant. Il conduit aux formules suivantes :

$$\underline{Y} = 1 - \underline{x}_p - \underline{x}_s$$

où $x_p = \frac{2}{3} Q \frac{t^2 \sin 2\theta}{\lambda}$ est l'extinction primaire,

et
$$x_s = \frac{1}{\sqrt{2}} Q \bar{T}_{hkl} \left[\frac{\lambda \cdot 10^{-l_4}}{t \cdot \sin 20} + (\frac{1}{\sqrt{2} \cdot g})^2 \right]^{-1/2}$$
 est l'extinction secondaire

avec Q =
$$\frac{\lambda^3 |F_{hkl}|^2}{V^2 \sin 2\theta}$$

 λ : longueur d'onde en $\overset{\circ}{A}$,

 F_{hkl} : facteur de structure en 10^{-12} cm,

v : volume de la maille en Å3,

Θ : angle de Bragg,

t : taille des blocs en μ ,

g: relié à la mosaïque : g = $\frac{1}{2\sqrt{\Pi}}$, η en radians,

 \bar{T}_{hkl} : distance moyenne de parcours des neutrons dans le cristal en cm

Les deux paramètres d'extinction à déterminer sont t et g.

Nous avons affiné les positions des atomes, la longueur de Fermi de l'yttrium, les facteurs de température et les paramètres d'extinction afin d'obtenir le meilleur accord entre les intensités mesurées et calculées. Le facteur de confiance obtenu

$$R = \frac{\sum |I_{obs} - I_{calc}|}{\sum I_{calc}} \quad vaut 3,7 \%.$$

Les résultats de l'affinement sont portés dans le tableau 5. La longueur de Fermi du nickel, utilisée dans cet affinement, est celle donnée par Bacon (26):

$$b_{Ni} = 1,03.10^{-12}$$
 cm.

La longueur de Fermi de l'yttrium obtenue après l'affinement vaut :

$$b_{Y} = 0.764 \pm 0.005 \cdot 10^{-12} \text{ cm}.$$

Elle est en bon accord avec celle obtenue par Bonnet (28). La valeur trouvée pour g correspond à une mosaïque de :

$$\eta = \frac{1}{2\sqrt{\pi}} = 2,08 \pm 0,27 \text{ minute d'arc.}$$

Suivant la classification proposée par Zachariasen (25) les valeurs obtenues pour les paramètres t et g montrent que l'extinction est faible, secondaire de type II, c'est-à-dire résultant principalement de la taille des blocs.

IV-3 - EXPERIENCE DE NEUTRONS POLARISES

IV-3-1 - Méthodes expérimentales

a - Appareillage

L'expérience de diffraction de neutrons polarisés a été réalisée à l'aide du diffractomètre D3 de l'Institut Laue-Langevin. Ce diffractomètre deux axes est installé près de la source de neutrons thermiques et permet de travailler à des longueurs d'onde comprises entre 0,7 et 1,2 A. Le schéma de principe de l'appareillage est représenté sur la figure 30. Le faisceau de neutrons non polarisés est diffracté par un monochromateur, qui a le double rôle d'extraire un faisceau de neutrons monocinétique et de le polariser. Dans notre cas, ce monochromateur était un cristal de cobalt-fer, dont on utilise la réflexion de Bragg (200) pour laquelle le rapport $\gamma = F_{M}/F_{N}$ est égal à +1. Un champ magnétique "polariseur" vertical rend le cristal polariseur monodomaine, ainsi celui-ci ne réfléchit plus que les neutrons d'un des deux états de spin. La polarisation est maintenue sur tout le trajet du faisceau incident par un champ "guide" d'une centaine d'Oersted. Le renversement du sens de la polarisation par rapport à l'aimantation de l'échantillon (flipping) est obtenu par retournement brusque (non adiabatique) du champ guide (29).

b - Principe de la mesure

Le principe de la mesure est de comparer les intensités diffractées dans les deux états de polarisation initiale du faisceau. Le rapport de ces deux quantités est le rapport de polarisation :

$$R(\vec{k}) = \frac{I^{+}}{I^{-}} = \frac{F_{N}^{2}(\vec{k}) + 2q^{2} F_{N}(\vec{k}) \cdot F_{M}(\vec{k}) + q^{2} F_{M}^{2}(\vec{k})}{F_{N}^{2}(\vec{k}) - 2q^{2} F_{N}(\vec{k}) \cdot F_{M}(\vec{k}) + q^{2} F_{M}^{2}(\vec{k})}$$

où $\mathbf{F}_{\mathbb{N}}$ est le facteur de structure cristallographique,

 $\mathbf{F}_{\mathbf{M}}$ le facteur de structure magnétique,

rest le vecteur de diffusion de la réflexion considérée.

Tableau 5 : Paramètres de la structure de YNi 3 affinés par moindres carrés.

	valeur	incertitude
Paramètre	Agreni	11100101000
longueur de Fermi (10 ¹² cm) b _y	0,764	0,005
Coefficients du facteur de température multiplié par 10		
atome Y _T β_{11}	80	7
β ₃₃	3,7	0,3
atome Ni_T β_{11}	82 .	4
β ₃₃	2,3	0,2
atome Y_{II} β 11	84,5	5
β ₃₃	3,1	0,2
atome Ni _{II} \$11	116	4
β33	2,6	0,2
atome Ni _{III} \$ 11	69	3
β ₁₂ β ₁₂ β ₁₁ β ₁₁ β ₁₂ β ₁₂ β ₁₂ β ₁₂	72	3
β ₂₃	-0,55	0,4
β ₃₃	3,3	0,1
Position (A) Y _{II} z ₃	0,1390	0,0001
${ t Ni_{II}}$ ${ t z}_{4}$	0,3331	0,0000
Ni _{III} z ₅	0,0818	0,0000
^x 5	0,5005	0,0001
paramètre d'extinction t (μ)	0,106	0,024
g	466	69
facteur d'échelle K	185,5	1,5

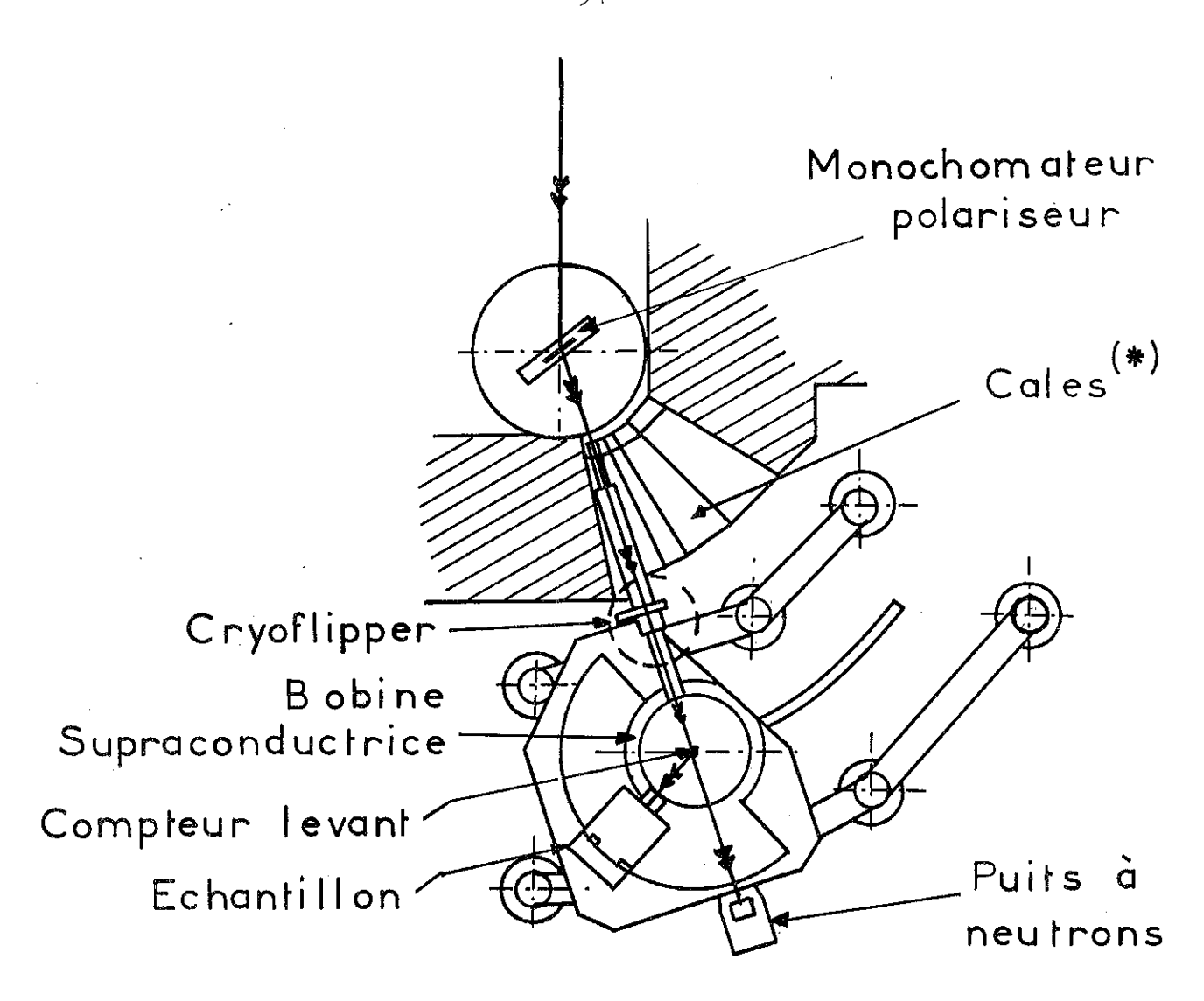


Figure 30 : Schéma de principe du diffractomètre à neutrons polarisés D3.

^{*} Les cales permettent de faire varier $2\theta_{\rm M}$ de 18 à 51° et de modifier ainsi la longueur d'onde.

q est un facteur géométrique, qui lorsque l'aimantation est saturée selon le champ magnétique appliqué, traduit l'angle α entre le vecteur de diffusion et la direction de l'aimantation : $q^2 = \sin^2 \alpha$.

Si la structure est centrosymétrique, $\mathbf{F}_{\mathbf{N}}$ et $\mathbf{F}_{\mathbf{M}}$ sont réels. On définit alors la quantité :

$$\gamma(\vec{k}) = \frac{F_{M}(\vec{k})}{F_{N}(\vec{k})}$$

et le rapport de polarisation s'écrit :

$$R = \frac{\gamma^2 + 2\gamma + 1/q^2}{\gamma^2 - 2\gamma + 1/q^2}$$

La connaissance des F_N , déterminés par l'étude de la structure cristallographique, et celle des γ , déterminés par la mesure des rapports de polarisation, permet de calculer les facteurs de structures magnétiques F_M , $F_M = \gamma . F_N$. L'utilisation de neutrons polarisés est beaucoup plus sensible pour la mesure de faibles moments magnétiques que celle de neutrons non polarisés. En effet, lorsque les neutrons ne sont pas polarisés, l'intensité diffractée vaut :

$$I = \frac{1}{2} (I_{+} + I_{-}) = F_{M}^{2} + F_{N}^{2}.$$

Lorsque les neutrons sont polarisés, elle vaut :

$$I^+ = (F_N + F_M)^2, I^- = (F_N - F_M)^2.$$

La diffusion magnétique est amplifiée par le terme F_N . F_M . A titre d'exemple, pour un composé dont le facteur de structure magnétique est 1 % du facteur de structure nucléaire, en neutrons non polarisés :

$$I = F_N^2 + F_M^2 = F_N^2 (1 + 10^{-4})$$

en neutrons polarisés :

$$R = \frac{I^+}{I^-} = 1 + 4.10^{-2}.$$

La mesure en neutrons polarisés est dans ce cas 400 fois plus sensible que celle en neutrons non polarisés.

c - Conditions expérimentales

Le cristal utilisé est celui qui a servi à l'affinement de la structure cristallographique. Il a été placé avec la direction de facile aimantation, c'est-à-dire l'axe à de la maille hexagonale, vertical et parallèle au champ magnétique appliqué. Cette expérience a été réalisée

à 4,2 K, dans un champ de 13,2 kOe. La longueur d'onde utilisée était de 0,9002 Å. Nous avons mesuré les rapports de polarisation de toutes les raies de type (Okl) jusqu'à $\frac{\sin \theta}{\lambda} = 0.8 \text{ Å}^{-1}$. Les raies de ce type ont été choisies afin d'obtenir une projection de la densité d'aimantation parallèlemenet à l'axe à. C'est en effet cette projection qui permet d'avoir le moins d'atomes superposés, et donc de mieux définir l'aimantation de chaque site. Afin de calculer les facteurs de structures cristallographiques à 4,2 K, nous avons extrapolé les coefficients des facteurs de température anisotropes en utilisant une loi de Debye pour décrire la variation thermique de ces coefficients.

d - Corrections

Les intensités mesurées pour les deux directions de polarisation doivent être corrigées de plusieurs imperfections, qui sont de deux types. D'une part les imperfections dues à l'expérience : polarisation incomplète du faisceau de neutrons incidents dans les deux directions de polarisation et contamination en $\lambda/2$. D'autre part les imperfections provenant de l'échantillon : dépolarisation par le cristal échantillon du faisceau de neutrons, et extinction. La correction d'absorption, dont nous avons tenu compte lors de l'affinement de la structure cristallographique, n'intervient pas ici, car l'absorption affecte de manière identique les intensités pour les deux sens de polarisation de neutrons. Le rapport de ces intensités est donc indépendant de l'absorption.

Polarisation du fasceau incident

La polarisation du faisceau incident est caractérisée par le rapport $P = \frac{N^+ - N^-}{N^+ + N^-}$, où N^+ et N^- sont le nombre de neutrons de moment magnétique parallèle ou opposé à l'aimantation de l'échantillon. En pratique P diffère légèrement des valeurs ± 1 qu'il prendrait dans le cas idéal d'un faisceau parfaitement polarisé, c'est-à-dire où l'une des populations N^+ ou N^- serait nulle. Ces écarts de quelques pour cent proviennent de diverses sources de dépolarisation mais également du phénomène de diffusion multiple dans le cristal polariseur ; ils dépendent donc de la longueur d'onde utilisée. Les imperfections du système de retournement de polarisation (cryoflipper) contribuent à un degré moindre à ces écarts, et indépendemment de la longueur d'onde. Nous avons étalonné la polarisation du faisceau obtenue au niveau de l'échantillon pour chacun des deux états + et - du cryoflipper à l'aide de deux monocristaux CoFe (200) pour lequel $\gamma = F_M/F_N = +1$ et Cu_2MnAl (111), alliage de

Heusler pour lequel $\gamma = -1$. Nous avons trouvé

 $P_{i} = 0,972$

 $P_{-} = -0.976$

à la longueur d'onde utilisée de 0,9002 A

Dépolarisation par l'échantillon

Une mesure de la polarisation du faisceau avant l'échantillon et une mesure après permettent de définir la polarisation dans l'échantillon en considérant que les faces d'entrée et de sortie interviennent chacune pour moitié dans la dépolarisation. Dans le cas de YNi3, où les moments magnétiques sont très faibles, la dépolarisation par l'échantillon est négligeable.

$\underline{\texttt{Contamination}} = \underline{\texttt{en}} - \underline{\lambda}/2$

L'intensité mesurée doit être corrigée de la contribution de la longueur d'onde $\lambda/2$, dont la présence dans le faisceau dépend de la longueur d'onde utilisée, et du flux de neutrons. Lorsque cette contamination en $\lambda/2$ est importante, on utilise des filtres sélectifs.

Extinction

Les paramètres d'extinction g et t utilisés sont ceux déterminés par l'affinement de la structure cristallographique :

g = 466

 $t = 0,106 \mu$.

Cette correction est la plus importante parmi toutes les corrections effectuées.

IV-3-2 - Résultats expérimentaux et analyse

Les formules utilisées permettant de calculer les γ à partir des rapports de polarisation R mesurés, et qui tiennent compte des diverses corrections, sont explicitées dans la thèse de F. Tasset (30). Les valeurs de F_N , γ et F_M , déterminées jusqu'à $\frac{\sin \Theta}{\lambda}$ = 0,8 Å , pour les raies de type (0kl) sont portées dans le tableau 6.

Tableau 6 : YNi₃ - Facteur de structure nucléaire, γ et facteur de structure magnétique à 4,2 K.

Les chiffres entre parenthèses désignent l'incertitude sur les derniers chiffres de F_M .

	titude sur les derniers chiffres de F _M .			
h k 1	sinΘ/λ (Å ⁻¹)	F _N (10 ⁻¹² cm)	γ	F _M (10 ⁻¹² cm)
31624597810224157835401669969702220453 00000000000000000000000000000000000	0,11834 0,11834 0,11835 0,11835 0,11835 0,11835 0,11835 0,11835 0,1855 0	1,2625 - 4,6158 - 4,6158 - 0,3220 - 1,778 - 0,32220 - 1,7525 - 10,2160 - 15,7684 - 10,215 - 10,215 - 10,215 - 11,618 - 12,618 - 13,851 - 13,851 - 14,7618 - 13,851 - 14,7618 - 14,7618 - 15,618 - 10,385 - 10,385 - 10,385 - 20,417 - 19,5581 - 19,5581 - 20,868 - 20,878 -	0,0362 0,0240 0,0234 0,0299 0,0052 -0,0140 0,0084 -0,0014 0,0029 0,0066 0,017 0,0135 0,00128 0,0128 0,0128 0,0128 0,0128 0,0129 0,0039 0,0039 0,0039 0,0039 0,0039 0,0037 0,0036 0,0037 0,0037 0,0037 0,0037 0,0037 0,0037 0,0038 0,0017 0,0038 0,0017 0,0038 0,0017 0,0038 0,0017 0,0038 0,0017 0,0038 0,0017 0,0038 0,0017 0,0038 0,0017 0,0038 0,0017 0,0038 0,0017 0,0038 0,0017 0,0038 0,0017 0,0038 0,0017 0,0038 0,0017 0,0038 0,0017 0,0038 0,0017 0,0038 0,0017 0,0038 0,0017 0,0038 0,0017	0,0703 (25) -0,1503 (29) -0,1082 (48) -0,0532 (30) 0,0050 (33) 0,0045 (27) 0,0313 (49) -0,0084 (28) 0,0269 (51) 0,0993 (30) -0,0439 (36) 0,3779 (187) -0,0984 (37) -0,0984 (37) -0,1016 (44) -0,2159 (22) -0,2134 (37) -0,0971 (32) -0,0321 (34) 0,0535 (73) 0,0633 (34) 0,0535 (73) 0,0633 (34) 0,0163 (35) 0,0633 (34) 0,0163 (35) 0,0271 (51) -0,0071 (44) -0,0701 (41) 0,0605 (34) 0,0164 (55) 0,1300 (35) 0,0312 (32) -0,0328 (41) -0,0701 (44) 0,0118 (58) 0,0117 (44) 0,0118 (58) 0,0117 (44) 0,0118 (58) 0,0117 (44) 0,0118 (58) 0,0117 (44) 0,0118 (58) 0,0117 (44) 0,0118 (58) 0,0111 (29) 0,0341 (38) -0,0540 (46) 0,0518 (52) -0,0019 (34) 0,0318 (59) -0,0864 (50) -0,0864 (50) -0,0864 (50) -0,0864 (50)

<u>Tableau 6</u>: YNi₃ - (suite)

h	k 1	$\sin\theta/\lambda \ (\mathring{A}^{-1})$	F _N (10 ⁻¹² cm)	Υ	F _M (10 ⁻¹² cm)
	5 2 4 5 2 2 3 2 5 1 1 2 2 7 3 2 2 7 3 2 5 1 1 5 2 7 3 2 5 1 5 2 7 3 2 5 1 5 2 7 3 2 5 1 5 2 7 3 2 5 1 5 2 7 3 2 5 1 5 2 7 3 2 5 1 5 2 7 3 2 5 1 5 2 7 3 2 5 1 5 2 7 3 2 5 1 5 2 7 3 2 5 1 5 1 5 2 7 3 2 5 1 5 1 5 1 5 1 5 1 5 1 5 1 5 1 5 1 5	0,6636 0,6681 0,6685 0,6785 0,6785 0,6935 0,6979 0,6984 0,7009	-15,965 -4,568 11,832 12,426 6,319 6,307 -13,443 10,401 14,277 -5,413 10,497 -17,036 10,975 10,975 -20,149 -10,051 +7,195 -3,314 -10,051 +7,195 -3,716 -3,937 -4,168 -22,637 -3,140 -3,537 -3,140 -3,537 -3,609 -3,725 -	0,0061 0,0030 0,0091 0,0015 0,0046 0,0034 0,0032 0,0016 0,0011 0,0016 0,0012 0,0010 0,0011 0,0010 0,0011 0,0020 0,0139 0,011 0,0025 0,0024 0,0029 0,0027 0,0020 -0,0166 0,0029 0,0020 -0,0166 0,0029 0,0020 -0,0166 0,0029 0,0020 -0,0166 0,0029 0,0020 -0,0166 0,0029 0,0020 -0,0106 0,0029 0,0030 0,0030 0,0030 0,0000 -0,0100 0,0041 0,0007 0,0063 0,0029	-0,0941 (53) 0,0778 (50) -0,0416 (56) 0,0181 (79) 0,0578 (59) 0,0418 (60) 0,0203 (119) 0,0201 (104) -0,0211 (64) 0,0119 (77) 0,0232 (68) -0,0171 (46) 0,0197 (61) 0,0092 (63) 0,0108 (58) 0,0101 (57) 0,0369 (74) -0,0457 (72) -0,0496 (90) 0,0177 (106) +0,0079 (74) -0,0172 (240) -0,0172 (240) -0,0173 (85) 0,0209 (129) 0,0100 (95) -0,0661 (133) -0,0217 (146) -0,061 (202) -0,0142 (135) -0,0247 (87) -0,0335 (83) -0,0327 (82) -0,0149 (127) -0,0047 (122) 0,013 (109) -0,0160 (83) -0,0250 (359) 0,0188 (105) -0,0088 (88) 0,0433 (73) -0,0019 (162) 0,0047 (134)

Tableau 6: YNi₃ - (suite)

h k l	$\sin\theta/\lambda \ (A^{-1})$	F _N (10 ⁻¹² cm)	Υ	F _M (10 ⁻¹² cm)
34 34 33 30 61 33 30 66 60 99 33 40 60 60 60 60 60 60 60 60 60 60 60 60 60	0,7011 0,7086 0,7088 0,7089 0,7092 0,7092 0,7225 0,7225 0,7289 0,7368 0,7371 0,7401 0,7407 0,7407 0,7407 0,7563 0,7565 0,7635 0,7635	1,630 0,534 17,878 17,898 10,623 - 4,634 - 4,639 6,279 3,247 3,248 - 4,726 4,789 30,129 30,129 - 6,711 25,321 - 6,711 25,321 - 9,587 -11,3168 2,773 10,720 10,719	0,0066 0,0133 0,0009 0,0026 0,0007 -0,0011 0,0060 0,0052 0,0000 -0,0037 -0,0031 -0,0001 -0,0007 -0,0043 0,0011 0,0016 0,0072 0,0011 -0,0014 0,0021 0,0002 -0,0025	0,0107 (101) 0,0071 (280) 0,0169 (93) 0,0047 (86) 0,0070 (125) 0,0053 (116) -0,0276 (242) 0,0011 (246) 0,0169 (204) 0,0000 (134) 0,0173 (143) -0,0153 (478) -0,0153 (478) -0,0218 (85) -0,0057 (159) 0,0271 (285) 0,0404 (84) -0,0485 (138) 0,0262 (115) -0,0124 (117) -0,0124 (117) -0,0045 (186) 0,0058 (166) 0,0017 (177) -0,0265 (176)

Projection de la densité d'aimantation parallèlement à l'axe a

Les facteurs de structures magnétiques, F_M , sont les coefficients de la décomposition en série de Fourier de la densité d'aimantation $\rho(x, y, z)$, dans l'espace réel tripériodique du cristal

$$\rho(x,y,z) = \frac{1}{V} \sum_{h} \sum_{k} \sum_{l} F_{M}(hkl) \exp \left[-2i(hx + ky + lz)\right]$$

où V est le volume de la maille.

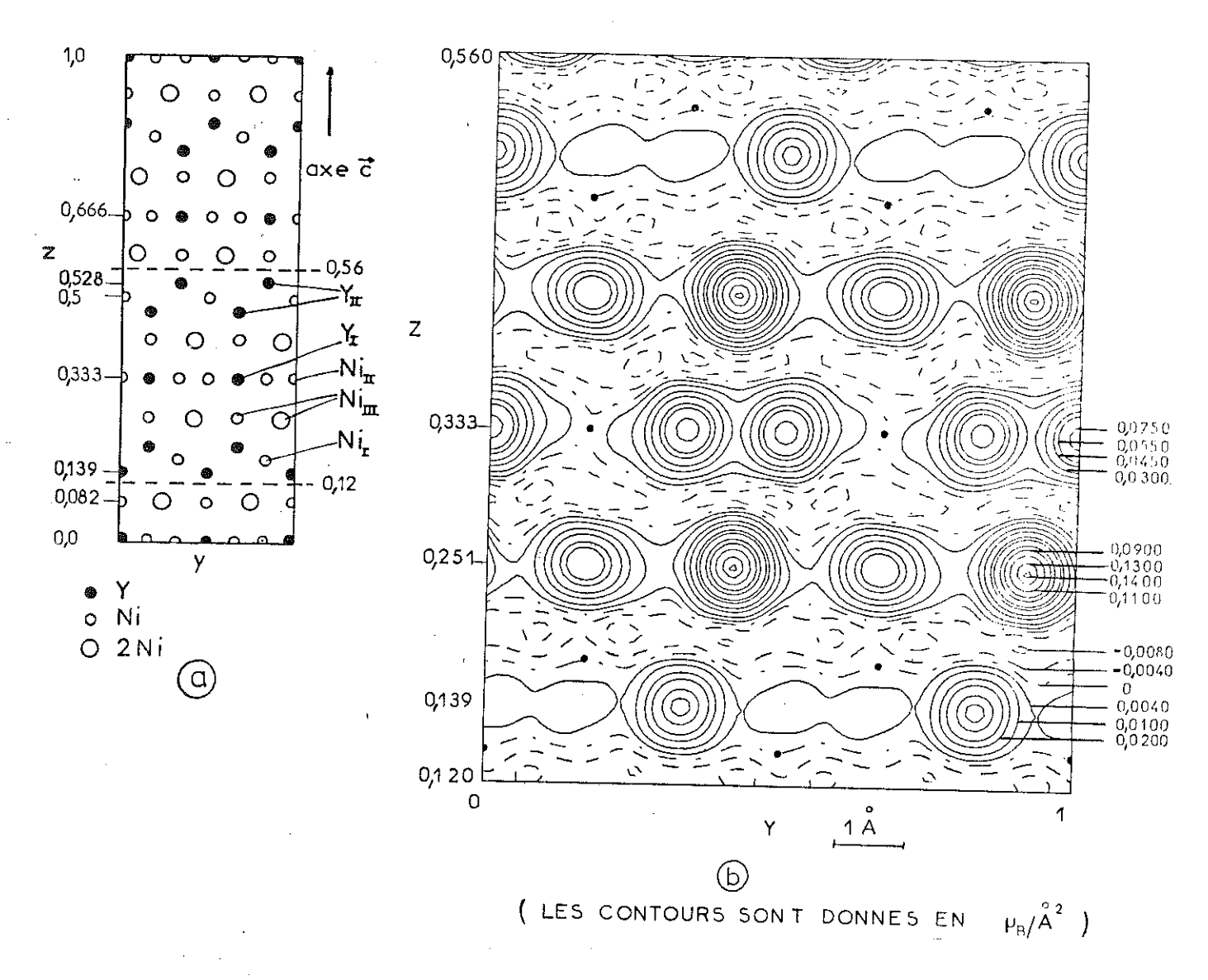
La projection de cette densité sur un plan perpendiculaire à l'axe à du cristal s'écrit :

$$\rho(yz) = \int_{0}^{1} \rho(xyz) \text{ adx} = \frac{1}{S} \sum_{k=1}^{S} \sum_{m=1}^{S} F_{m}(Okl) \exp \left[-2i\pi(ky + lz)\right]$$

où S est la surface de la projection de la maille.

Les $F_M(0kl)$ mesurés nous permettent donc de calculer cette projection. Théoriquement la transformation de Fourier requiert la sommation d'un nombre infini de termes. Le nombre de facteurs de structures magnétiques mesurés étant limité, il apparaît des erreurs de terminaisons de série, qui peuvent se traduire par des oscillations spatiales de la densité, principalement dans les zones de faible densité magnétique. Pour atténuer ces oscillations, qui n'ont pas de sens physique, nous avons calculé la densité moyenne autour des points considérés, en prenant comme surface d'intégration un carré de côté 2 δ .

Nous avons utilisé pour le calcul de la projection de la densité d'aimantation des programmes mis au point par P.J. Brown (Cambridge, Crystallography Subroutine Library). La projection de la densité d'aimantation avec $\delta=0.375$ Å, ainsi que la projection schématique de la structure cristallographique, sont représentées sur la figure 31. Le facteur de structure magnétique de la raie (000) correspond à l'aimantation mesurée à 4,2 K sous 13,2 kOe soit : 1,35 $\mu_{\rm B}/9$ (YNi $_3$). On observe une densité magnétique localisée sur chaque atome de nickel, et aucune densité localisée sur les atomes d'yttrium. Sur le site Ni $_{\rm III}$ (z = 0,082 + 1/3, y = 1/2 + 1/3), deux atomes de nickel se projettent. La densité de ce point est en effet double de celle du point (z = 0,082 + 1/3, y = 1/3) où un seul atome Ni $_{\rm III}$ se projette. Les trois sites de nickel présentent des aimantations légèrement différentes. Au sommet des pics, les densités d'aimantations sont les suivantes :



---- CONTOURS NEGATIFS

POSITIONS DES ATOMES
D'YTTRIUM

---- CONTOUR ZERO

- CONTOURS POSITIFS

Figure 31 : YNi 3 - Projection de la densité magnétique à 4,2 K sur un plan perpendiculaire à l'axe à de la maille hexagonale.

a - Schéma de la projection des atomes.

b - Carte de la densité pour z compris entre 0,12 0,56. La densité est moyennée sur un carré de côté 2δ , avec δ = 0,375 Å.

0,059
$$\pm$$
 0,004 $\mu_{\rm B}/{\rm A}^2$ pour Ni_I
0,084 \pm 0,004 $\mu_{\rm B}/{\rm A}^2$ pour Ni_{II}
0,070 \pm 0,004 $\mu_{\rm B}/{\rm A}^2$ pour Ni_{III}

Entre les atomes on observe de faibles oscillations, auxquelles il est difficile d'attribuer un sens physique. Cependant, malgré l'importance des incertitudes, il semble que la polarisation diffuse ne soit pas uniforme.

Afin d'évaluer le moment magnétique de chacun des trois sites de nickel, nous avons comparé la densité d'aimantation expérimentale, à celle calculée dans un modèle où l'aimantation localisée sur les sites de nickel est décrite à l'aide du facteur de forme 3d observé dans le nickel métallique (31). Nous avons porté sur la figure 32 les projections de la densité magnétique le long des lignes $z=\frac{1}{6}$, $z=\frac{1}{3}$ et $z=0.082+\frac{1}{3}$, chaque ligne correspondant à un site de nickel différent. Les courbes en trait continu et en pointillés représentent respectivement les densités observées et calculées dans le modèle ci-dessus. Les moments magnétiques de chaque site ainsi déterminés valent :

0,057 ± 0,003 μ_B pour Ni_I
0,078 ± 0,003 μ_B pour Ni_{II}
0,065 ± 0,003 μpour Ni_{III}

L'aimantation de la maille déduite de ces valeurs est de 1,81 \pm 0,08 μ_B à 4,2 K sous un champ de 13,7 kOe. L'aimantation macroscopique mesurée directement dans les mêmes conditions est de 1,35 \pm 0,07 $\mu_B/9$ (YNi3). L'écart entre ces deux valeurs (-0,46 \pm 0,15 $\mu_B/9$ (YNi3)) peut être attribué à la valeur moyenne de la densité diffuse liée à la polarisation.

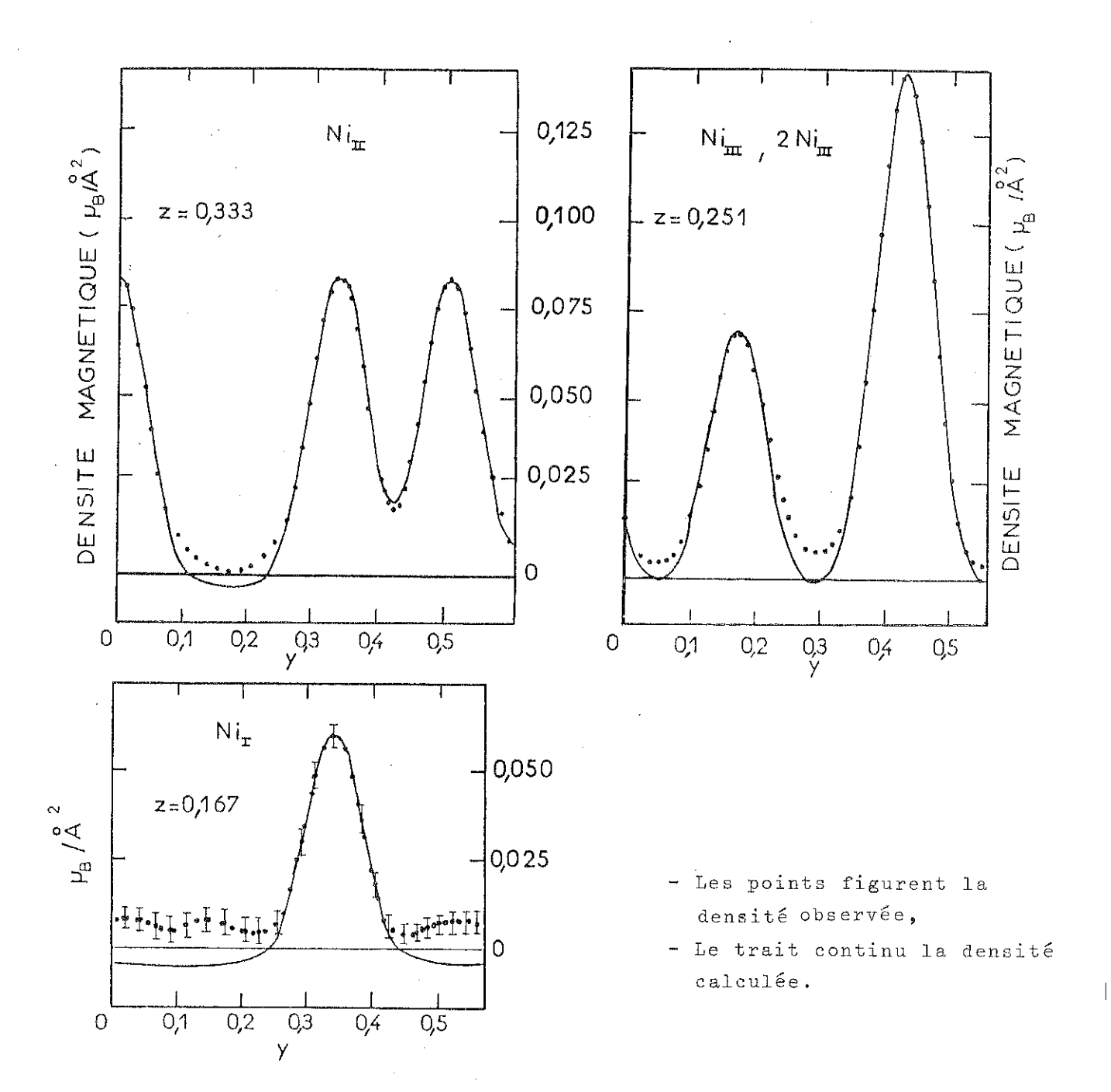


Figure 32 : YNi $_3$ - Projection de la densité magnétique à 4,2 K sur un plan perpendiculaire à l'axe \vec{a} de la maille hexagonale. Projection le long des lignes $z=\frac{1}{6},\ z=\frac{1}{3},$ $z=0,082\pm\frac{1}{3}.$

CHAPITRE V

ANALYSE ET DISCUSSION DES RÉSULTATS EXPÉRIMENTAUX

V-1 - ETUDE DU COMPORTEMENT PARTICULIER DES COMPOSES ETUDIES

V-1-1 - Composés Y2Ni17

Dans les alliages de l'yttrium avec un métal de transition, le moment 3d décroît lorsque le pourcentage d'yttrium allié augmente. En particulier, le moment du nickel est nul pour YNi₅. Dans les composés Y₂Ni₁₇ étudiés, le nickel a un moment fortement réduit par rapport à celui qu'il possède dans l'état métallique, comme le suggère la faible valeur de l'aimantation spontanée. De plus, ces composés présentent des particularités qui dépendent de la stoechiométrie réelle.

Pour les deux composés les plus riches en nickel, la variation thermique de la susceptibilité superposée présente deux tangentes d'inflexion ; une courbure négative maximum est observée, à 70 K et 50 K respectivement, pour Y_2Ni_{17} et Y_2Ni_{16} . Pour les trois composés étudiés, la variation thermique de l'aimantation spontanée ne peut s'interpréter ni dans un modèle de magnétisme localisé, dans lequel cette variation se déduirait de la fonction de Brillouin, $B_{1/2}$, ni dans un modèle de magnétisme itinérant de type Stoner dans lequel la variation serait proportionnelle à $\begin{bmatrix} 1 - (T/T_c)^2 \end{bmatrix}^{1/2}$.

En outre, pour le composé Y₂Ni₁₆, la variation thermique de l'aimantation spontanée passe par un maximum vers 30 K. Une telle variation était jusqu'alors caractéristique d'un comportement ferrimagnétique. En effet, des atomes magnétiques, répartis sur deux sites cristallographiques différents et couplés antiparallèlement, peuvent donner lieu à une telle variation thermique, en raison des différences de variations thermiques de leur aimantation propre. Cependant, dans les composés du

nickel étudiés, nous sommes en présence d'un magnétisme 3d, pour lequel le niveau de Fermi se trouve en sommet de bande; il n'y a donc pas de raison pour que des interactions négatives entre atomes de nickel soient présentes. Les composés du cobalt se trouvant dans les mêmes conditions sont ferromagnétiques. Récemment, une variation thermique analogue de l'aimantation spontanée a été observée dans des alliages ferromagnétiques proches de la condition d'apparition du magnétisme 3d, plus particulièrement dans le composé ThCo₅ Dans ce cas, au maximum de l'aimantation doit être associée une forte dépendance de la température de Curie avec la composition, ce que nous observons dans les composés Y₂Ni₁₇, puisque la température de Curie passe de 149 K à 119 K lorsque la composition passe de Y₂Ni₁₇ à Y₂Ni₁₅.

Ces composés Y2Ni17 sont donc au voisinage des conditions d'apparition du magnétisme du nickel. Les atomes de nickel se répartissent sur quatre sites cristallographiques différents ; leur comportement magnétique dépend de leur environnement. Certains sont ferromagnétiques. La variation thermique de leur aimantation spontanée est monotone. Elle est schématisée sur la figure (33a). D'autres atomes, pour lesquels l'environnement en atomes d'yttrium est plus important et par conséquent celui en atomes de nickel plus faible, sont paramagnétiques, le critère de Stoner n'étant plus satisfait. La bande 3d est presque remplie. Lorsque le niveau de Fermi se trouve dans une zone où la variation de la densité d'états en fonction de l'énergie présente une pente fortement négative et une courbure positive, la variation thermique de la susceptibilité peut présenter un maximum (32). Si ce maximum est à une température inférieure à la température de Curie, l'aimantation induite sur ces atomes par le champ d'échange créé par les atomes ferromagnétiques voisins passera par un maximum (figure 33b). La variation thermique de l'aimantation spontanée du composé présentera donc un maximum ainsi que la susceptibilité superposée, car cette dernière correspond alors, pour l'essentiel, à celle des atomes paramagnétiques (figure 33c).

On montre théoriquement (32), qu'à l'existence du maximum de susceptibilité des atomes paramagnétiques, doit être associé un champ de transition leur permettant d'atteindre un état de haute aimantation. Ce comportement a donné lieu à la notion de métamagnétisme des électrons itinérants. Dans les composés Y₂Ni₁₇, comme dans le palladium, ce champ de transition n'est pas atteint avec les champs disponibles en laboratoire. Cependant, sur le composé Y₂Ni₁₆, la variation de l'aimantation en fonction du champ, à 1,5 K, présente une tangente d'inflexion (figure 34).

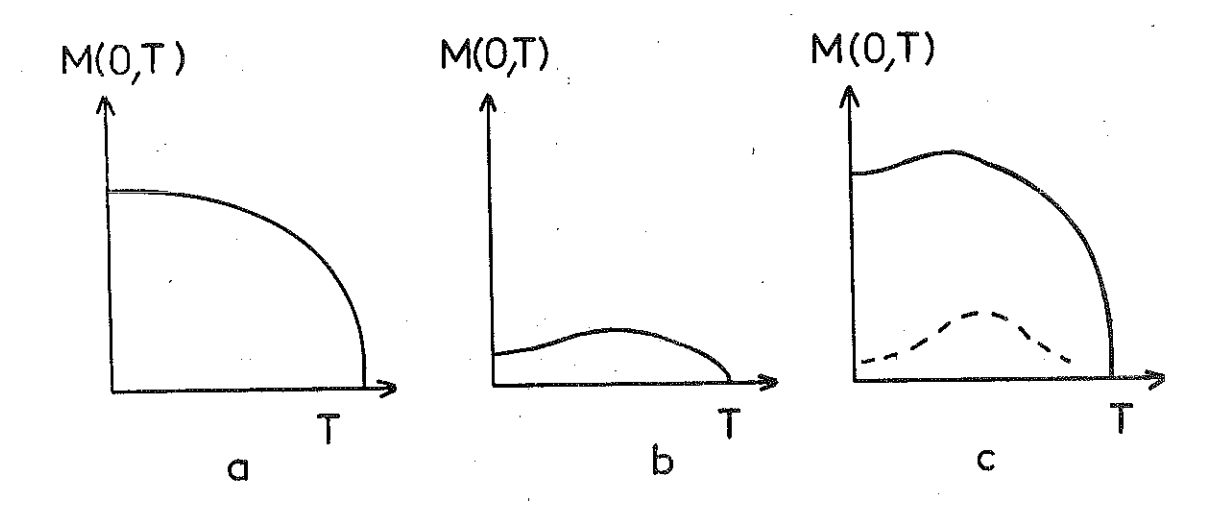


Figure 33 : Y2Ni16 (schématique).

- a Variation thermique de l'aimantation spontanée des atomes de nickel ferromagnétiques.
- b Variation thermique de l'aimantation spontanée des atomes de nickel paramagnétiques.
- c Variation thermique de l'aimantation spontanée totale des atomes de nickel et de la susceptibilité superposée (traits discontinus).

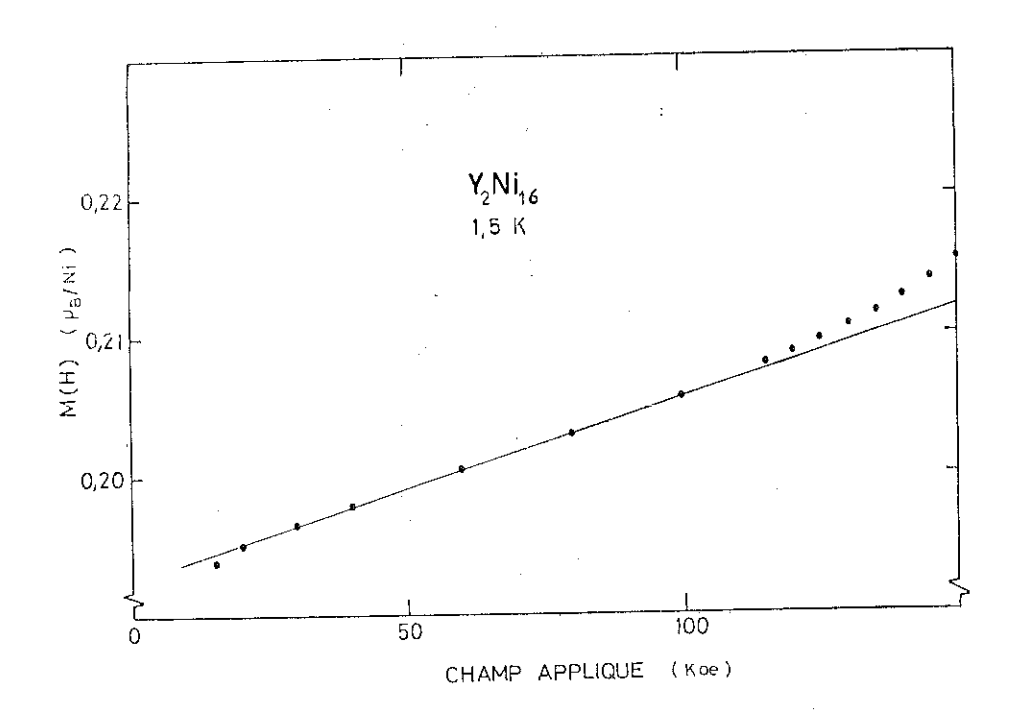
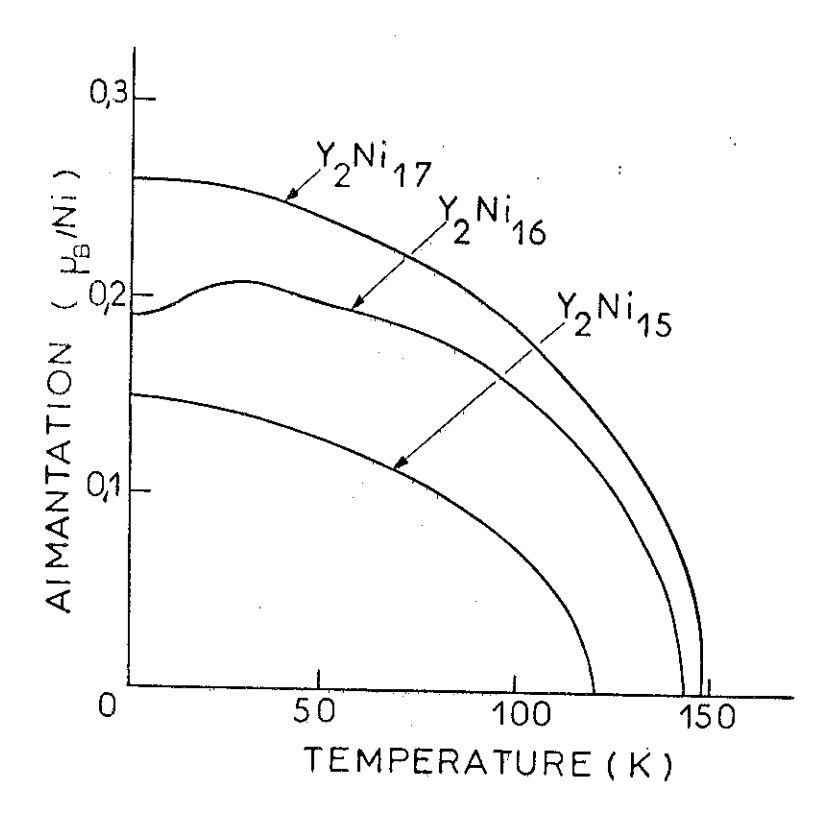


Figure 34: Y2Ni 16 - Variation isotherme de l'aimantation avec le champ à 1,5 K.

La susceptibilité différentielle sous 40 kOe, qui correspond à la susceptibilité superposée, est de 7,5.10⁻¹⁴ u.e.m./mole de Ni. Sous 150 kOe, la susceptibilité différentielle a atteint 18,3.10⁻¹⁴ u.e.m./mole de Ni. Pour les atomes paramagnétiques considérés, un terme proportionnel à H³ s'ajoute à la variation linéaire de l'aimantation avec le champ.

Les trois composés Y₂Ni₁₇ étudiés ont des teneurs en nickel différentes, bien qu'ils cristallisent dans la même structure cristallographique, des atomes d'yttrium pouvant remplacer des paires d'atomes de nickel. C'est essentiellement la modification des interactions entre atomes résultant de ces écarts de stoechiométrie qui permet de rendre compte des différences dans les propriétés magnétiques observées, en particulier de la diminution de l'aimantation spontanée avec la teneur en nickel (figure 35).



<u>Figure 35</u>: Comparaison entre la variation thermique de l'aimantation spontanée des composés Y2^{Ni}17, Y2^{Ni}16 et Y2^{Ni}16.

V-1-2 - Composé YNi3

Dans le composé YNi3, plus riche en yttrium que le composé paramagnétique YNi5, le magnétisme réapparaît. Les expériences de diffraction de neutrons polarisés ont montré que ce magnétisme n'était pas dû aux électrons 4d de l'yttrium, mais provenait des électrons 3d du nickel. D'un point de vue macroscopique, les propriétés magnétiques observées sur ce composé sont correctement décrites par le modèle du très faible ferromagnétisme itinérant développé par Stoner et Wohlfarth (33,34), dont une des meilleures illustrations est le composé ZrZn2. Dans ce modèle, les interactions d'échange sont exprimées à l'aide d'un champ moléculaire. Le découplage des deux bandes étant supposé faible, on utilise un développement limité de la densité d'états au voisinage du niveau de Fermi. L'expression analytique de l'aimantation en fonction du champ et de la température font intervenir le coefficient de champ moléculaire et les dérivées successives par rapport à l'énergie de la densité d'état, au niveau de Fermi. Dans le formalisme de Landau, la contribution magnétique à l'énergie libre s'écrit :

$$F = \frac{A}{2} M^2 + \frac{B}{4} M^4 + \dots - MH$$

Les coefficients A et B ont la forme suivante :

$$A = -\frac{1}{2\chi_{o}} \left[1 - \left(\frac{T}{T_{c}} \right)^{2} \right]$$

$$B = \frac{1}{2\chi_{o} M^{2}(0,0)}$$

où M(0,0) est l'aimantation spontanée à 0 K,

et
$$\chi_0$$
 est la susceptibilité superposée à 0 K : $(\frac{\partial M}{\partial H})$ H = 0 T = 0

En minimisant l'énergie libre par rapport à l'aimantation :

$$\left[\frac{M(H,T)}{M(0,0)}\right]^{3} - \frac{M(H,T)}{M(0,0)}\left[1 - \left(\frac{T}{T_{c}}\right)^{2}\right] = \frac{2\chi_{o} H}{M(0,0)}$$

qui s'écrit aussi :

$$M^{2}(H,T) = M^{2}(0,0) \left[\left[1 - \left(\frac{T}{T_{c}} \right)^{2} \right] + 2\chi_{o} \frac{H}{M(H,T)} \right]$$

Cette expression montre que les tracés de Arrott (M² fonction de H/M) doivent être des droites parallèles, et qu'à toute température, l'aimantation croît avec le champ et ne se sature pas. La variation thermique de l'aimantation spontanée suit la loi:

$$M^{2}(0,T) = M^{2}(0,0) \left[1 - \left(\frac{T}{T_{c}}\right)^{2}\right]$$

Ces caractéristiques sont bien observées pour le composé YNi_3 , où les isothermes des tracés de Arrott sont dans une large gamme de températures des droites dont la pente varie très peu (figure 25). La variation de M^2 en fonction de T^2 est linéaire (figure 26).

De l'expression de l'énergie libre, on déduit les contributions magnétiques à l'entropie et à la chaleur spécifique :

$$S_{m} = \frac{1}{2} \frac{M^{2}(0,0)}{X_{o}} \left[-\frac{T}{T_{c}^{2}} + \frac{T^{3}}{T_{c}^{4}} \right]$$

$$1 M^{2}(0,0) \left[-\frac{T}{T_{c}^{2}} + \frac{T^{3}}{T_{c}^{4}} \right]$$

$$C_{\rm m} = \frac{1}{2} \frac{M^2(0,0)}{\chi_{\rm o}} \left[-\frac{T}{T_{\rm c}^2} + \frac{3T^3}{T_{\rm c}} \right]$$

ainsi que la discontinuité de chaleur spécifique à $\mathbf{T}_{\mathbf{c}}$:

$$\Delta C_{m} = \frac{M^{2}(0,0)}{X_{o} T_{c}}$$

Le modèle utilisé conduit à des valeurs de l'entropie magnétique et de la discontinuité de chaleur spécifique à T_c inférieures aux erreurs expérimentales. Ces contributions très faibles ne peuvent donc pas être mises en évidence expérimentalement. Dans YNi₃, aucune contribution magnétique n'a été observée.

A basse température, la dépendance en T^2 de la résistivité, comportement général des liquides de Fermi, est bien observée. Le coefficient B de cette variation est de 1,3.10⁻⁸ Ω cm K⁻². De manière générale, ce coefficient est élevé pour les très faibles ferromagnétiques, de plusieurs ordres de grandeur supérieur à celui des métaux de transition. Dans YNi₃, il est du même ordre de grandeur que dans $ZrZn_2$, pour lequel il atteint 4,7.10⁻⁸ Ω cm K⁻²(35). Pour les composés Y₂Ni₁₇, le coefficient B a une valeur intermédiaire : B = 0,8.10⁻⁹ Ω cm K⁻².

L'expérience de diffraction de neutrons polarisés nous a permis de mettre en évidence les aspects microscopiques du magnétisme dans YNi₃. Le magnétisme résurgent est de caractère 3d : seuls les atomes de nickel sont magnétiques, et la distribution spatiale des électrons 3d est analogue à celle observée dans le nickel métallique. La différence des moments magnétiques localisés sur les trois sites de nickel montre le rôle de l'environnement local. Sur le tableau 7, nous avons porté les caractéristiques de l'environnement de chacun de ces sites : une diminution du moment magnétique d'un site à l'autre correspond à une diminution du nombre de proches voisins nickel, associée à une augmentation du nombre de proches voisins yttrium.

Tableau 7: YNi 3 - Environnement des atomes de nickel

Atome	moment magnétique (µ _B)	proches voisins nickel			proches voisins yttrium		
11001110		type	nombre	distance (A)	type	nombre	distance (A)
Ni	0,057±0,003	Ni _{III}	6	2,52	YII	6	2,94
Ni _{III}	0,065±0,003	Ni _I Ni _{II} Ni _{III}	1 2 3	2,52 2,46 2,50	YII YII	2 2 1	3,19 2,89 3,08
NiII	0,078±0,003	Ni _{II} Ni _{III}	3 6	2,88 2,46	YI	3	2,88

La polarisation diffuse observée est négative comme dans le nickel métallique, mais moins uniforme. De même que dans les métaux 3d elle résulte de l'hybridation de la bande s avec la bande 3d⁽³¹⁾. Le caractère non uniforme de la polarisation peut provenir des électrons 4d, peu localisés, de l'yttrium.

V-1-3 - Composés Y2Ni7

Le composé YoNi7, qui correspond à une composition plus riche en yttrium que le composé paramagnétique YNi, se situe, comme YNi, dans la zone de résurgence du magnétisme du nickel. Pour cette composition, deux comportements magnétiques différents ont été observés. Le premier, propre au composé appelé Y2Ni7 t.f.f. est celui d'un très faible ferromagnétique. Le second, désigné sous le nom d'aimantation thermique, est celui du composé Y_2Ni_7 a.t. : l'aimantation spontanée n'apparaît que dans l'intervalle de température $\left[\mathbf{T}_{\mathrm{s}}^{}$, $\mathbf{T}_{\mathrm{c}}^{}\right]$. C'est le comportement de Y_2Ni_7 a.t. qui caractérise la composition Y_2Ni_7 . En effet, la disparition de l'aimantation spontanée à basse température est un gage de grande pureté, car dans un composé proche des conditions d'apparition du magnétisme, les défauts de cristallisation où les impuretés magnétiques tendent généralement à le rendre magnétique. Ainsi peut s'expliquer le comportement du composé Y₂Ni₇ t.f.f. L'inhomogénéité du magnétisme de ce dernier composé est confirmée par l'écart à la linéarité dans les tracés de Arrott à toute température. Déjà, dans le composé Y_2 Ni $_7$ a.t., un faible taux d'impuretés rend compte de la variation en 1/T de la susceptibilité lorsque la température passe de $4,2~\mathrm{K}$ à 1,6 K.

Le comportement magnétique de $Y_2 Ni_7$ (a.t.) est très particulier : à basse température, il est paramagnétique ; à T_s , voisin de 7 K il acquiert une aimantation spontanée qui passe par un maximum vers 40 K et s'annule à T_c = 58 K. Cette variation particulière de l'aimantation spontanée, qui correspond à l'apparition d'un ordre ferromagnétique lorsque la température croît, est caractérisée par l'appellation aimantation thermique.

L'absence d'aimantation spontanée au-dessous de T_s ne peut provenir d'un ordre antiferromagnétique. En effet, la variation thermique de la résistivité présente un changement de régime vers T_s , caractéristique de l'apparition d'un ordre magnétique aux températures supérieures ; l'augmentation de la résistivité avec la température est plus rapide lorsque la température est supérieure à T_s (figure 23). De plus, comme dans les composés Y_2Ni_{17} , la présence d'interactions négatives est peu probable, la bande 3d étant presque remplie.

En 1965, Shimizu, en utilisant le modèle de Stoner pour discuter les conditions d'apparition du ferromagnétisme dans les métaux (36), avait prévu un tel comportement, qui jusqu'à présent, n'avait jamais été observé. En tenant compte de la forme de la densité d'état au voisinage du niveau de Fermi, et de l'importance des interactions magnétiques, caractérisées par le coefficient de champ moléculaire, il examine la différence d'énergie libre entre un état ferromagnétique et un état paramagnétique, en fonction de la température. Il fait intervenir les dérivées successives de la densité d'état dans le développement de l'aimantation, et montre qu'un état stable ferromagnétique peut exister dans certains cas où le critère usuel de Stoner n'est pas vérifié. Même pour une forme simple de la densité d'états, où les dérivées d'ordre impair sont nulles, c'est-à-dire où le niveau de Fermi se situe à un minimum de la densité d'états, plusieurs comportements sont prévus. Deux d'entre eux sont schématisés sur la figure 36. Le cas a, dans lequel la variation thermique de la susceptibilité passe par un maximum, correspond au comportement du cobalt dans YCo2. Le cas b, où une aimantation spontanée n'existe que dans un intervalle de température $\left[\mathtt{T}_{\mathtt{S}},\ \mathtt{T}_{\mathtt{C}}\right]$ est analogue au comportement de YoNi, a.t.

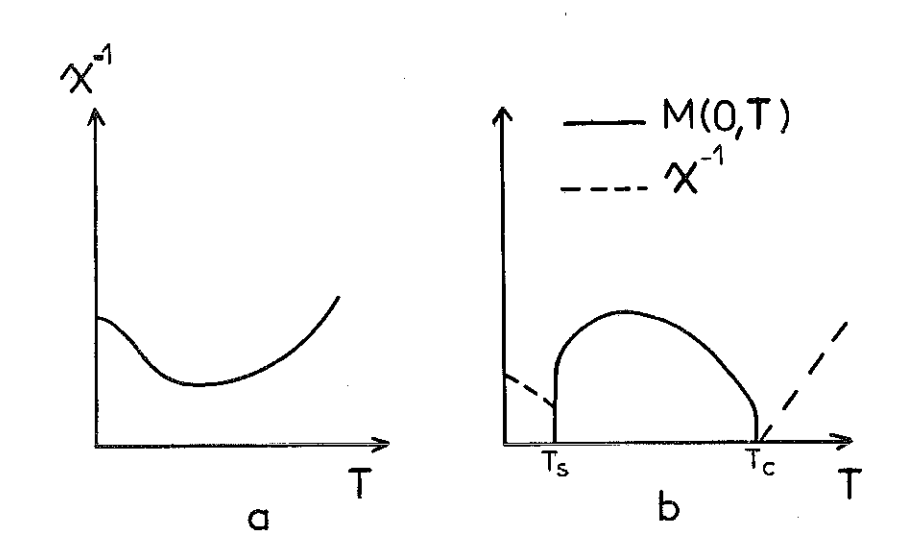


Figure 36: Schéma de deux type de comportements prévus par Shimizu (36)

--- Variation thermique de l'inverse de la susceptibilité

Variation thermique de l'aimantation spontanée.

a correspond à un maximum de susceptibilité (YCo₂)

b correspond à une aimantation thermique (Y₂Ni₇).

En fait, un minimum de la densité d'états au niveau de Fermi n'est pas une condition nécessaire à l'obtention des comportements a et b. En particulier, le niveau de Fermi peut se situer dans une région de décroissance de la densité d'états, à condition que celle-ci présente une courbure positive et suffisamment importante. La variation thermique de l'inverse de la susceptibilité, dans le modèle utilisé par Shimizu, s'écrit:

$$\frac{\chi(0)}{\chi(T)} = 1 - \alpha R_s T^2 + \beta R_s T^4$$

où $R_{_{\mathbf{S}}}$ est le coefficient de renforcement de Stoner :

$$R_{s} = \frac{1}{1 - U.n(\epsilon_{F})}$$

U représente les interactions magnétiques,

 $n(\epsilon_{\rm F})$ est la densité d'états au niveau de Fermi.

$$\alpha = \frac{\Pi^2}{\sigma} (v_2 - v_1^2) k^2$$

avec:
$$v^n = \left[\frac{\partial^n n(\varepsilon)}{\partial \varepsilon^n}\right]_{\varepsilon = \varepsilon_F} / n(\varepsilon_F)$$

Lorsque α est positif et $\alpha.R_s$ suffisamment élevé, conditions réalisées pour ν_2/ν_1^2 grand devant 1, $\chi(T)$ peut présenter un maximum.

Des calculs de bande, dans l'approximation des liaisons fortes $^{(37)}$, ont montré que dans les composés RCo_2 cette hypothèse était réalisée. Si le coefficient du terme en T 2 de la variation thermique de 1/ χ a une valeur assez grande, la susceptibilité peut devenir infinie pour une certaine température ; le ferromagnétisme apparaît, comme dans le composé $\mathrm{Y}_2\mathrm{Ni}_7$ a.t.

V-2 - MAGNETISME DU NICKEL DANS LES ALLIAGES YTTRIUM-NICKEL

La modification des propriétés magnétiques du nickel dans les alliages yttrium-nickel, en fonction de la composition, doit être examinée à la lumière de l'évolution de la structure de bande. L'alliage est formé par l'association d'une bande 3d, étroite, et d'une bande 4d, plus large. La différence d'électronégativité, c'est-à-dire des niveaux de Fermi,

des constituants de l'alliage conduit à un transfert des électrons 4d vers la bande 3d d'énergie plus faible. L'écrantage des potentiels nucléaires par les électrons est alors modifié, ce qui provoque le rapprochement des deux bandes. De plus, il se produit une hybridation des états 3d et 4d qui donne lieu à la formation d'une queue au sommet de la bande 3d. Ces caractéristiques, schématisées sur la figure 37, sont d'autant plus importantes que le taux d'yttrium allié est grand. Un calcul de bande dans les phases de Laves cubiques RM₂ (37), utilisant l'approximation des liaisons fortes, a permis d'évaluer quantitativement ces différents phénomènes. Dans YNi₂, le calcul montre que le transfert est de l'ordre de 2/3 d'électrons par atome d'yttrium.

La variation du moment des atomes de nickel dans les alliages yttrium-nickel, en fonction de la composition est représentée sur la figure 38. En considérant que quelle que soit la composition, le nombre l'électrons transféré est de 2/3 par atome d'yttrium, un tel remplissage de la bande 3d conduit à la variation du moment du nickel représentée en pointillés sur la figure 38. La variation observée, dans les composés riches en nickel, est plus rapide. Dans le nickel métallique, la bande 3d est presque pleine (0,6 trou/Ni). Le niveau de Fermi est dans une zone très affectée par l'évolution de la bande avec la concentration en

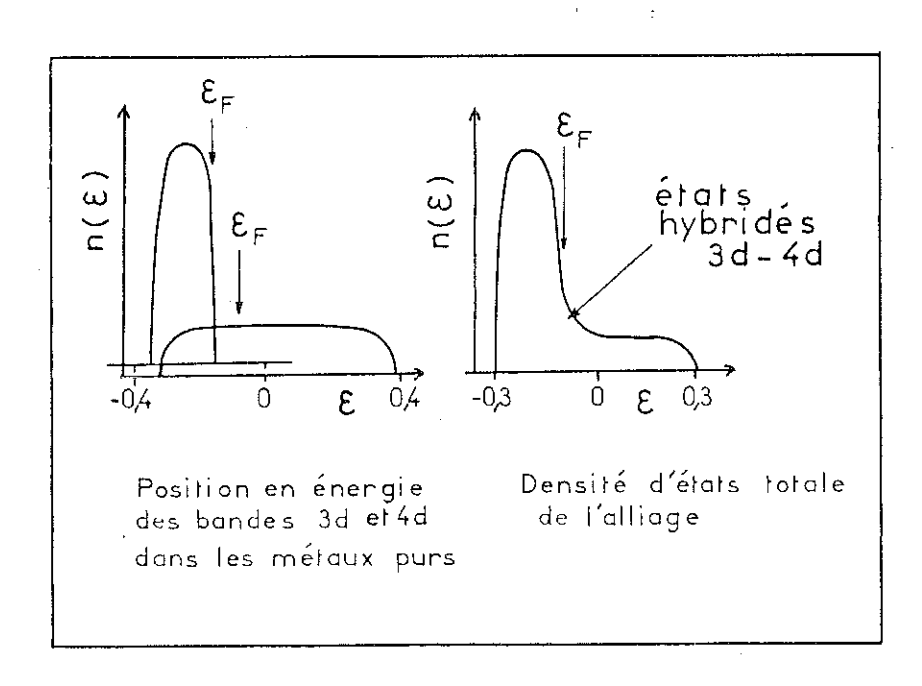
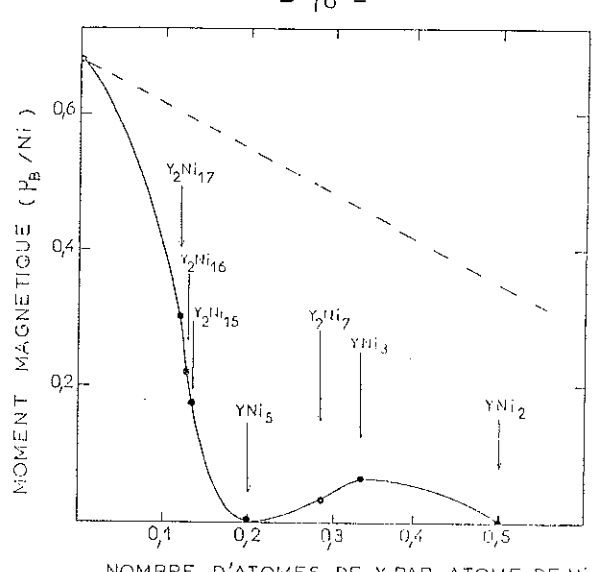


Figure 37 : Schéma de la modification de la structure de bande à la formation d'un alliage 3d-4d.





NOMBRE D'ATOMES DE Y PAR ATOME DE NI

Figure 38: Variation du moment magnétique du nickel en fonction de la concentration en yttrium dans les alliages yttrium-nickel. La courbe en trait discontinu représente la variation dans un modèle où seul le remplissage intervient, chaque atome d'yttrium transférant 2/3 d'électrons vers la bande 3d, quelle que soit la concentration.

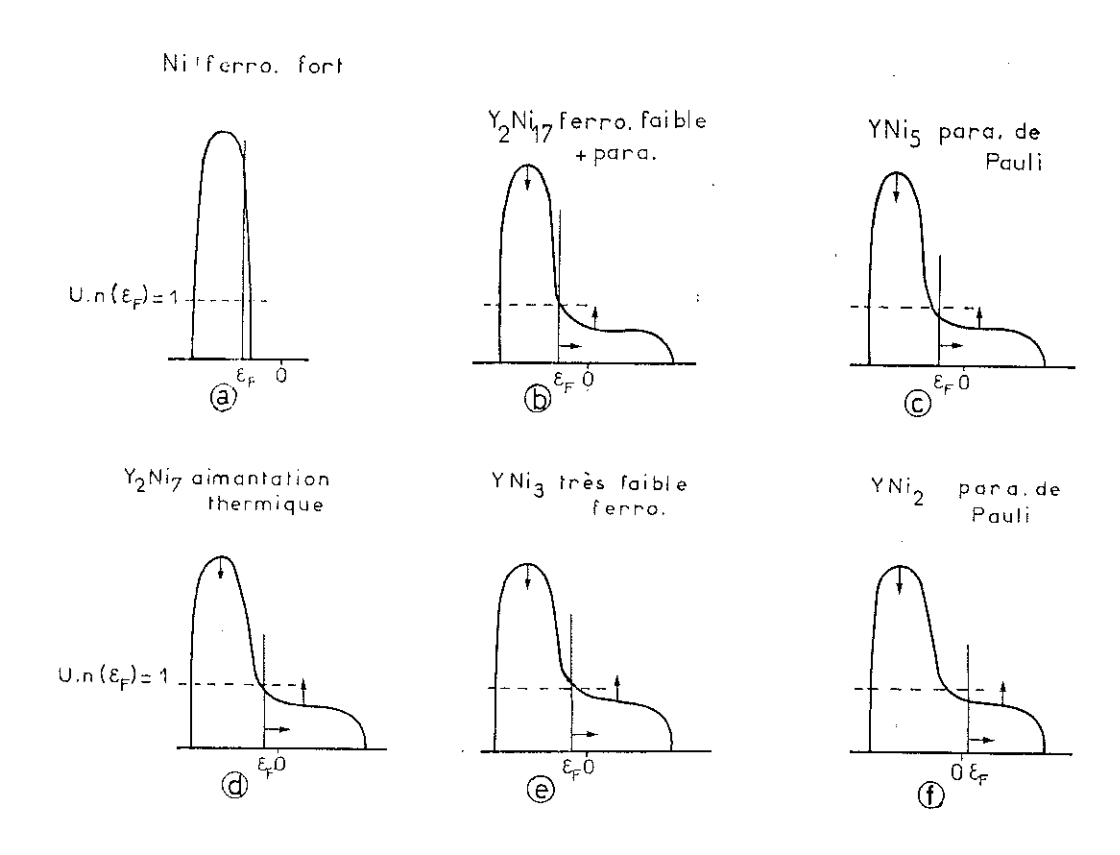


Figure 39 : Evolution de la structure de bande en fonction du taux d'yttrium allié. Les flèches symbolisent les déformations de la densité d'état, et le déplacement du niveau de Fermi.

yttrium (figure 39a). La création d'états dans la queue de la bande 3d conduit à une décroissance rapide de la densité d'états au niveau de Fermi. Alors que le nickel métallique est un fort ferromagnétique, tous les composés yttrium-nickel sont des faibles ferromagnétiques, ou des paramagnétiques. Dans ces derniers, le niveau de Fermi est dans une région où la densité décroît et présente une courbure positive, liée à l'hybridation.

Dans le composé Y_2Ni_{17} , le critère de Stoner $(U.n(\epsilon_F) > 1)$, satisfait pour certains sites, ne l'est pas pour d'autres (figure 39b). Le moment du nickel dépend fortement de l'environnement, car ce composé correspond à une concentration critique où apparaît le métamagnétisme des électrons itinérants. Au delà de cette concentration, le composé YNi_5 est paramagnétique de Pauli (figure 39c).

En considérant qu'en première approximation l'énergie d'interaction U est constante, la résurgence du magnétisme du nickel, observée pour des concentrations en yttrium supérieures, provient d'une augmentation de la densité d'états au niveau de Fermi. Dans cette zone de concentration, l'évolution de la structure de bande entraîne une augmentation de la densité d'états au niveau de Fermi, due à la création d'états hybridés, qui devient prédominante devant la décroissance de n(ε) due au remplissage (figure 39d,e). Dans Υ₂Ni₇, le critère usuel de Stoner est presque satisfait. L'aimantation thermique observée provient de la forme particulière de la densité d'états au niveau de Fermi. Dans ΥΝi₃, le critère de Stoner est juste satisfait : il présente un très faible ferromagnétisme.

La température, en modifiant la population des états au voisinage du niveau de Fermi, comme le champ en décalant les deux demibandes, peut provoquer l'apparition du magnétisme 3d. La dualité entre ces deux effets est souvent rencontrée dans un même corps. Dans le métamagnétisme, le champ induit le moment magnétique en provoquant la transition, et la variation thermique de la susceptibilité présente un maximum. Dans le comportement à aimantation thermique, la température induit l'aimantation spontanée et le champ rpovoque un changement de concavité de la variation isotherme de l'aimantation, forme atténuée d'une transition.



CONCLUSION

Le travail que nous avons effectué nous a permis d'approfondir la connaissance du magnétisme du nickel, en particulier son apparition, dans les alliages avec l'yttrium. Trois comportements différents et particuliers ont été observés.

Dans les composés voisins de Y₂Ni₁₇, certains sites de nickel sont ferromagnétiques. Pour les autres, le critère de Stoner est presque satisfait : ils présentent un métamagnétisme d'électrons itinérants. Ces caractéristiques se manifestent principalement par un maximum vers 30 K dans la variation thermique de l'aimantation spontanée. Les effets de l'environnement local sont importants : de légères variations de composition entraînent des modifications de l'environnement qui stabilisent l'état de basse ou de haute aimantation.

Alors que le composé YNi₅ est paramagnétique, une résurgence du magnétisme est observée dans Y₂Ni₇ et YNi₃. Les expériences de diffraction de neutrons polarisés sur YNi₃ ont montré que la résurgence n'était pas due aux électrons 4d de l'yttrium, mais aux électrons 3d du nickel, dont la localisation est peu différente de celle observée dans le nickel métallique. YNi₃ présente un très faible ferromagnétisme de type homogène, analogue à celui rencontré dans ZrZn₂, qui s'interprète bien dans le modèle développé par Wohlfarth.

Le comportement magnétique de Y₂Ni₇ est très particulier : il est paramagnétique en dessous de 7 K ; entre cette température et la température de Curie (58 K), une aimantation spontanée, dont la variation thermique passe par un maximum vers 40 K, apparaît. Ce comportement, appelé aimantation thermique, avait été prévu théoriquement en 1965 par Shimizu, mais n'avait pas encore été observé. En raison de la forme de la densité d'états au niveau de Fermi, la susceptibilité devient infinie

vers 7 K, conduisant à un état ferromagnétique. C'est un peu le même phénomène qui est observé pour Y2Ni17, où la susceptibilité des atomes qui présentent un comportement métamagnétique, croît à basse température, et passe par un maximum. La forme particulière de la densité d'états au niveau de Fermi, due à la création de l'alliage, permet de rendre compte du comportement des composés étudiés.

RÉFÉRENCES

- 1 B. BEAUDRY et A.H. DAANE Trans. AIME, 218 (1960) 854.
- 2 J.H. WERNICK et S. GELLER Acta Cryst., 12 (1959) 662.
- 3 J.H. WERNICK et S. GELLER Trans. AIME, 218 (1960) 866.
- 4 K.H.J. BUSCHOW
 J. Less Comm. Metals, 11 (1966) 204.
- 5 J.V. FLORIO, N.C. BAENZIGER er R.E. RUNDLE Acta Cryst., 9 (1956) 367.
- 6 R. LEMAIRE et D. PACCARD
 Bull. Soc. Minéral. Cristal., 92 (1969) 9-16.
- 7 E.F. BERTAUT, R. LEMAIRE et J. SCHWEIZER C.R. Acad. Sc. Paris, 260 (1965) 3595.
- 8 T. CROMER et C.E. OLSEN
 Acta Cryst., 12 (1959) 689.
- 9 T. CROMER et C.E. OLSEN
 Acta Cryst., 12 (1959) 855.
- 10 E.A. NESBITT, H.J. WILLIAMS, J.H. WERNICK et R.C. SHERWOOD J. Appl. Phys., 33 (1962) 1674.
- 11 D. GIGNOUX, D. GIVORD et A. DEL MORAL Sol. Stat. Commun., 19 (1976) 891.
- 12 E.A. SKRABEK et W.E. WALLACE
 J. Appl. Phys., 34 (1963) 1356.

- 13 E. BURZO et J. LAFOREST Intern. J. Magnetism, 3 (1972) 171.
- 14 J. LAFOREST, R. LEMAIRE, D. PACCARD et R. PAUTHENET C.R. Acad. Sc. Paris, B264 (1967) 676.
- 15 J. LAFOREST, R. LEMAIRE, D. PACCARD et R. PAUTHENET C.R. Acad. Sc. Paris, 265 (1967) 1280.
- 16 D. PACCARD et R. PAUTHENET C.R. Acad. Sc. Paris, 264 (1967) 1056.
- 17 L.D. LANDAU et E.M. LIFSHITZ

 Electrodynamique des milieux continus, Ed. Mir (1969) 195.
- 18 A. ARROTT

 Phys. Rev., 108 (1957) 1394.
- 19 D. GIVORD, J. LAFOREST et R. LEMAIRE Physica, 86-88B (1977) 204.
- 20 R.E. PAWEL et E.E. STANSBURY
 J. Phys. Chem. Solids, 26 (1965) 757.
- 21 F.C. ZUMSTEG et R.D. PARKS

 Phys. Rev. Letters, 24 (1970) 520.
- 22 S. OGAWA

 Res. of Electrotechnical Lab., n° 735 (1972).
- 23 G.E. BACON
 Neutron Diffraction, 1962, Oxford University Press.
- 24 H.A. LEVY Acta Cryst., 9 (1956) 679.
- 25 W.H. ZACHARIASEN
 Acta Cryst., 23 (1967) 558.
- 26 P. BECKER et P. COPPENS
 Acta Cryst., A30 (1974) 129.
- 27 M. BONNET, A. DELAPALME et P. BECKER Acta Cryst., A32 (1976) 945.

- 28 M. BONNET, A. DELAPALME et H. FUESS Acta Cryst., A31 (1975) 264.
- 29 I.L.L.: Neutron beam facilities at the H.F.R., available for users (1977).
- 30 F. TASSET
 Thèse, Université de Grenoble (1975) AO C.N.R.S. 10916.
- 31 R.M. MOON
 Int. J. Magnetism, 1 (1971) 219.
- 32 E.P. WOHLFARTH et P. RHODES Phil. Mag., 7 (1962) 1817.
- 33 E.C. STONER
 Proc. Roy. Soc., A154 (1936) 656.
- 34 D.M. EDWARDS et E.P. WOHLFARTH
 Proc. Roy. Soc., A303 (1968) 127.
- 35 S. OGAWA

 Conf. on Itinerant electron magnetism, Oxford (1976).
- 36 M. SHIMIZU
 Proc. Phys. Soc., 86 (1965) 147.
- 37 M. LAVAGNA

 Thèse de 3e Cycle, Université de Grenoble (1978).

TABLE DES MATIÈRES

	Pages
INTRODUCTION .	1
CHAPITRE I : HISTORIQUE DES ETUDES SUR LES ALLIAGES	
YTTRIUM-NICKEL	3
I-1 - Diagramme d'état du système Y-Ni	3
I-2 - Description des structures cristallographiques des composés Y-Ni riches en nickel	5
I-3 - Propriétés magnétiques des composés Y-Ni riches en nickel	11
CHAPITRE II : METHODES EXPERIMENTALES	13
II-1 - Préparation des échantillons	13
II-2 - Mesures physiques effectuées	15
CHAPITRE III : PROPRIETES MAGNETIQUES DES COMPOSES	
POLYCRISTALLINS Y2Ni17, YNi3 et Y2Ni7	17
III-1 - Composés Y ₂ Ni ₁₇	17
III-1-1 - Mesures d'aimantation et de susceptibilité	17
a - Composé stoechiométrique Y ₂ Ni ₁₇	17
b - Composé sous stoechiométrique Y ₂ Ni ₁₆	23
c - Composé sous stoechiométrique Y ₂ Ni ₁₅	23
III-1-2 - Chaleur spécifique et résistivité électrique	27
III-2 - Composés Y2Ni7	29
III-2-1 - Composé Y ₂ Ni ₇ à comportement très faible ferro-	
magnétique (t.f.f.)	31
a - Mesures d'aimantation et de susceptibilité	31
b - Chaleur spécifique et résistivité électrique	2.1

r F	age
III-2-2 - Composé Y ₂ Ni ₇ présentant une aimantation thermique (a.t.) a - Mesures d'aimantation et de susceptibilité b - Résistivité	35 35 39
III-3 - Composé YNi ₃ a - Mesures d'aimantation et de susceptibilité b - Chaleur spécifique et résistivité électrique	39 39 45
CHAPITRE IV : ETUDE DE LA DENSITE D'AIMANTATION DANS YNi 3 PAR DIFFRACTION DE NEUTRONS POLARISES	47
IV-1 - Introduction	47
<pre>IV-2 - Affinement de la structure cristallographique Facteur de structure Facteur de température Extinction</pre>	48 49 49 50
IV-3 - Expérience de neutrons polarisés	52
<pre>IV-3-1 - Méthodes expérimentales a - Appareillage b - Principe de la mesure c - Conditions expérimentales d - Corrections</pre>	52 52 52 55 56
IV-3-2 - Résultats expérimentaux et analyse Projection de la densité d'aimantation	57 61
CHAPITRE V : ANALYSE ET DISCUSSION DES RESULTATS EXPERIMENTAUX	65
V-1 - Etude du comportement particulier des composés étudiés	65
V-1-1 - Composés Y ₂ Ni ₁₇ V-1-2 - Composé YNi ₃ V-1-3 - Composé Y ₂ Ni ₇	65 69 72
V-2 - Magnétisme du nickel dans les alliages yttrium-nickel	74
CONCLUSION	79
REFERENCES	81